

RECHERCHES GÉOLOGIQUES

DANS LES PARTIES DE

LA SAVOIE, DU PIÉMONT ET DE LA SUISSE

VOISINES

DU MONT-BLANC

PAR

ALPHONSE FAVRE

PROFESSEUR DE GÉOLOGIE A L'ACADÉMIE DE GENÈVE

E. H.

ATLAS

REVUE DES SCIENCES
H. 2623.
GÉOLOGIE

BIBLIOTHÈQUE
HÉBERT

PARIS

VICTOR MASSON ET FILS, ÉDITEURS

PLACE DE L'ÉCOLE DE MÉDECINE

GENÈVE 1867

Explication.

Les chiffres romains indiquent l'ordre, dans lequel sont décrits les districts.
Les N^{os} des §. correspondent à ceux du texte.

CARTE
des divisions de l'ouvrage

(Voyez la fin de la préface)



Echelle 1 : 350000



XIV
MAURIENNE § 657

XIV
M^t JOVET § 655

FACULTÉ DES SCIENCES
GÉOLOGIE

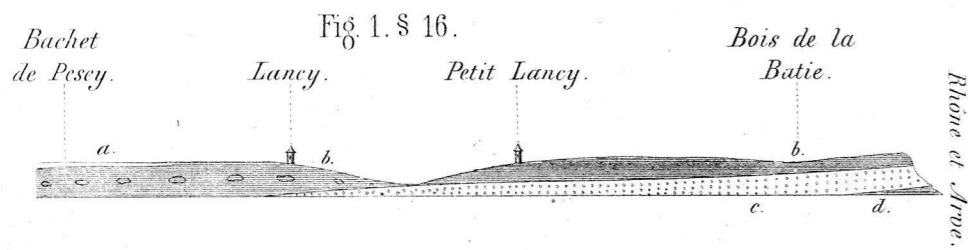


Fig. 2. § 23. Colovrex près de Nyon.

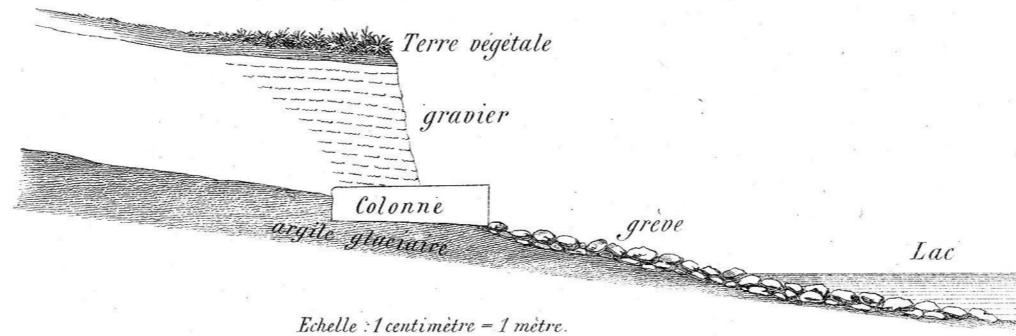


Fig. 3. § 57. Carrière du Grand-Saconex.

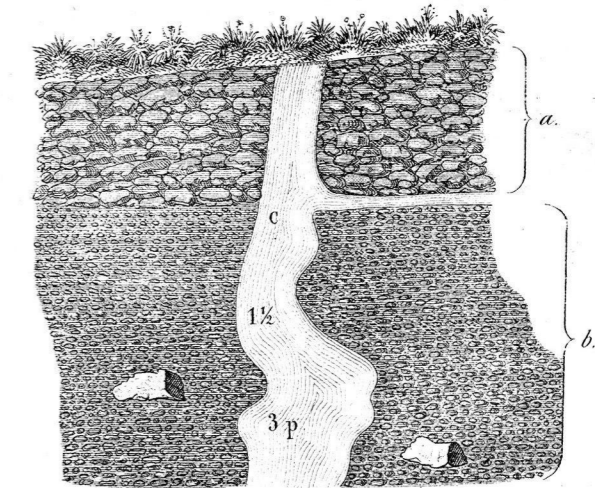


Fig. 4. § 65. Pointe d'Yvoire.

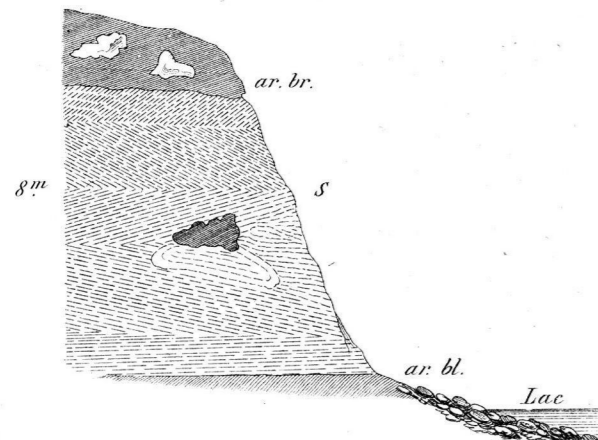


Fig. 5. § 65. Pointe de Rovère.

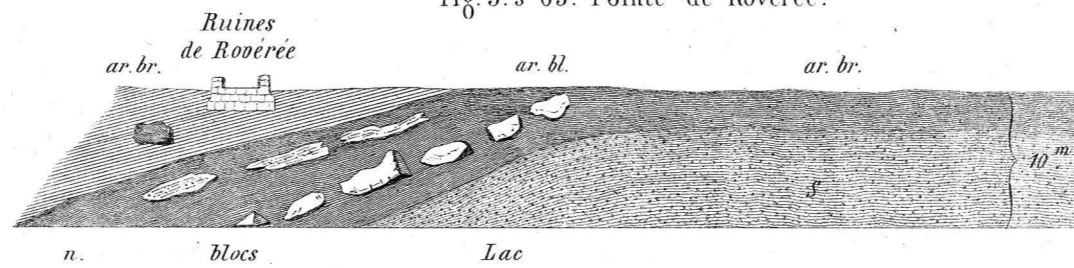


Fig. 6. § 65. Entre le moulin des Paquis et Excenevrex.

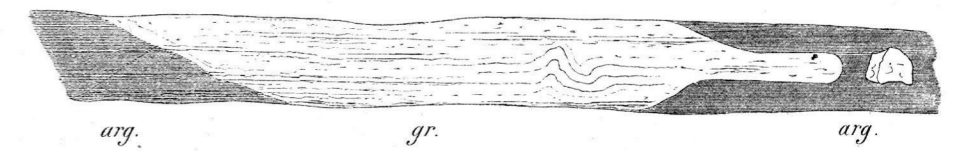


Fig. 8. § 79.

Terrain Glaciaire reposant sur l'alluvion ancienne du Bois de la Batie.



Fig. 7. § 72. Partie inférieure de la vallée de la Dranse (en grande partie sur la rive gauche).

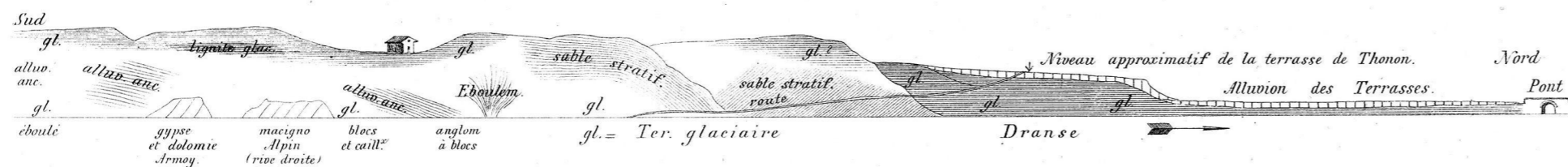


Fig. 9. § 197. Nant d'Avanchet.

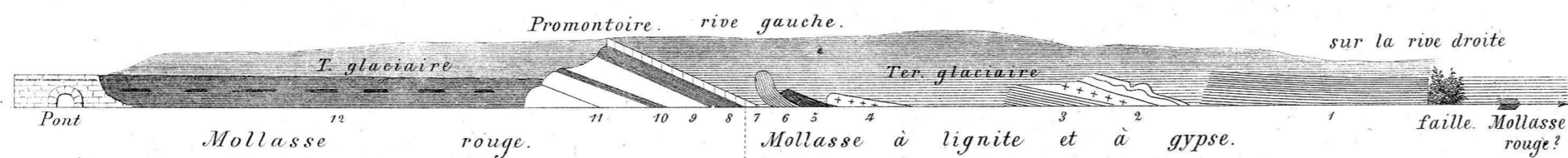


Fig. 10. § 203. Axe anticlinal de Boisy.



Fig. 1. § 210. Coupe théorique du Salève
d'après M. Vogt (1855).

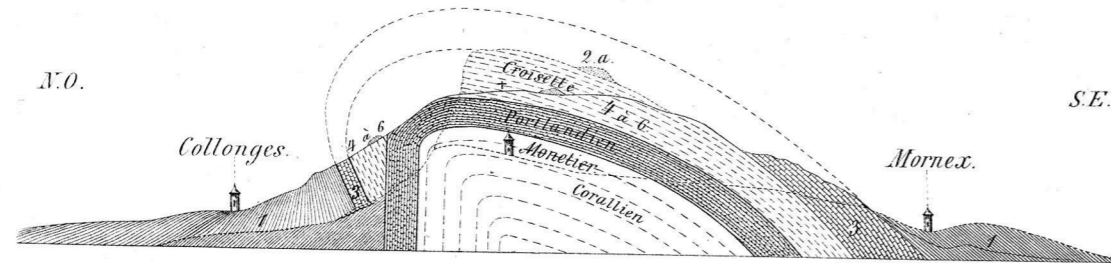


Fig. 2. § 221. 245. Le Grand Salève. (Versant de Monnetier).

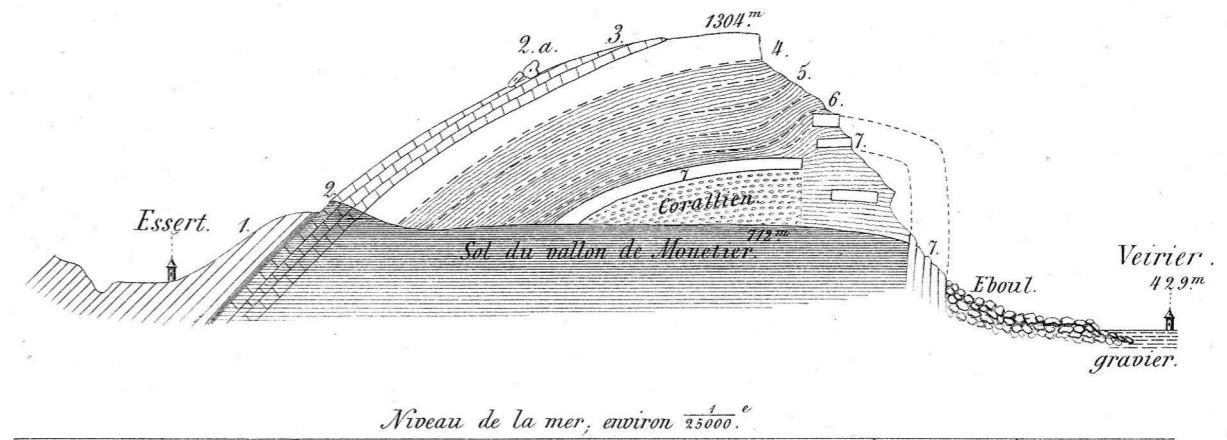


Fig. 3. § 231. Coupe du Salève au Piton.

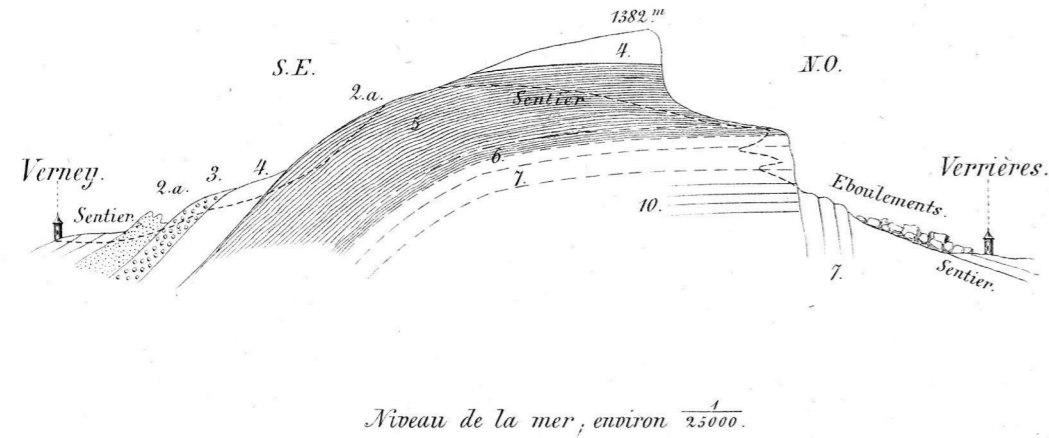


Fig. 4. § 244. Faille de la petite Gorge
d'après M. Lory.

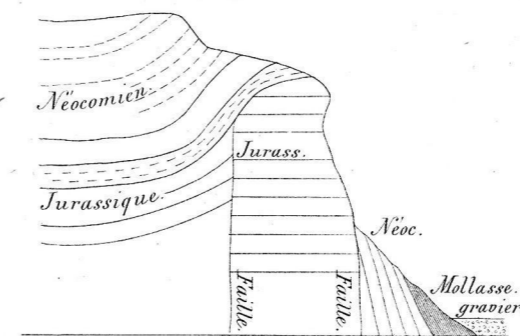


Fig. 5. § 245. Faille sur la route du Grand Salève.

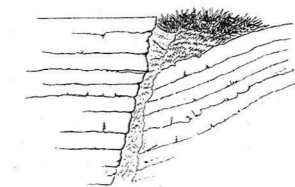
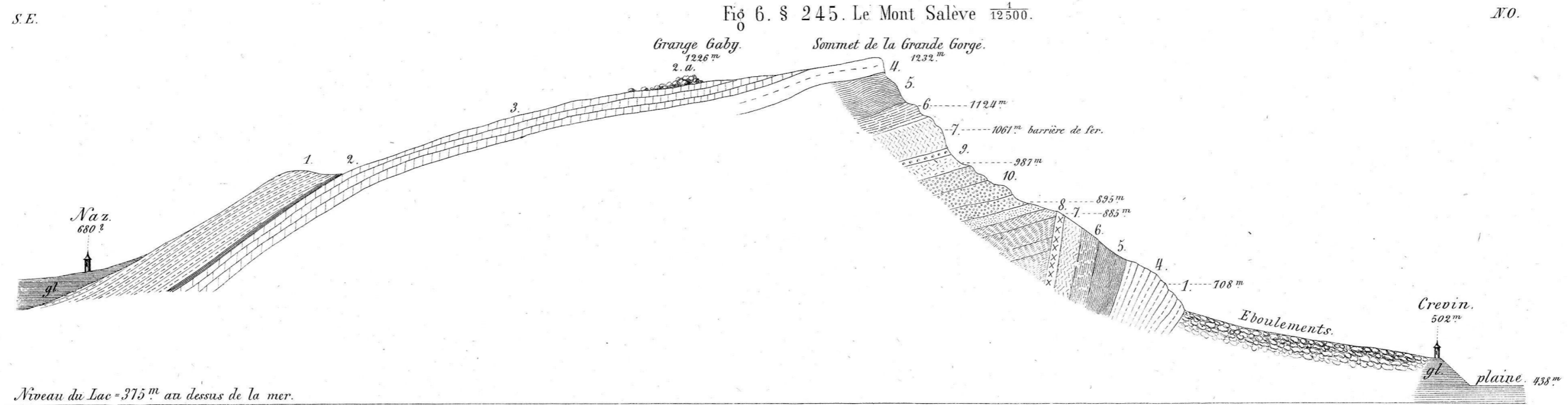


Fig. 6. § 245. Le Mont Salève $\frac{1}{12500}$.



Les Voirons (d'après M. Studer.)

Fig. 1. § 257.

Fig. 2. § 257.

Fig. 3. § 257.

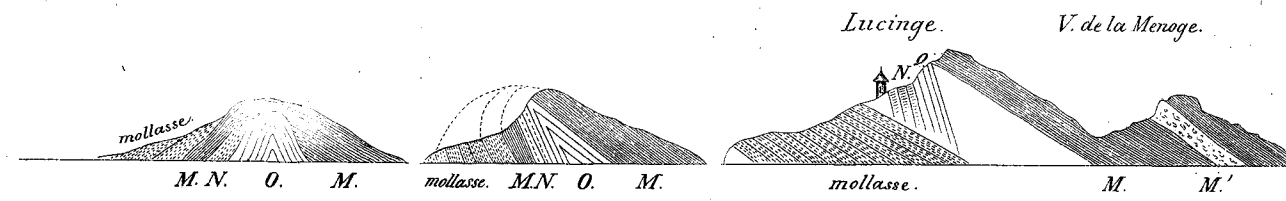


Fig. 4. § 257 à 263. Les Voirons. (d'après M. Favre.)

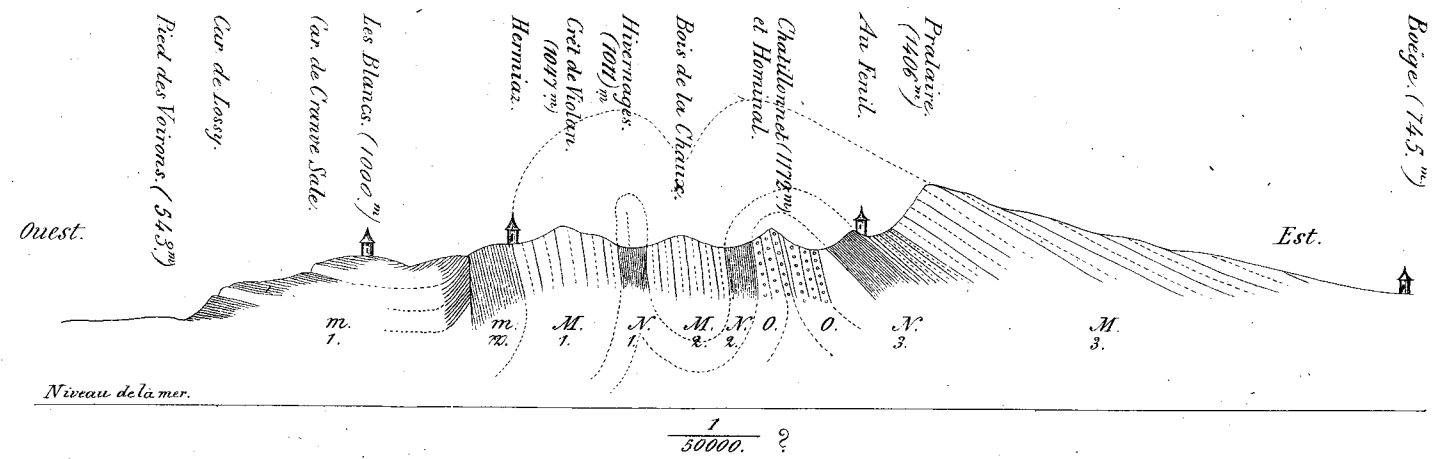


Fig. 5. § 257. Les Voirons (d'après M. de Mortillet. 1858)

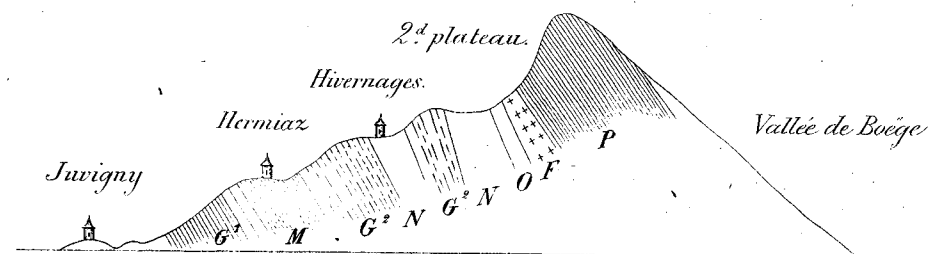


Fig. 6. § 282, 283. Vue de la Pointe d'Orchex prise des environs de Nancy. (Rive droite de l'Arve.)

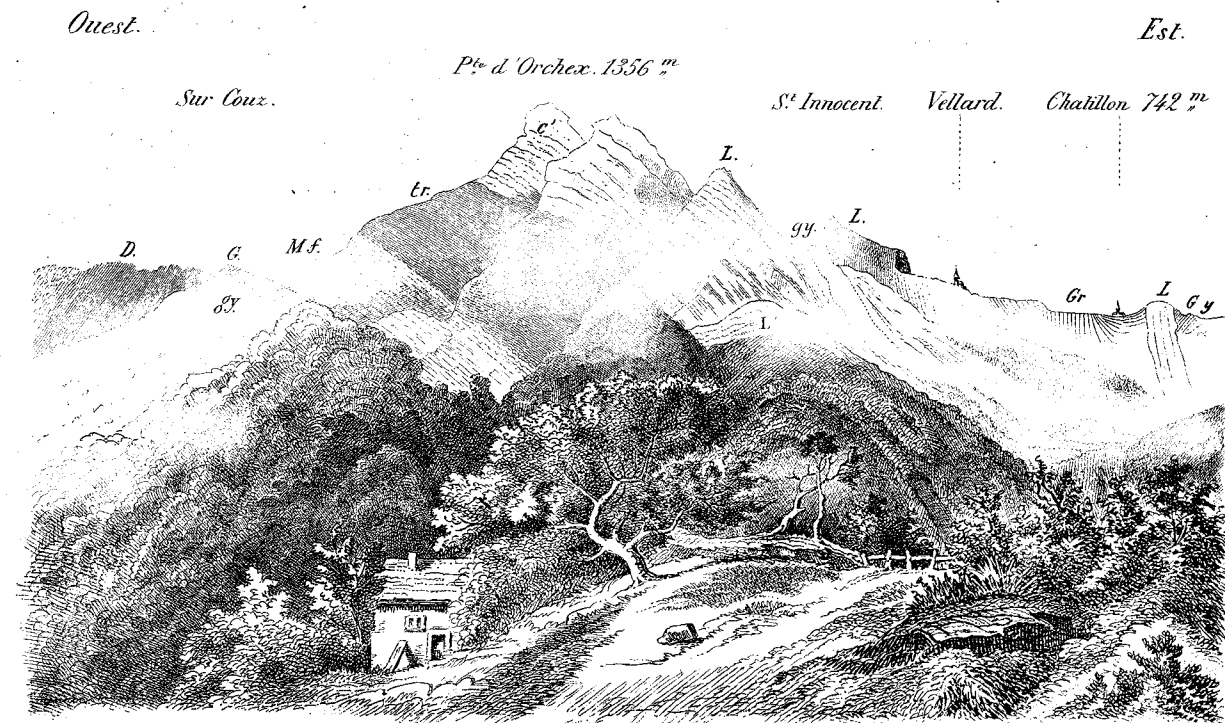
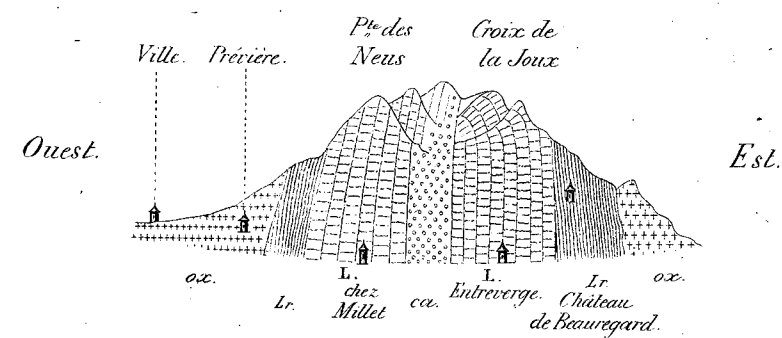
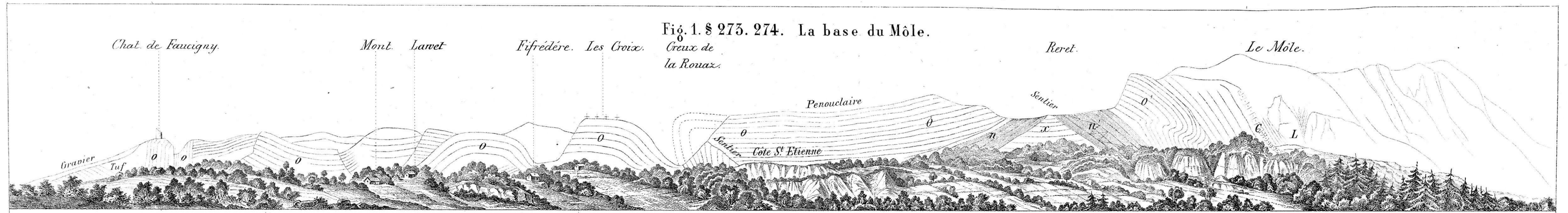


Fig. 7. § 288.



RECHERCHES GÉOLOGIQUES.



Grès N = Néocomien. O = Oxfordien. Bragade L = Lias. C = Carqueule.

Fig. 2. § 275.

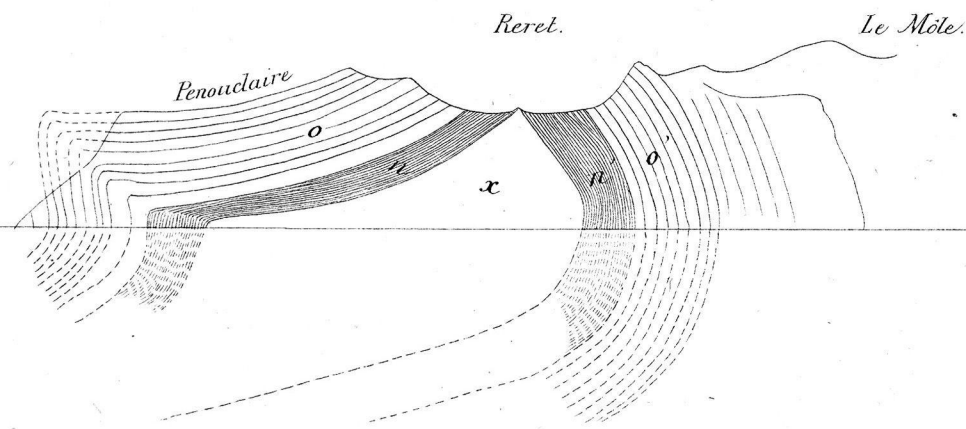
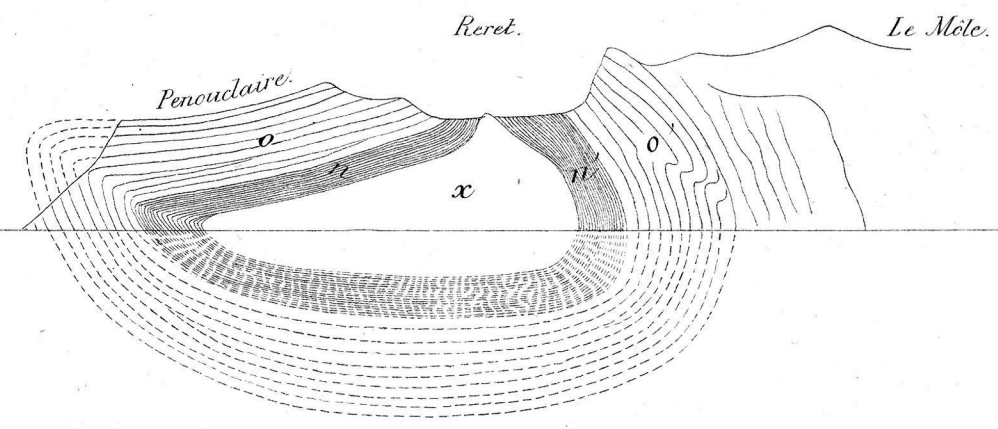
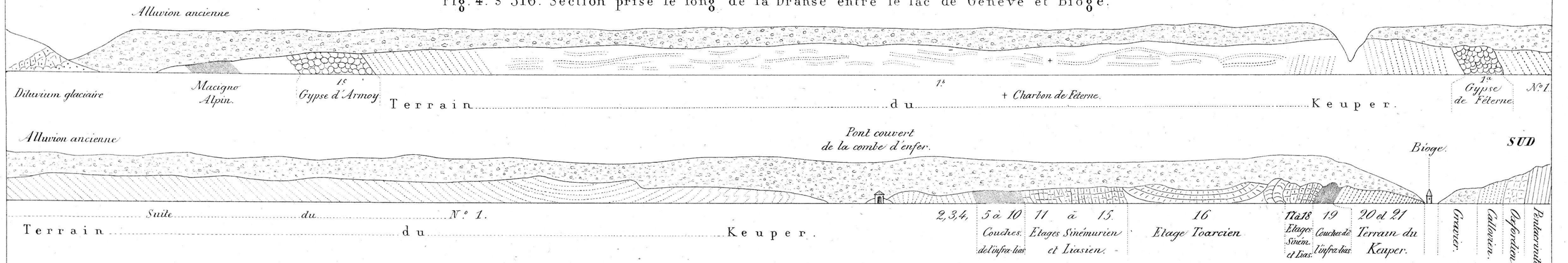


Fig. 3. § 275.



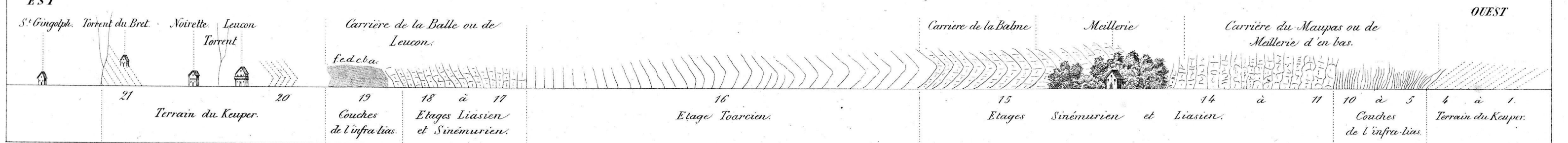
NORD

Fig. 4. § 316. Section prise le long de la Dranse entre le lac de Genève et Biège.



EST

Fig. 5. § 321. Section prise à Meillerie (Savoie) le long du lac de Genève.



Lith. Pilet & Cougnard. Genève.

RECHERCHES GÉOLOGIQUES.

Fig. 1. § 298; 299. Carrière de Gypse de Matrinège.

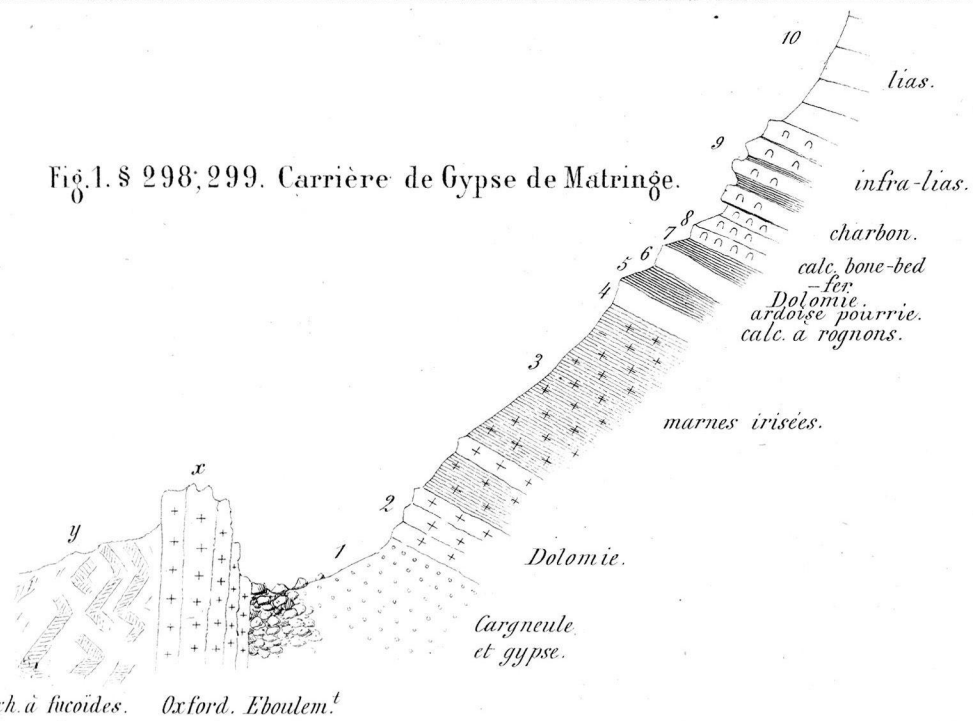


Fig. 4. § 302.

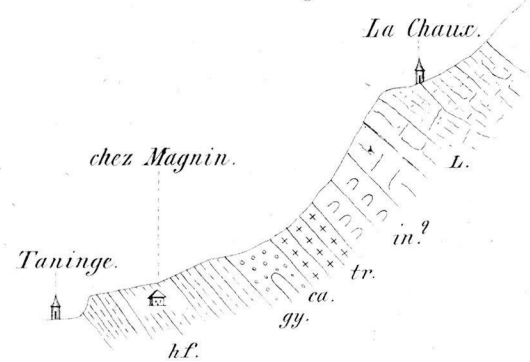


Fig. 7. § 301. Vue de la Pointe de Marceley.
Taninge.

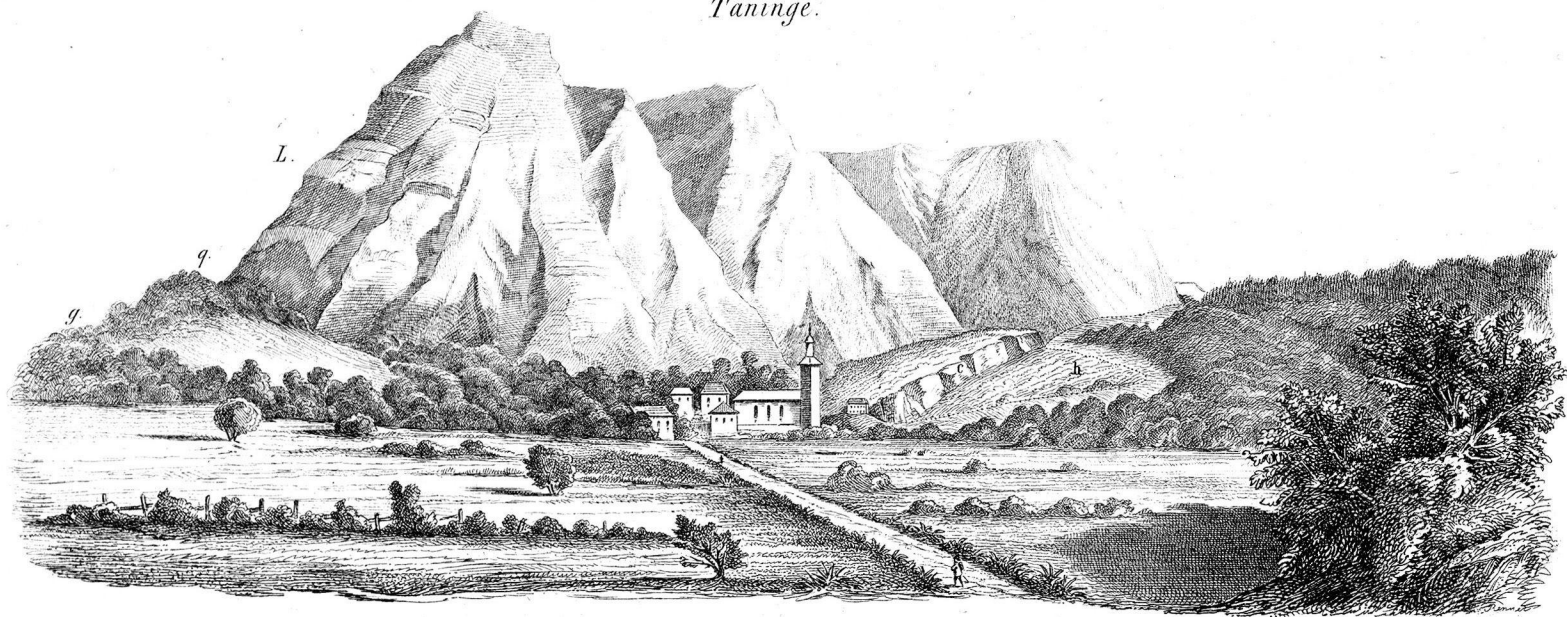


Fig. 2. § 308, 309. Du Mont Fourches à Cervens.

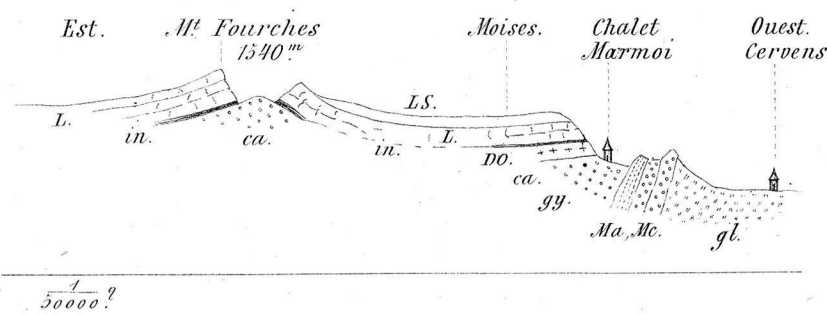


Fig. 5. § 309. Mont Fourches.

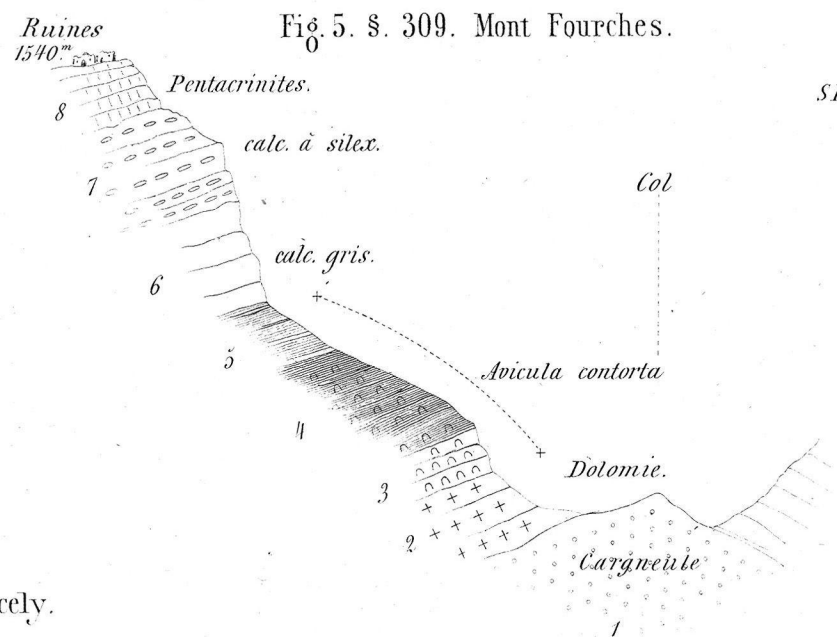


Fig. 3. § 315. Roc d'Enfer.
Vue prise de la pente Orientale de Chalune. Cirque occidental.



Fig. 6. § 314. Coupe de Bellevaux au Roc d'Enfer.

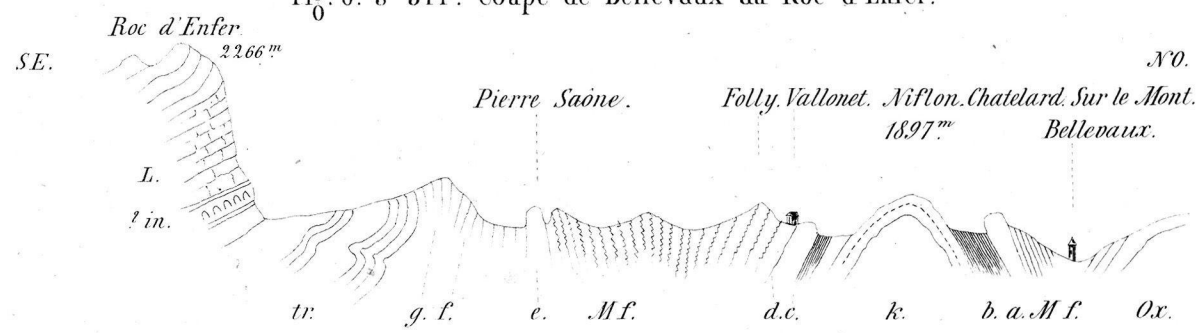
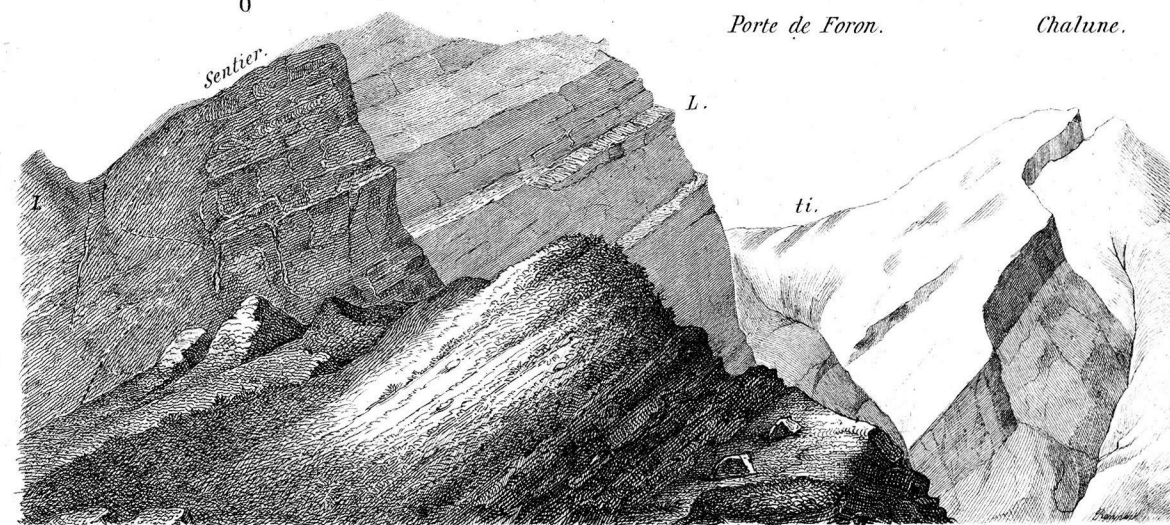


Fig. 8. § 315. Roc d'Enfer vu des environs de Pierre Saône.
Porte de Foron. Chalune.



Del. Pilet & Courtyard Goussier.

RECHERCHES GÉOLOGIQUES.

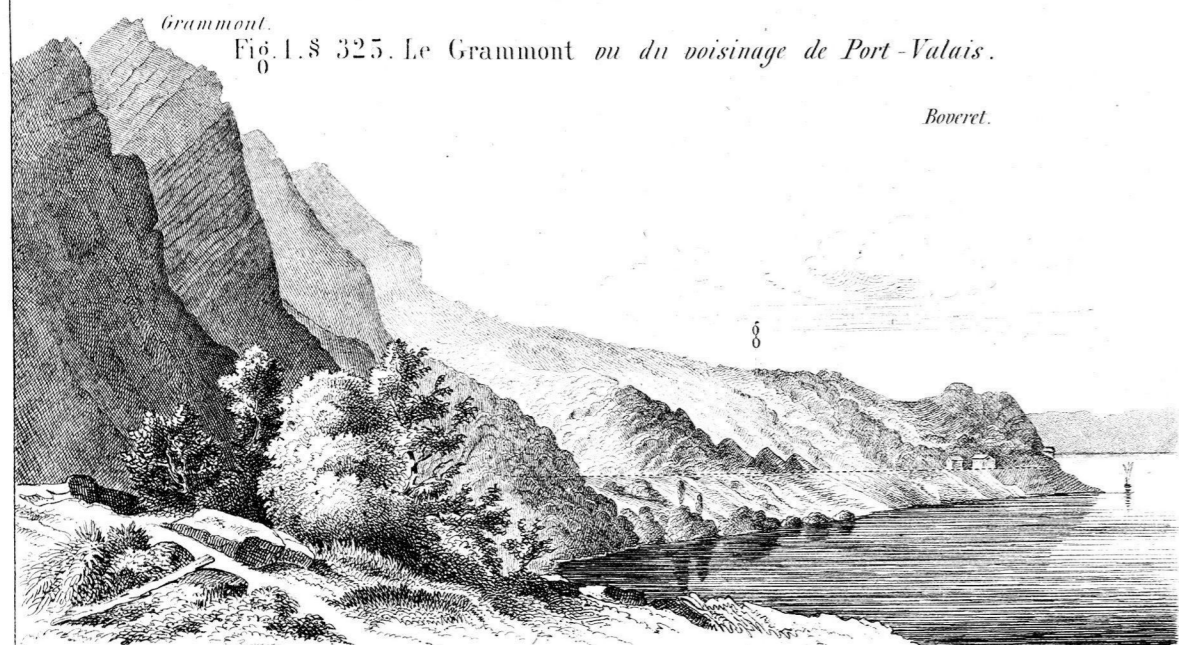


Fig. 1. § 325. Le Grammont ou du voisinage de Port-Valais.

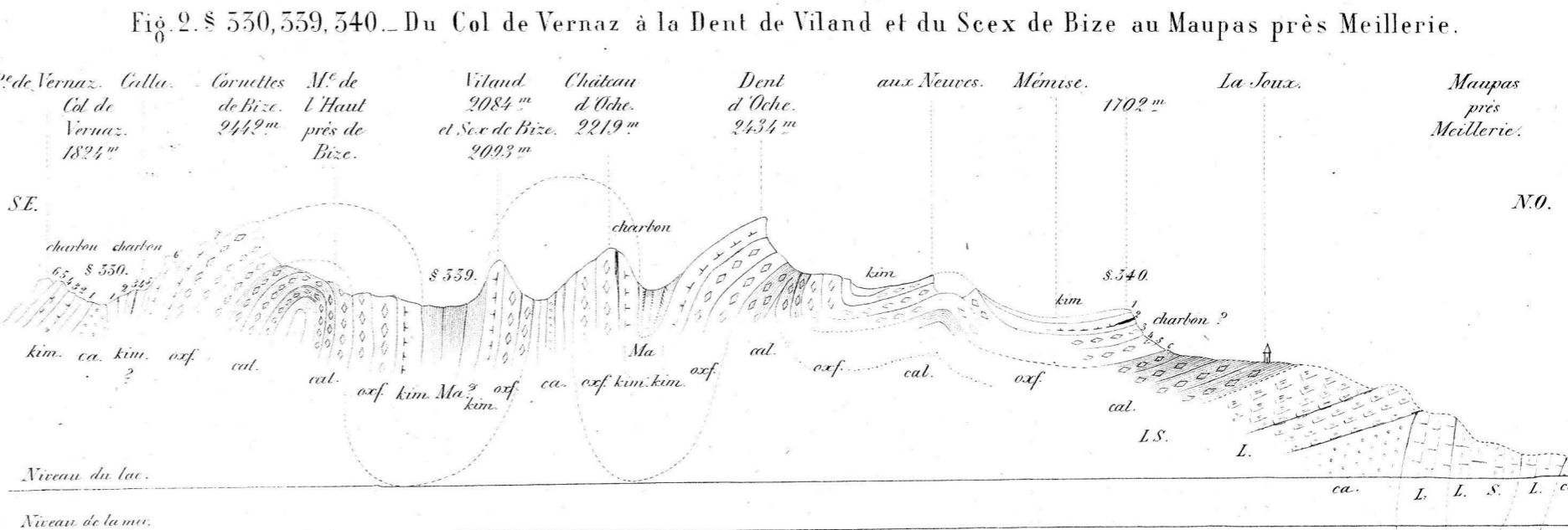


Fig. 2. § 530, 539, 540. Du Col de Vernaz à la Dent de Viland et du Scex de Bize au Maupas près Meillerie.

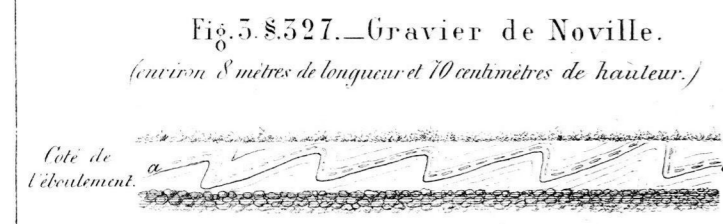


Fig. 5. § 527. Gravier de Noville.

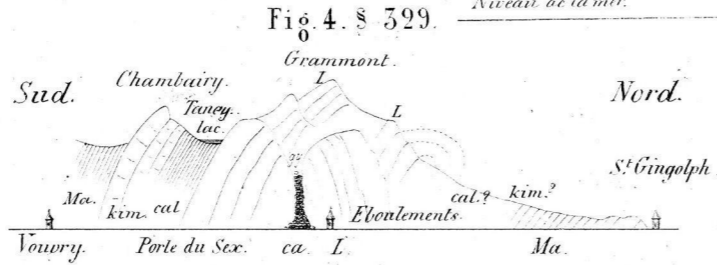


Fig. 4. § 529.

Fig. 7. § 343. Vue des Environs des chalets du Lans d'Abondance.



Fig. 5. § 551, 554, 555, 557. De la Chapelle au Maupassé.

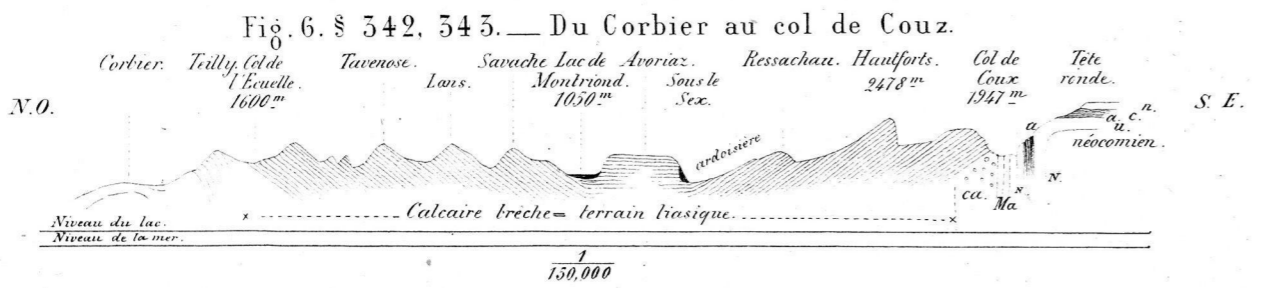
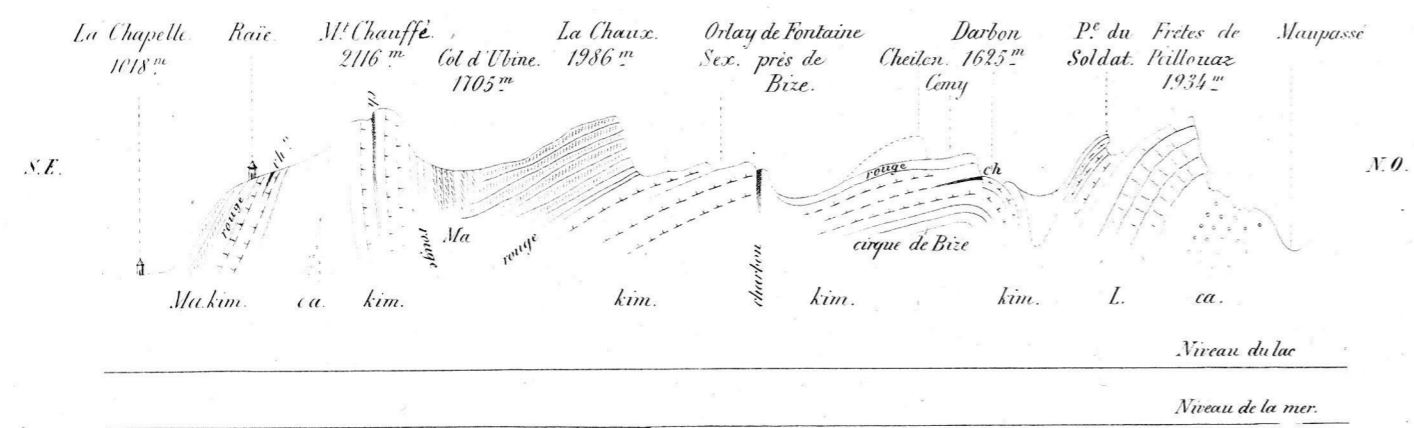


Fig. 6. § 542, 543. Du Corbier au col de Couz.

(§ 354)

CARTE

Des crêtes et des axes des montagnes
crétacées et tertiaires placées entre l'Arve
et le lac d'Annecy en Savoie.

- ∇ indique le sens de l'inclinaison des couches.
- ↕ couches formant une voûte.
- I couches à peu près verticales.
- ⊙ couches à peu près horizontales.
- crêtes des montagnes.
- axe anticlinal.

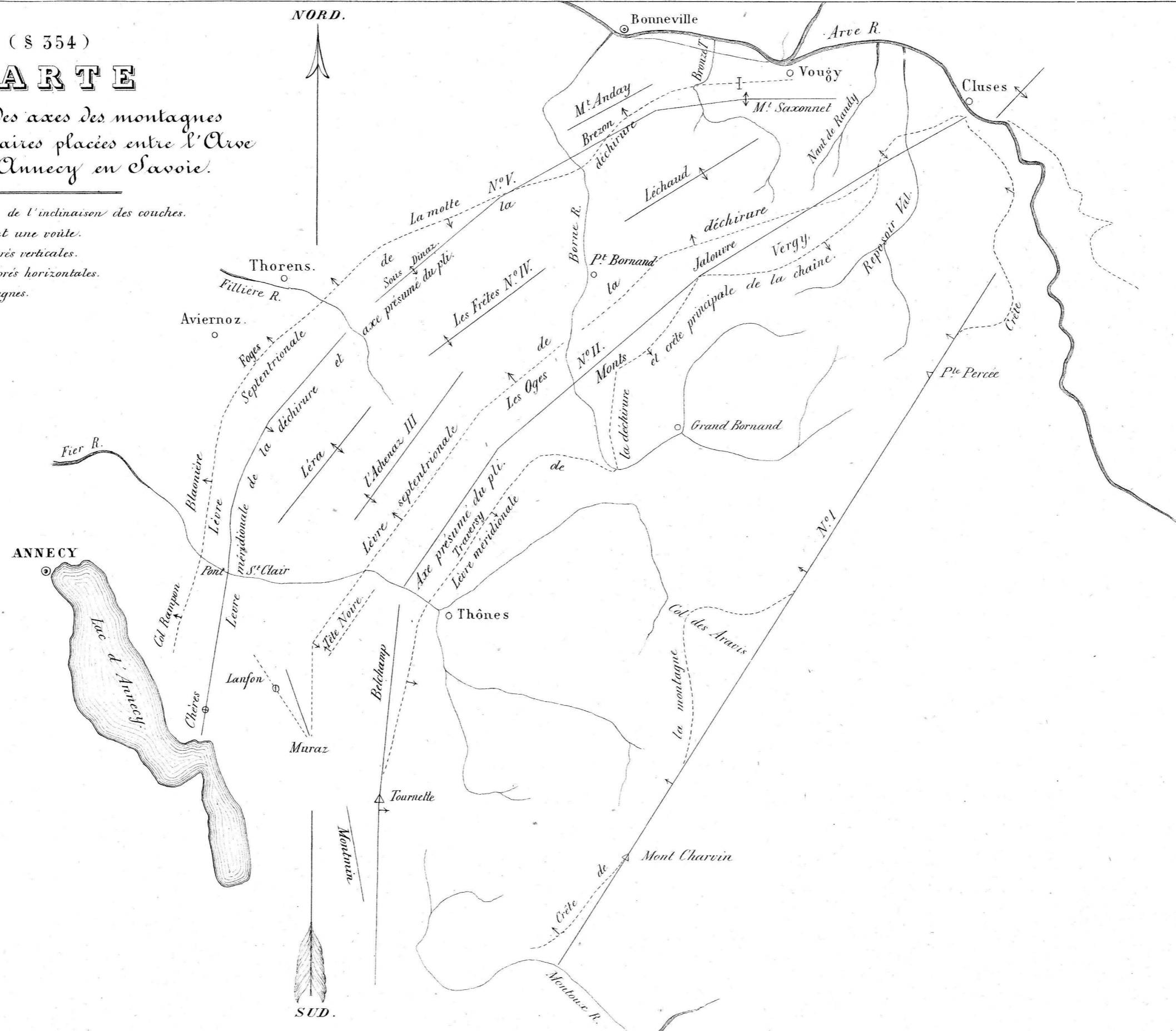


Fig. 1. § 345, 348 - Du col de Vernaz à Troistorrents.

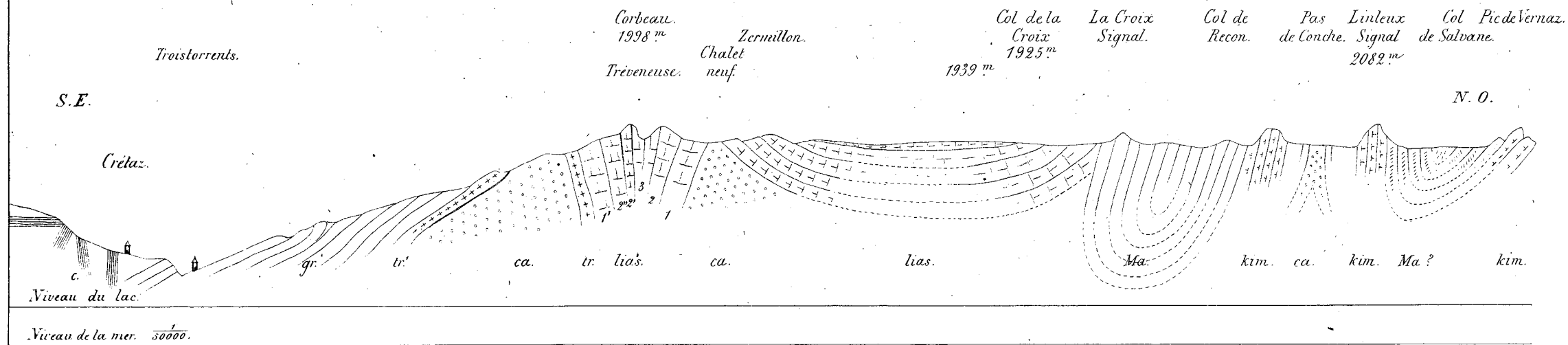


Fig. 2. § 354.

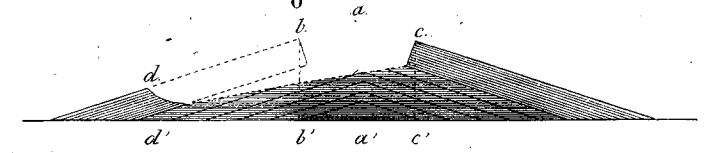


Fig. 3. § 356 Sentier près du Brezon.

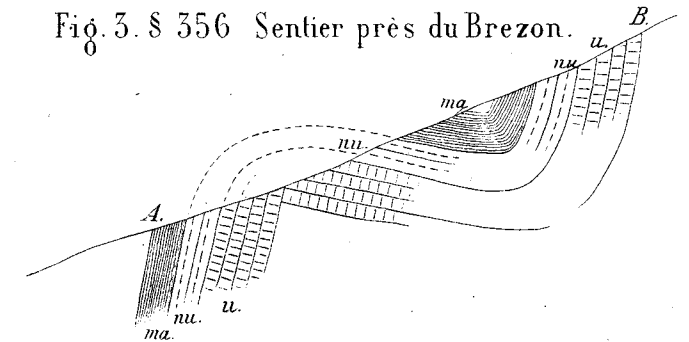


Fig. 4. § 356. Coupe prise de la Pointe Percée aux environs de Bonneville.

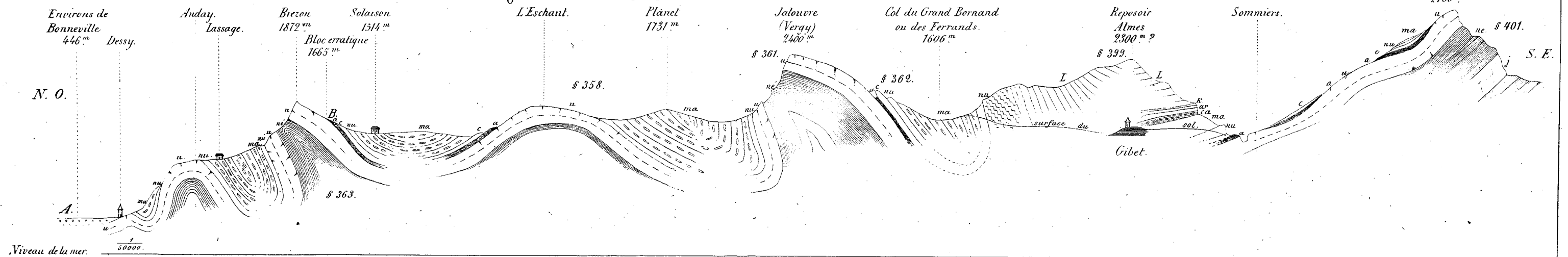


Fig. 5. § 357.

Coupe prise du Mont Saxonet à la vallée de l'Arve.

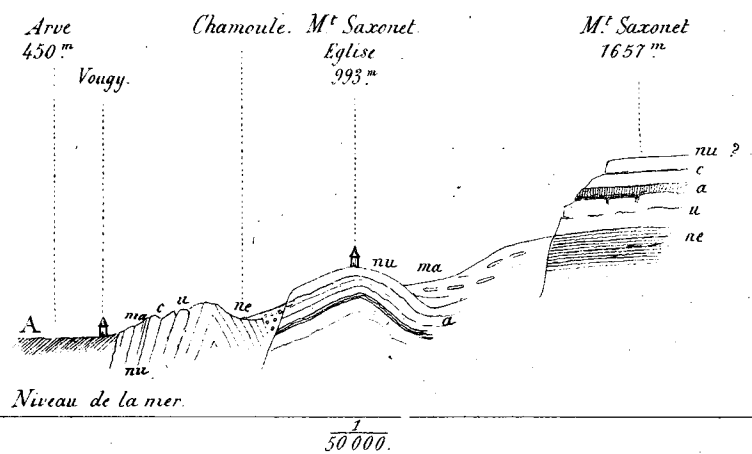


Fig. 6. § 359.

Position des couches du terrain albien entre le m. Saxonet et le village du Brezon.

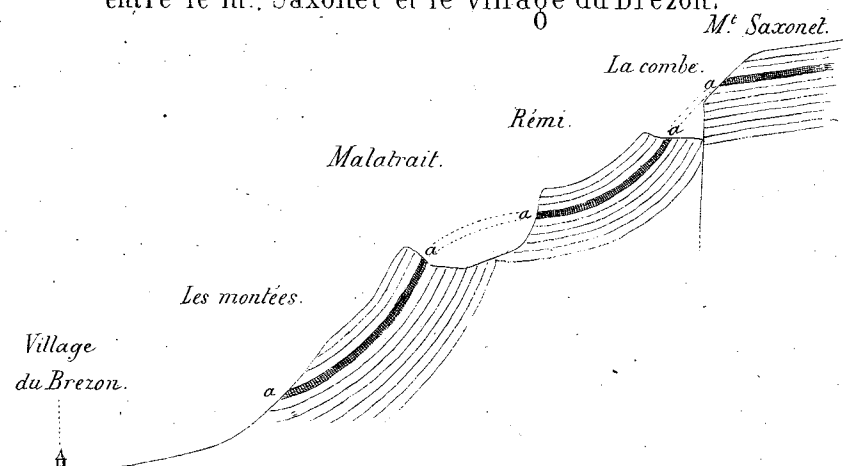


Fig. 7. § 361 - La Peuchette (Vergy) vue du pied du col de Balafra.

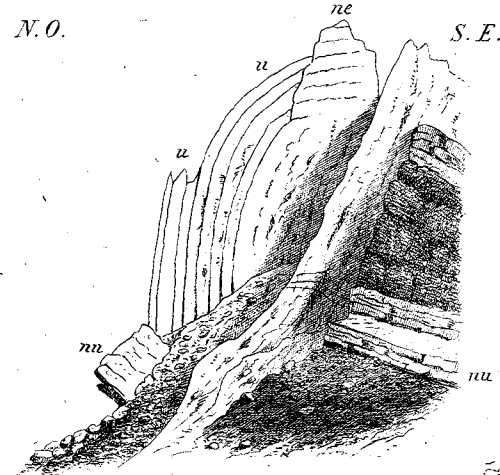
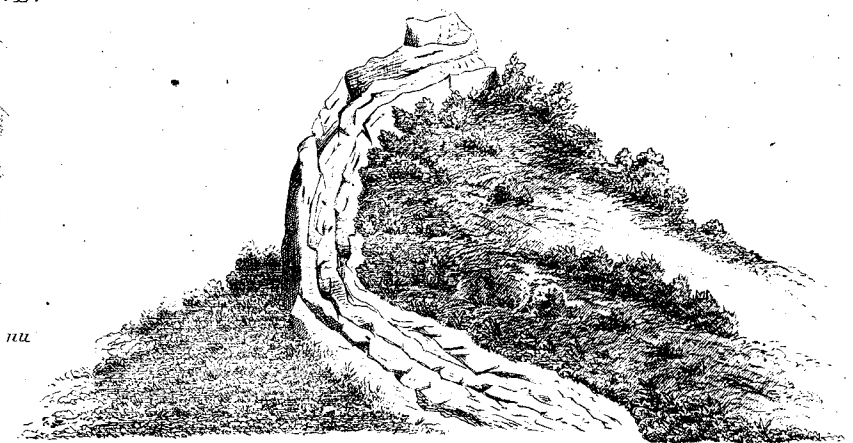


Fig. 8. § 363 - Rive gauche de la vallée de la Borne.



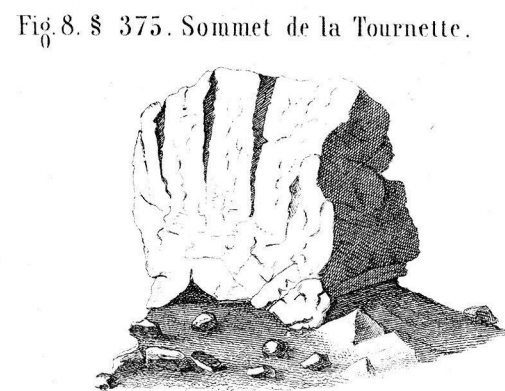
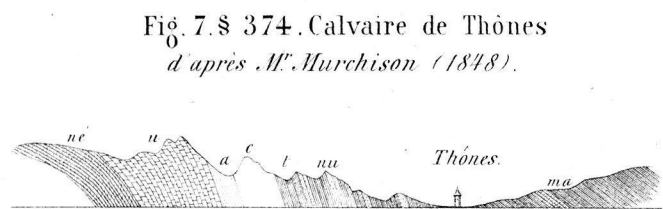
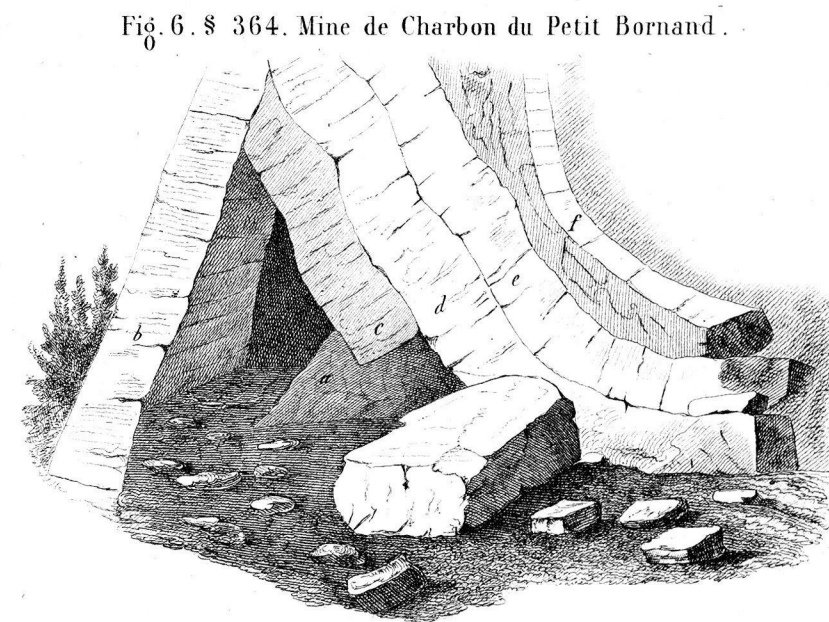
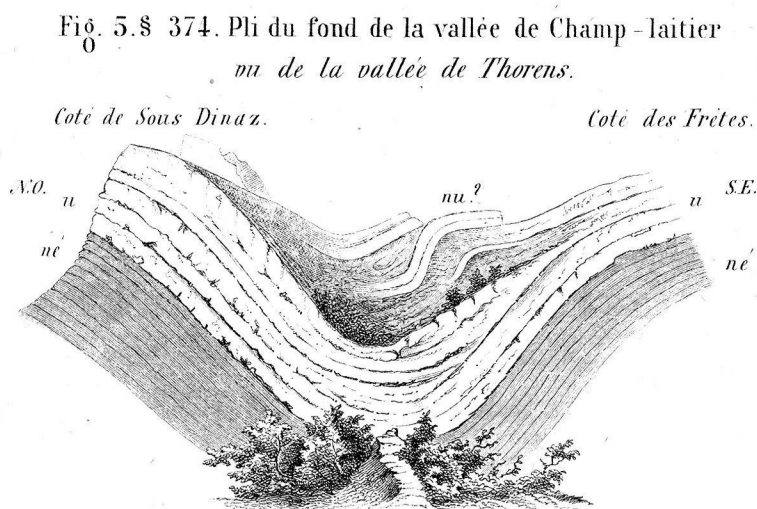
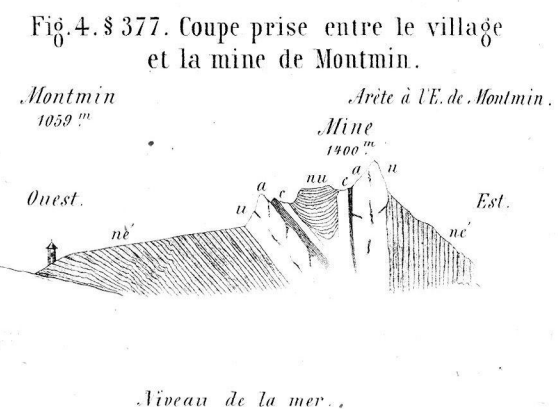
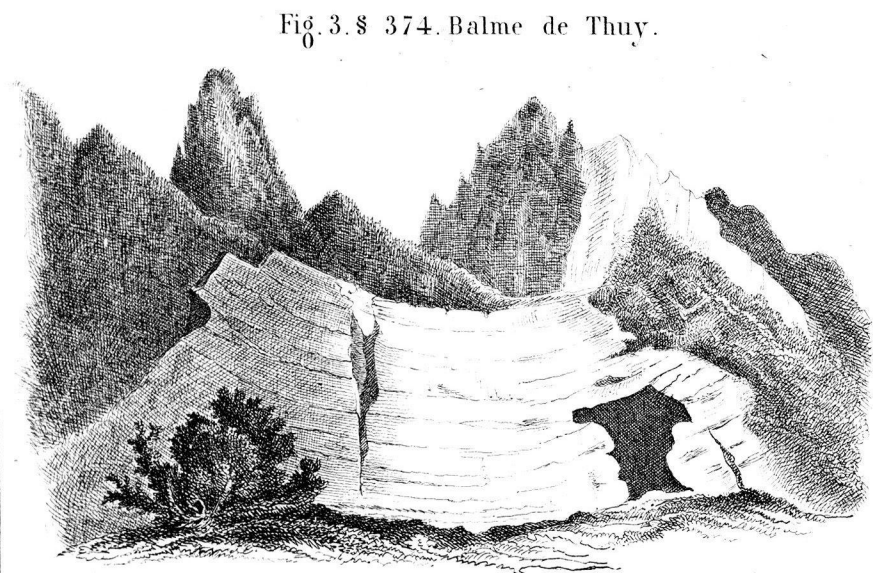
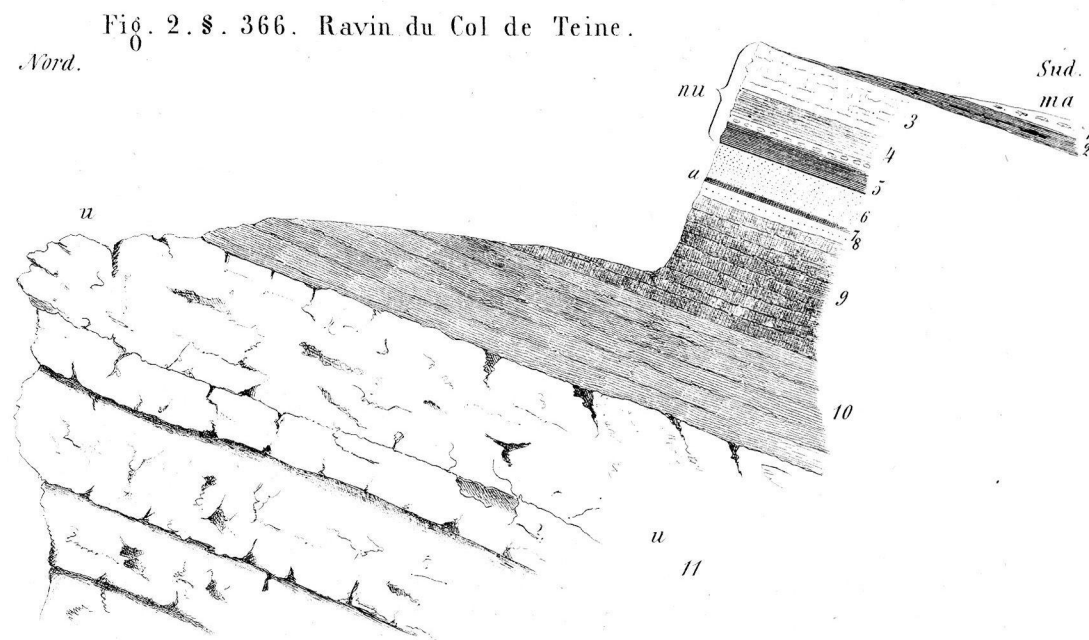
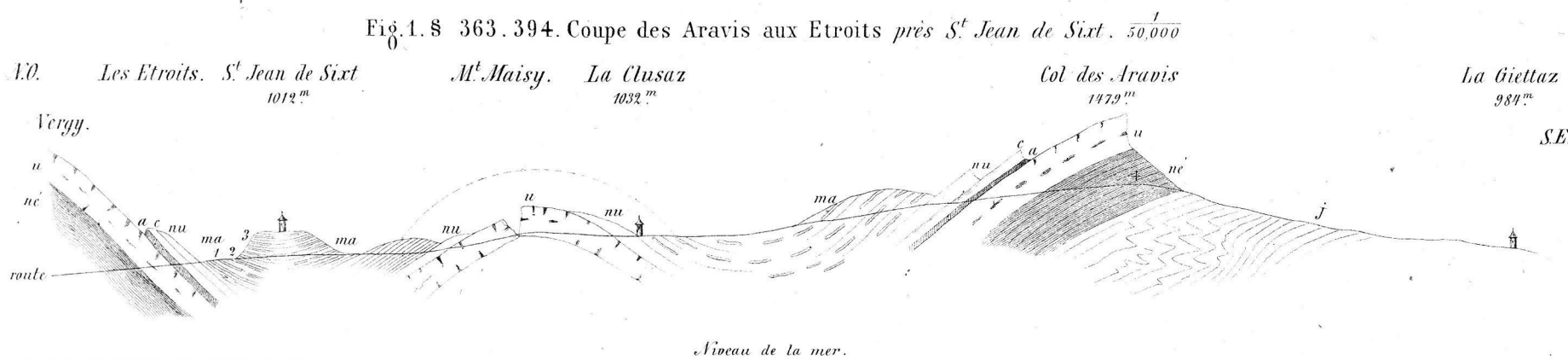
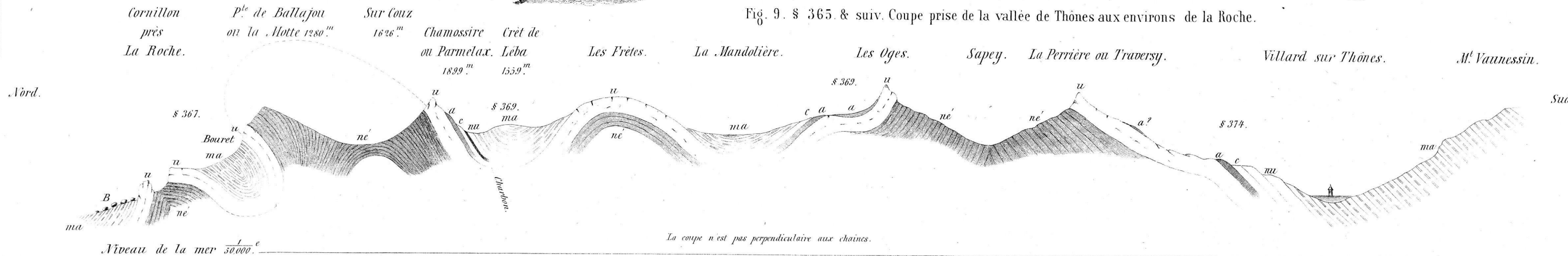


Fig. 9. § 365. & suiv. Coupe prise de la vallée de Thônes aux environs de la Roche.



RECHERCHES GÉOLOGIQUES.

Fig. 1. § 350 à 382. — Coupe du Château du Marais (Serraval) aux environs d'Annecy.

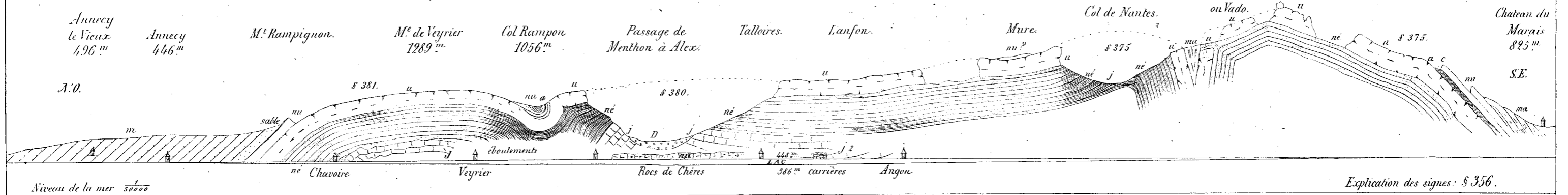


Fig. 2. § 370. Coupe d'Aviernoz près Thorens à Thônes.

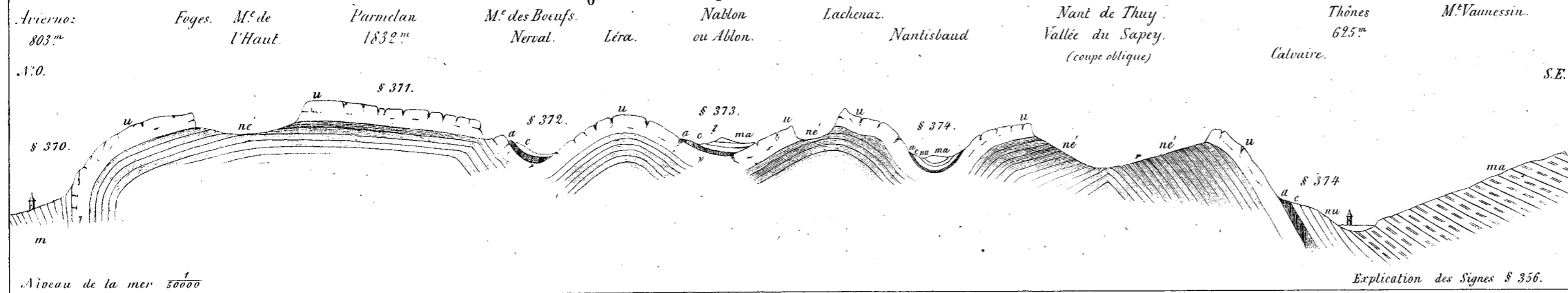


Fig. 3. § 377. Mine de Montmin.

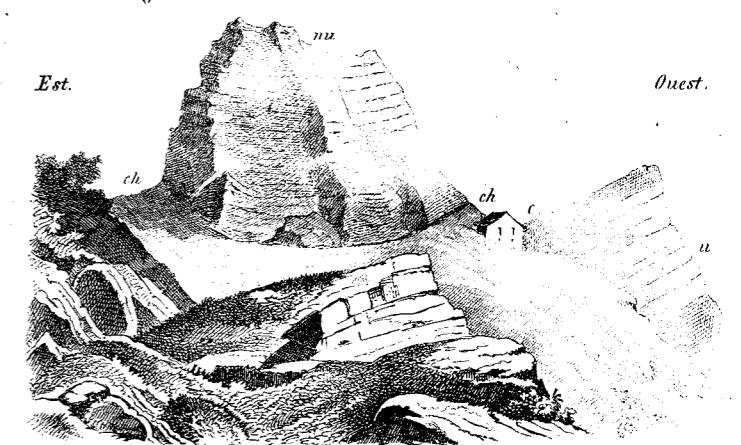


Fig. 5. § 386. Coupe de Faverges à Albertville.

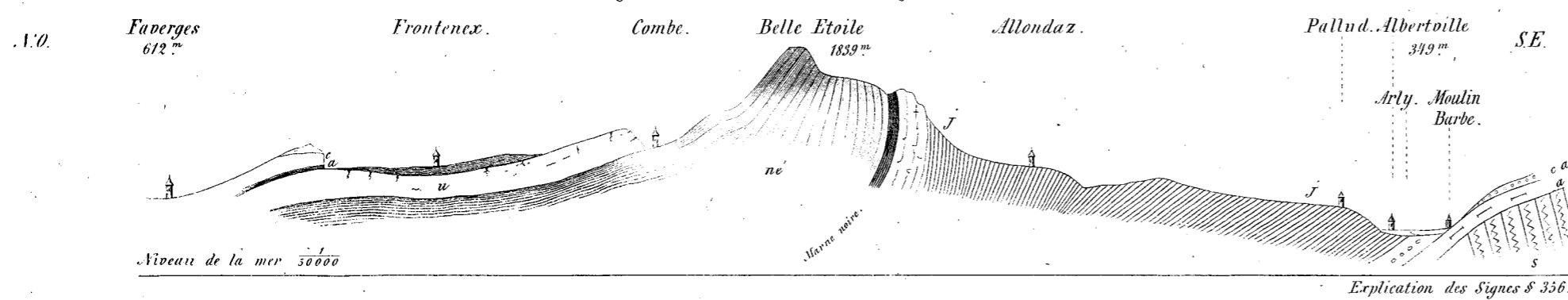


Fig. 4. § 377. Mine de Marclosan ou revers S. de la Mine de Montmin.

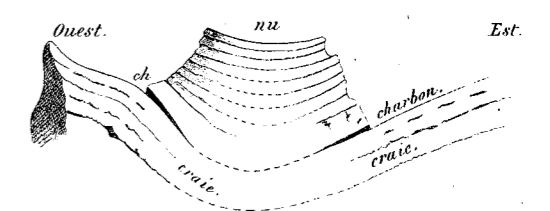


Fig. 8. § 382. Col Rampon.

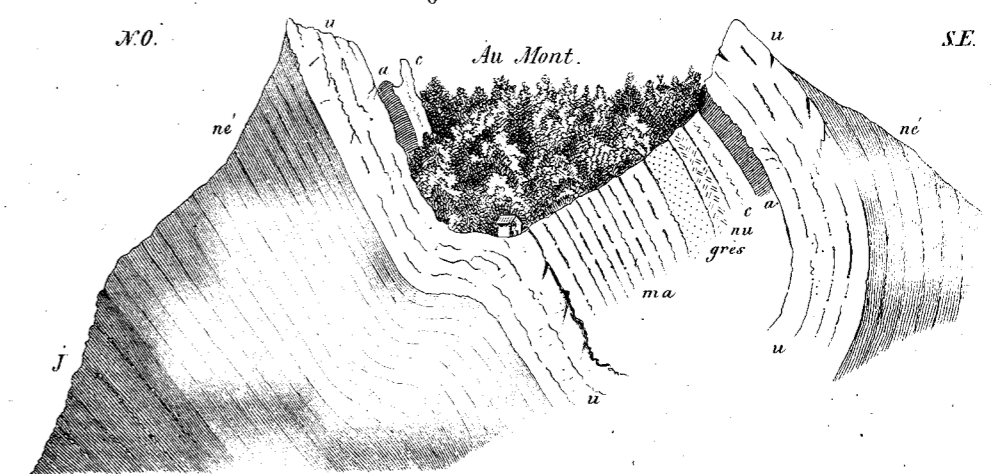


Fig. 6. § 399. Coupe du vallon du Maroly.

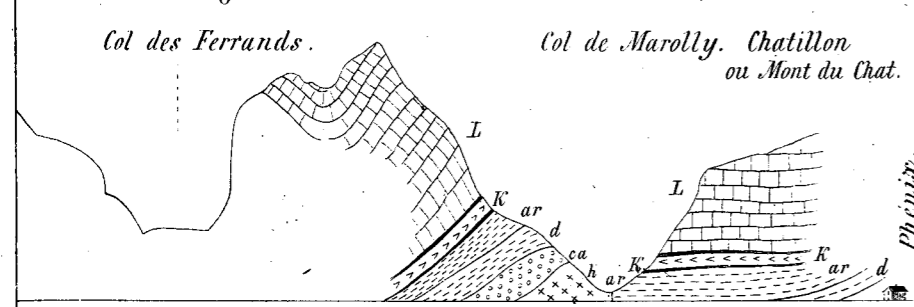
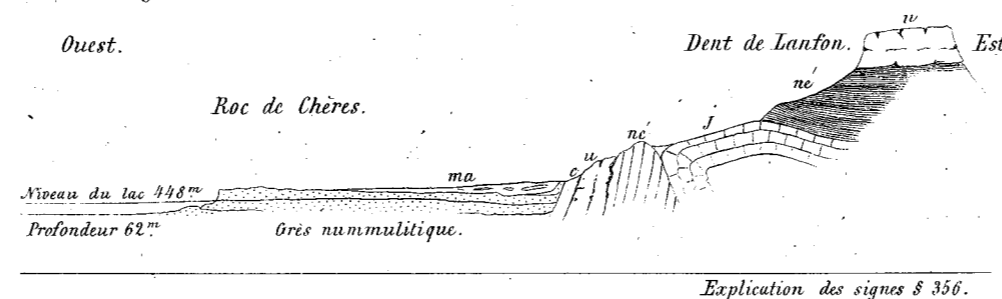


Fig. 7. § 379. Coupe de la Dent de Lanfon au roc de Chères.



RECHERCHES GÉOLOGIQUES.

Fig. 1. § 387-389. Vue de la Tournette prise des hauteurs de Faverges.

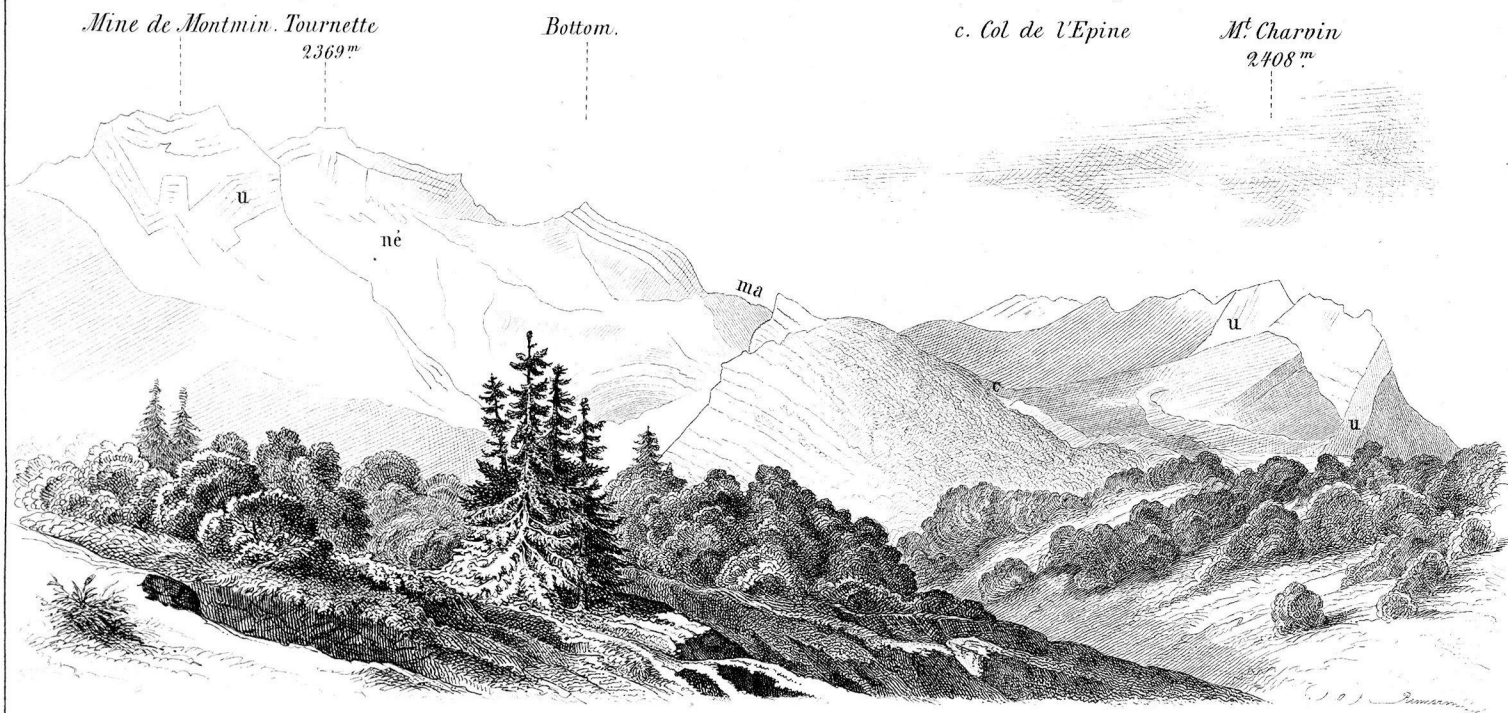


Fig. 2. § 399. Les Almes *vus de Romme.*

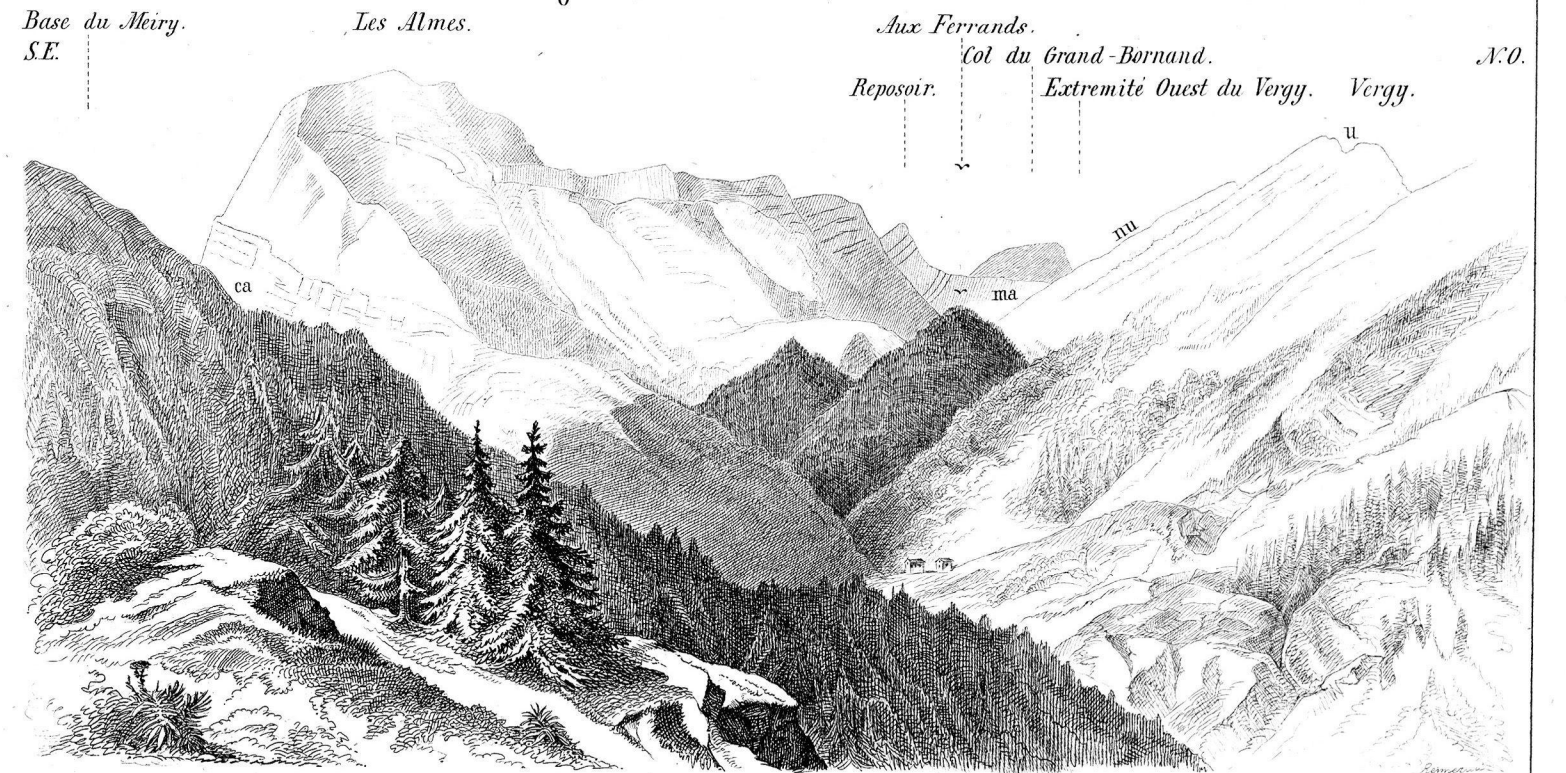


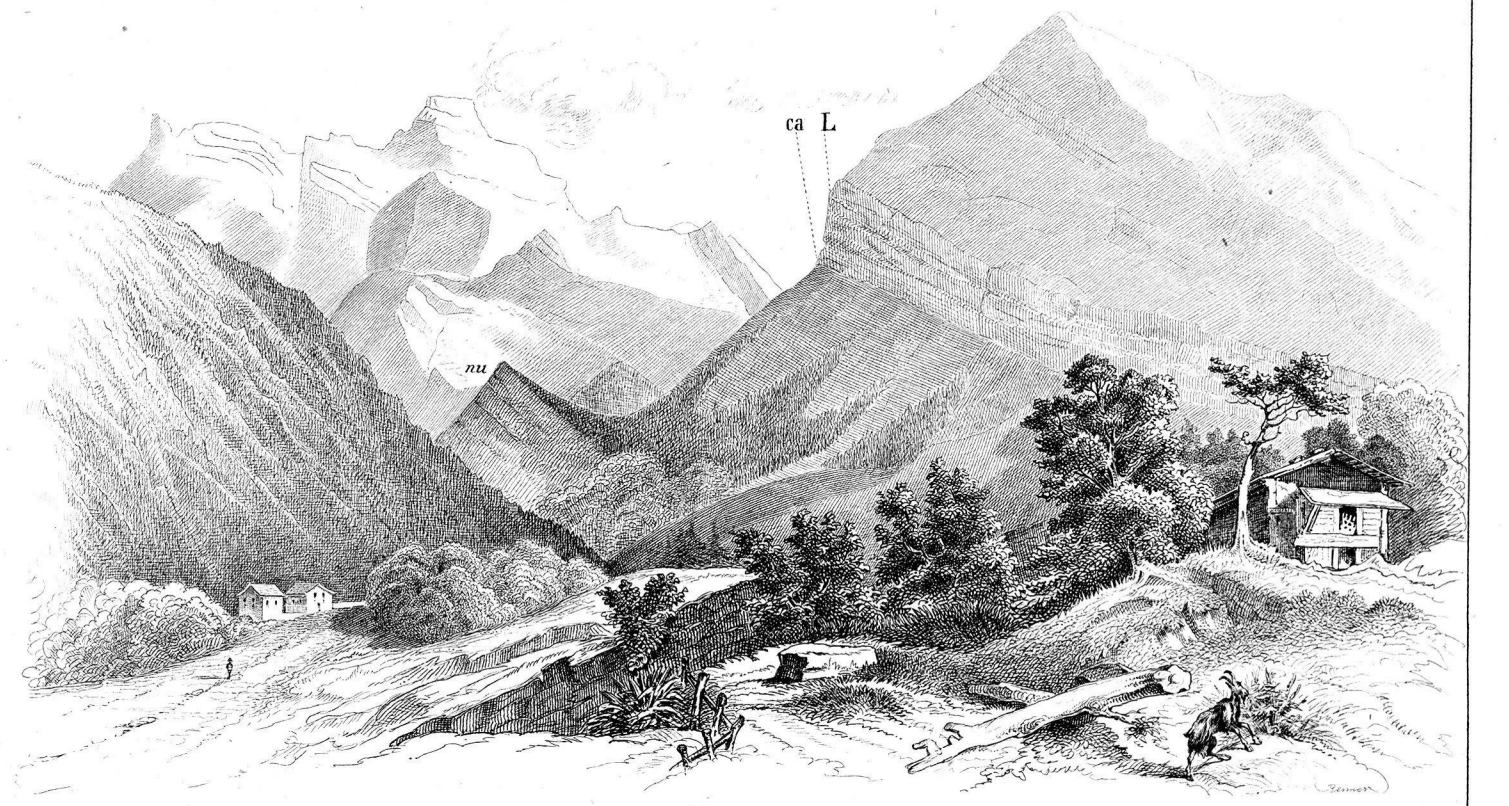
Fig. 3. § 399. Montagne des Almes *vue du Col de Balafras.*

P^{te} Château. Meiry. Les Almes. + Aux Ferrands. Col.



Fig. 4. § 399. Vue des Almes & de la Pointe Percée prise du Reposoir.

Pointe Percée. Les Almes.



Lith. Pilet et Cougnard, Genève.

RECHERCHES GÉOLOGIQUES.

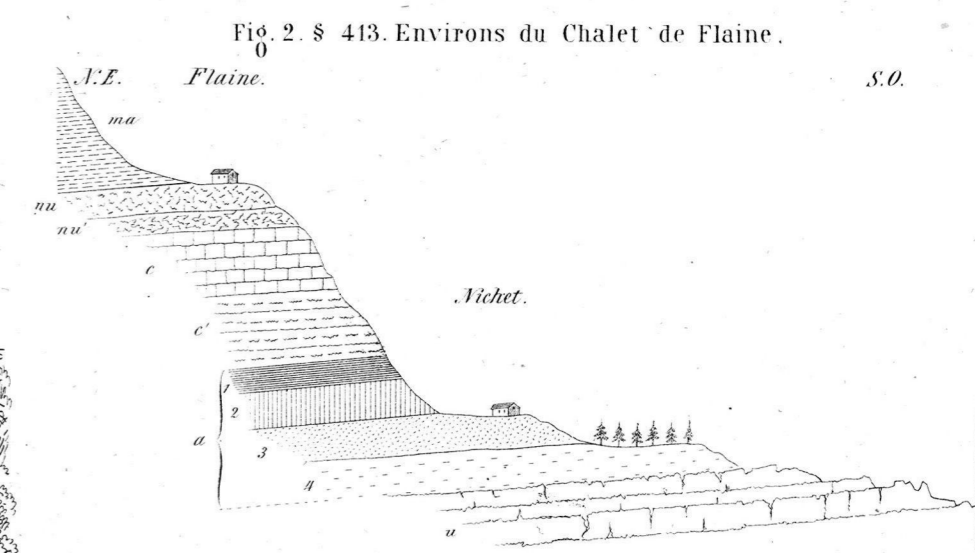
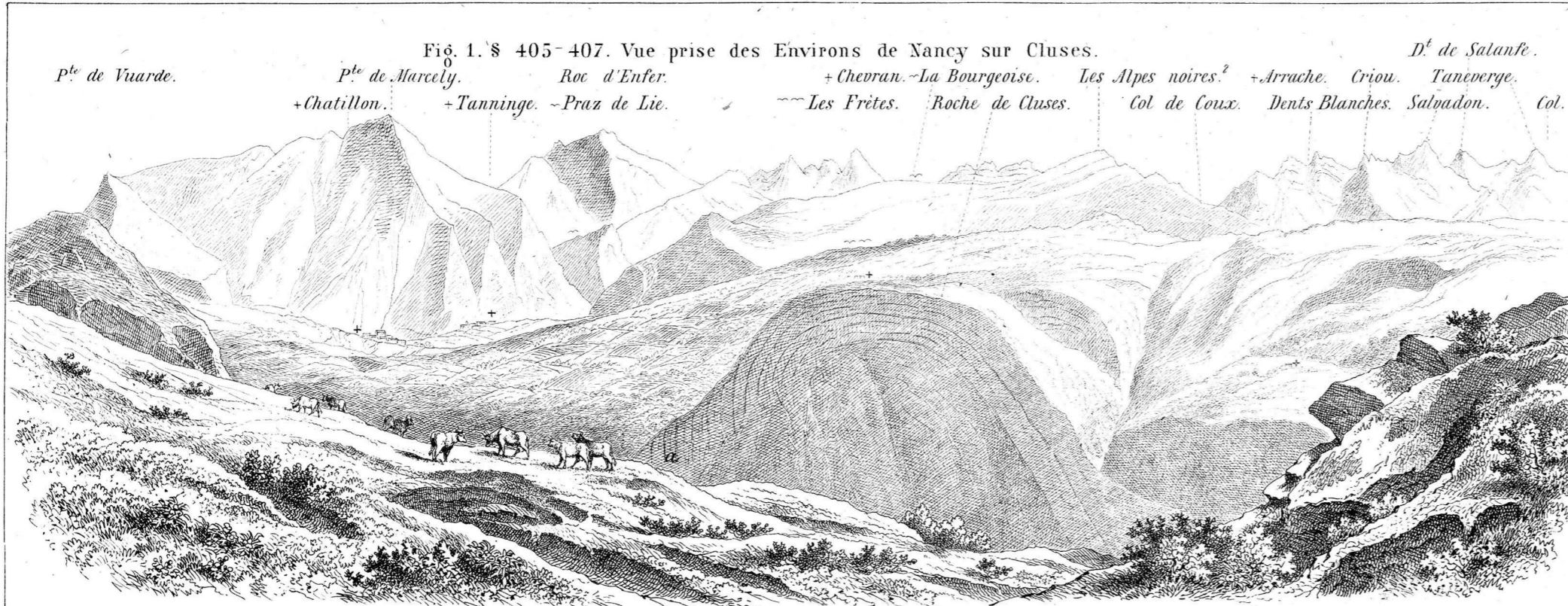


Fig. 6. § 420, 425. Coupe de la Pointe Pelouze aux Fiz.

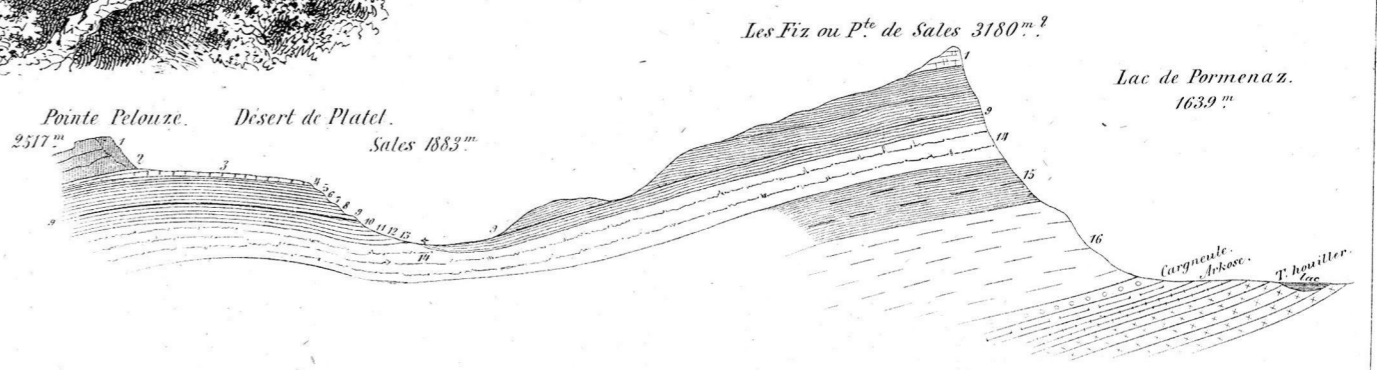


Fig. 3. § 409. Coupe prise entre le Château de Bellegarde et la Colonnaz.

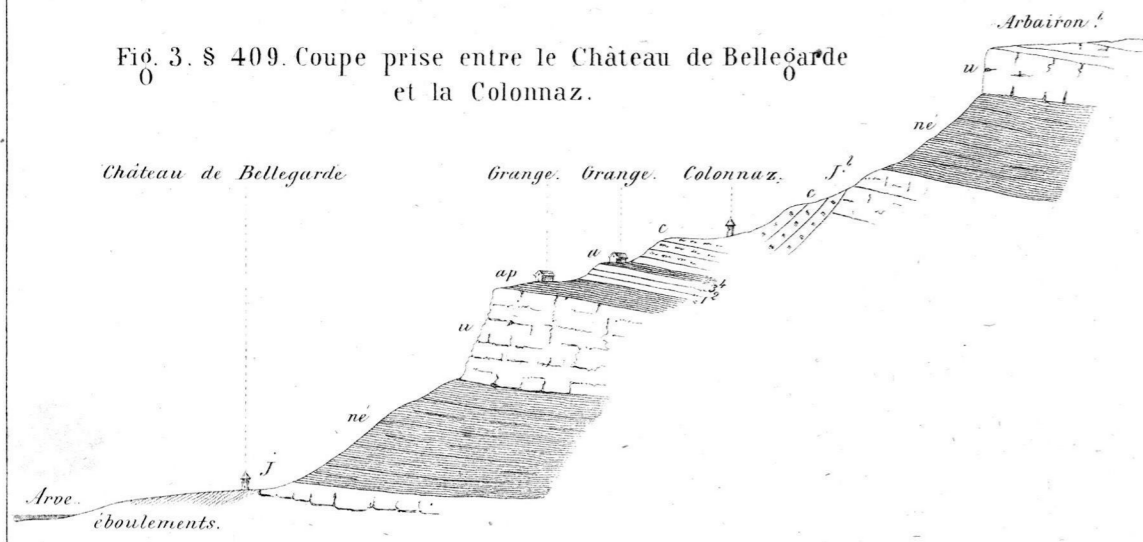


Fig. 4. § 405. Rocher de Cluses.

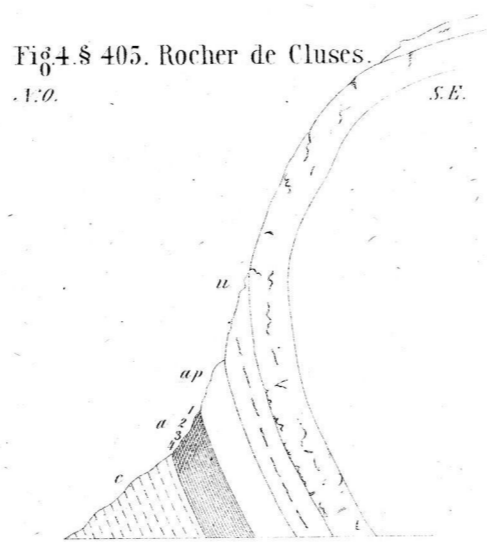


Fig. 7. § 427. Vue de la vallée de Sixt prise des environs de Sales. Labels include Avondruz, Sage Roux, Dte du Midi, Tour Sallière, Grenier, Bucl, Salvadon, Sambet, M. Ruan, Pte de Tanconge, and § 433.

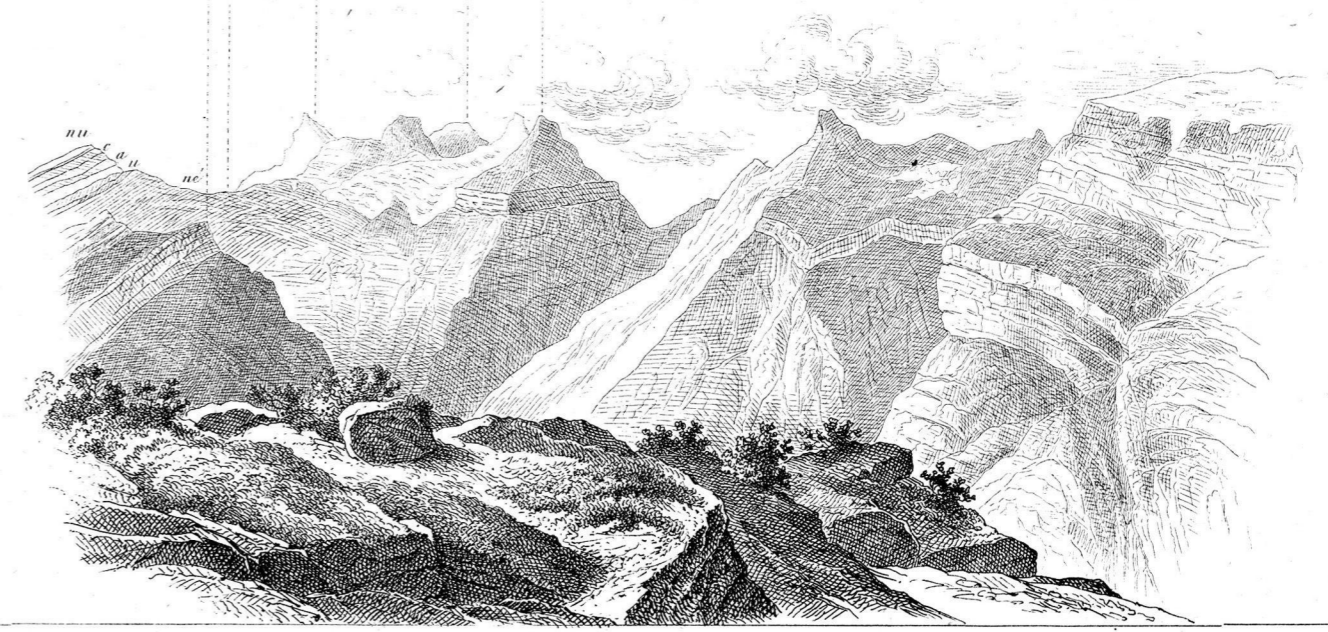
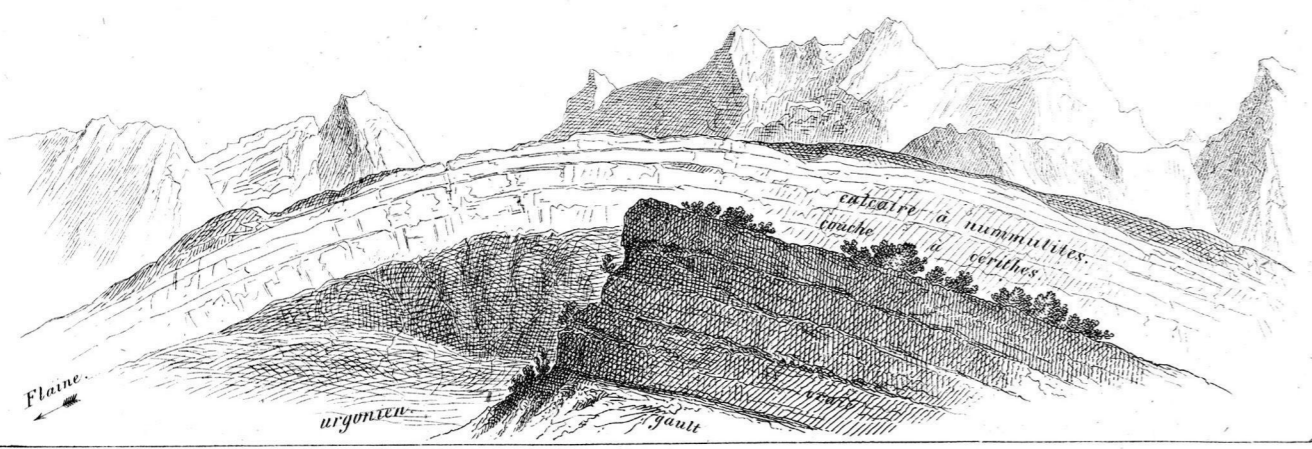


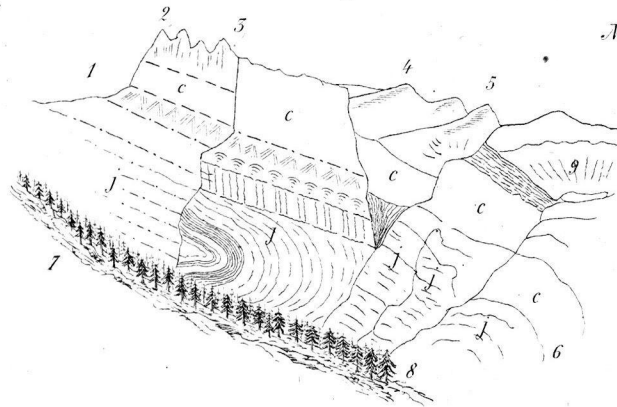
Fig. 6. § 416. Vue des Déserts de Platet. Labels include Pte Pelouze, Les Fiz, and La Portellaz.



Lith. Pilet et Sougnard, Genève.

RECHERCHES GÉOLOGIQUES.

Fig. 1. § 427. Le contournement nommé Faucilles du Chantet, vu des pentes du Criou.



Terrains : J. jurassique, C. crétacé.
 1 Col d'Anterne, 5 Pointe Pelouse,
 2 Les Fiz, 6 Passage des lînes,
 3 Le Colet, 7-8 Forêt de sapins,
 4 Platet, 9 Lac de Giers.

Fig. 2. § 435.

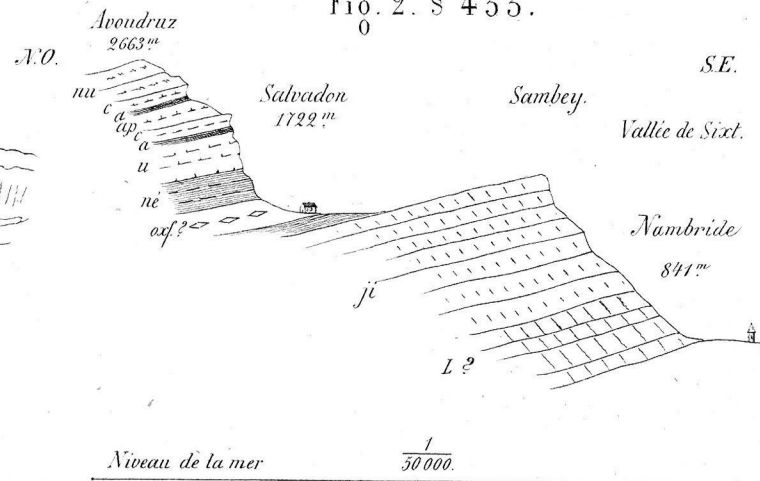


Fig. 3. § 434. Arête entre Odaz & Bossetan.

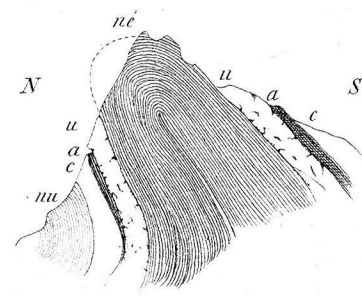


Fig. 4. § 442. Dents Blanches.

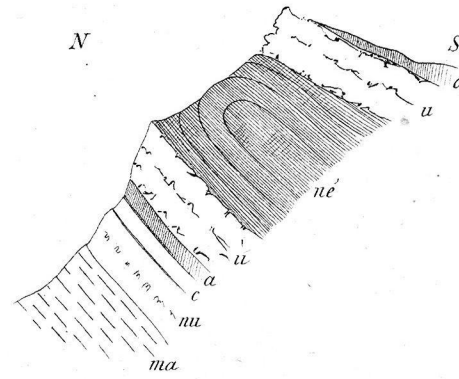


Fig. 5. § 441. Col de Couz vu de Sardonnaire.

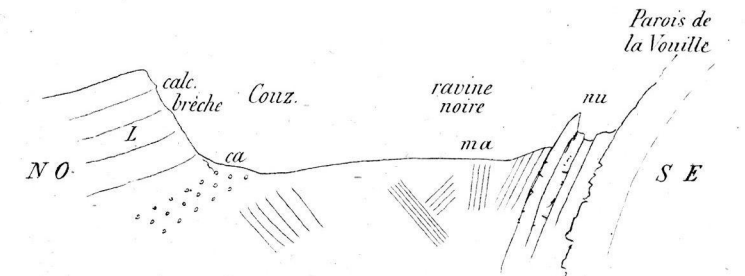


Fig. 6. § 437.

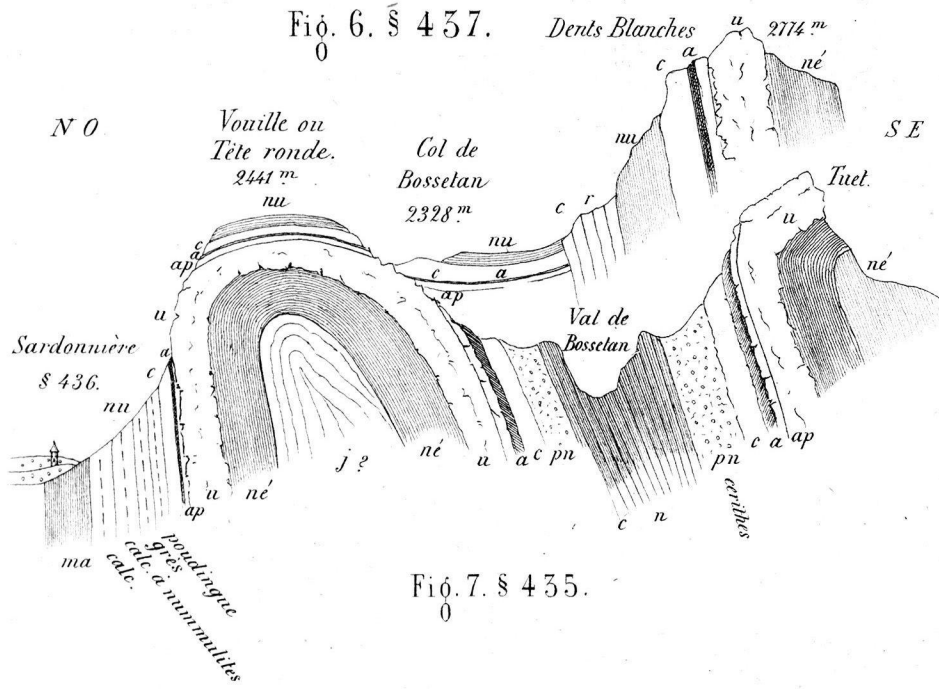


Fig. 8. § 442.

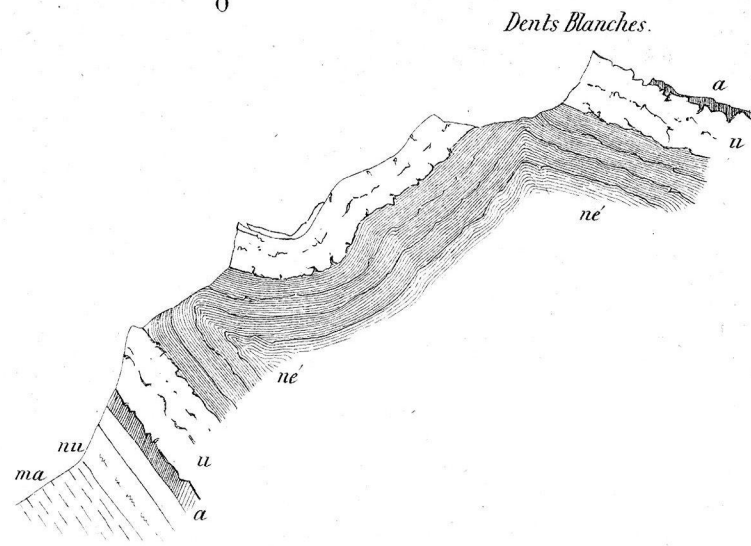


Fig. 9. § 442. Dent de Bonnavaux 2524m.

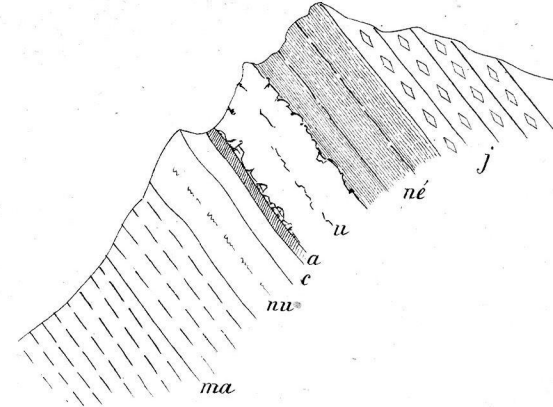


Fig. 10. § 442. 445. La plus haute des Dents du Midi, 3286m ?

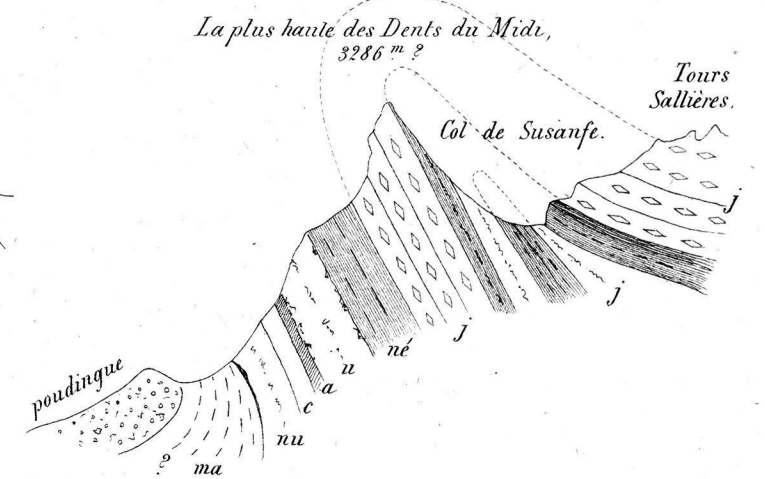


Fig. 7. § 435.

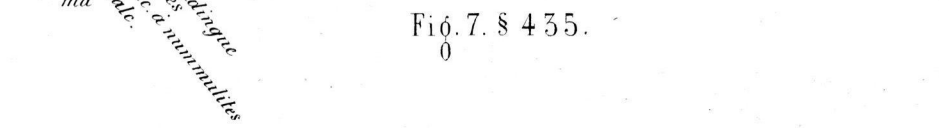


Fig. 11. § 434. 440.

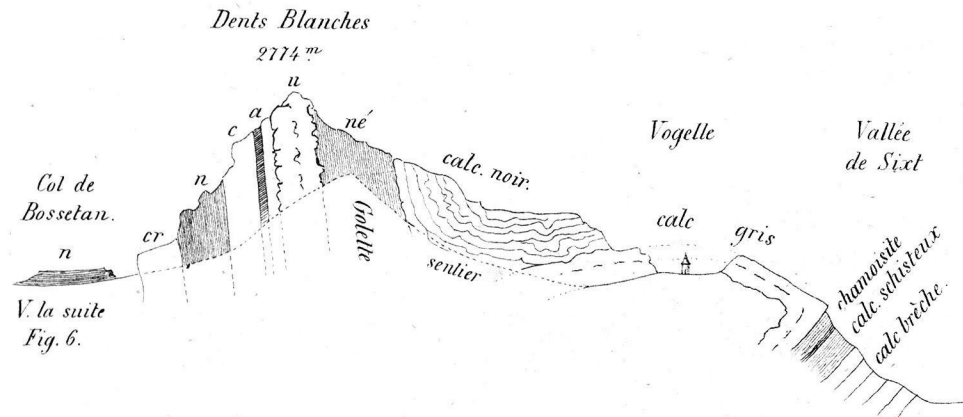


Fig. 12. § 442. Dent du Midi au dessus de S^t Maurice.

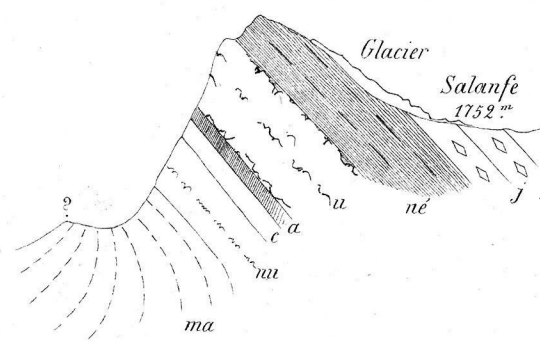


Fig. 13. § 443.

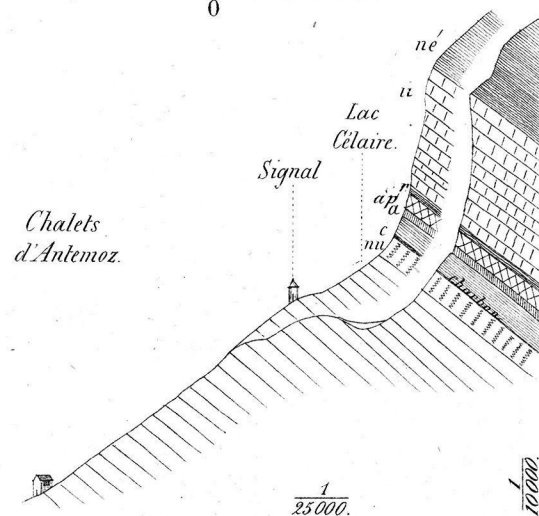
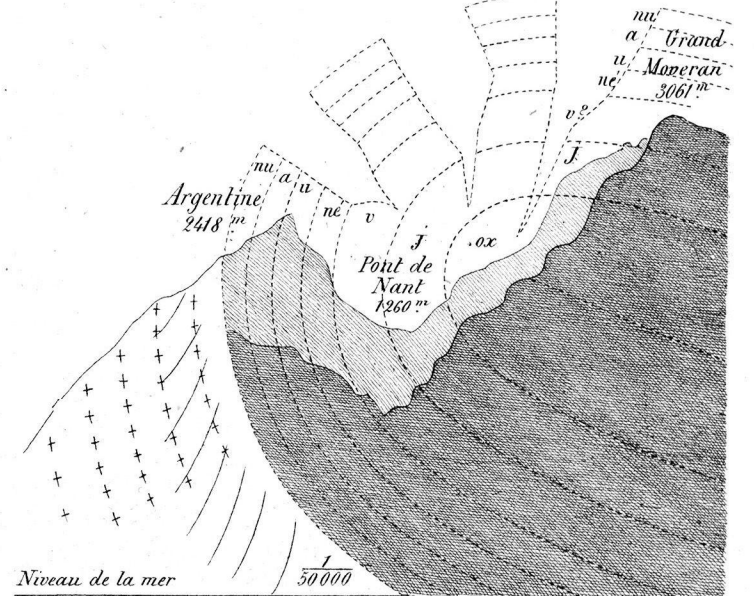


Fig. 14. § 450.



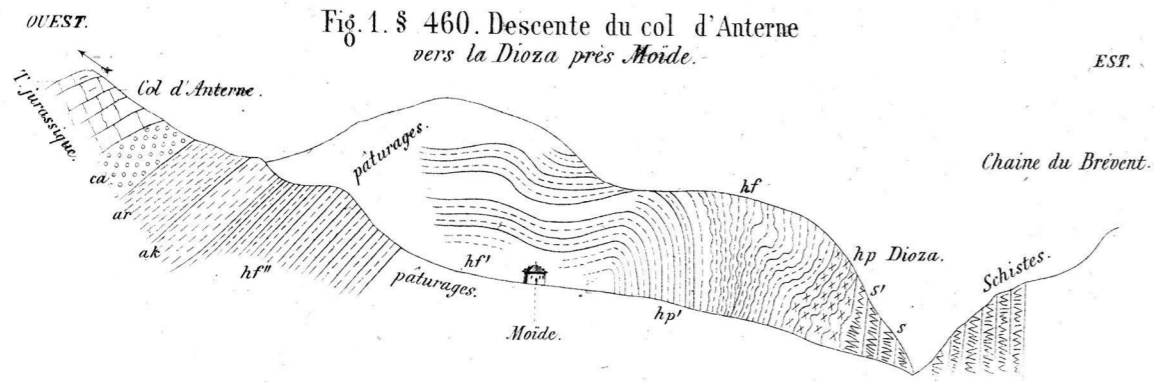


Fig. 1. § 460. Descente du col d'Anterne vers la Dioza près Moide.



Fig. 2. § 463. Les Rafforts.

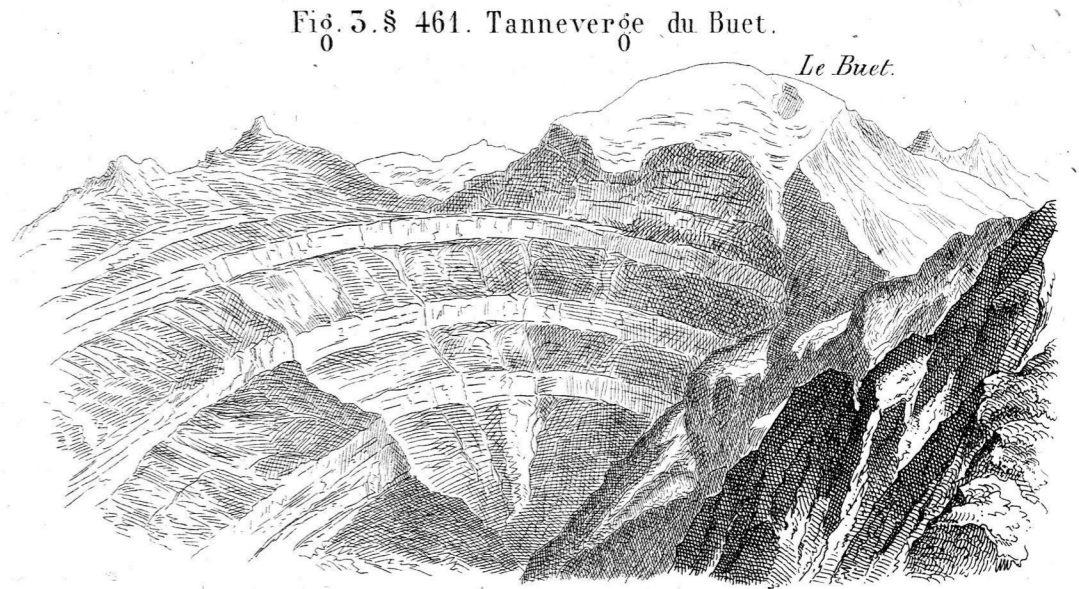


Fig. 5. § 461. Tanneverge du Buet.

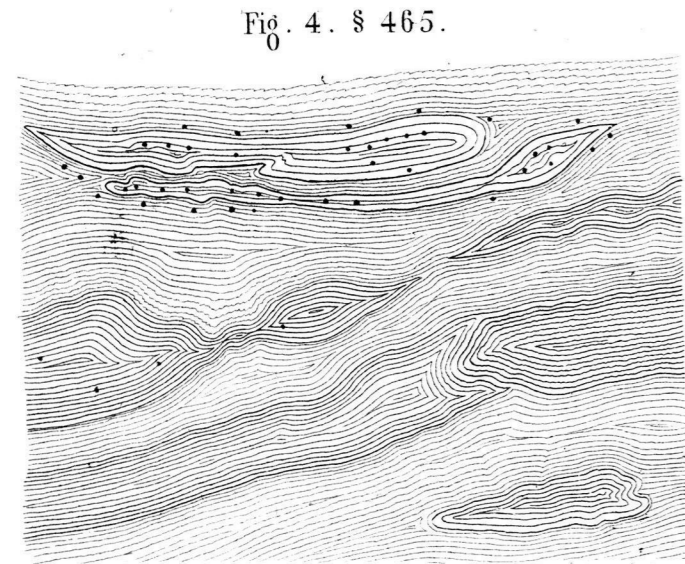


Fig. 4. § 465.

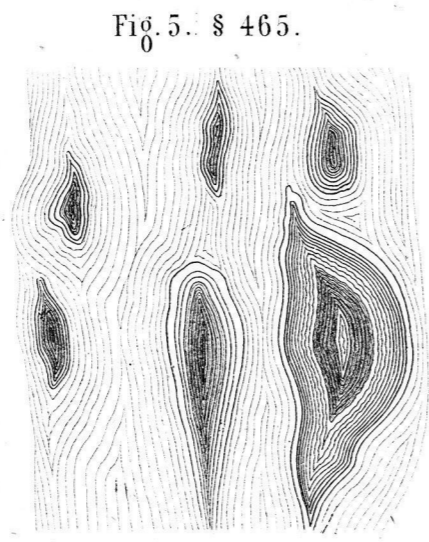


Fig. 5. § 465.

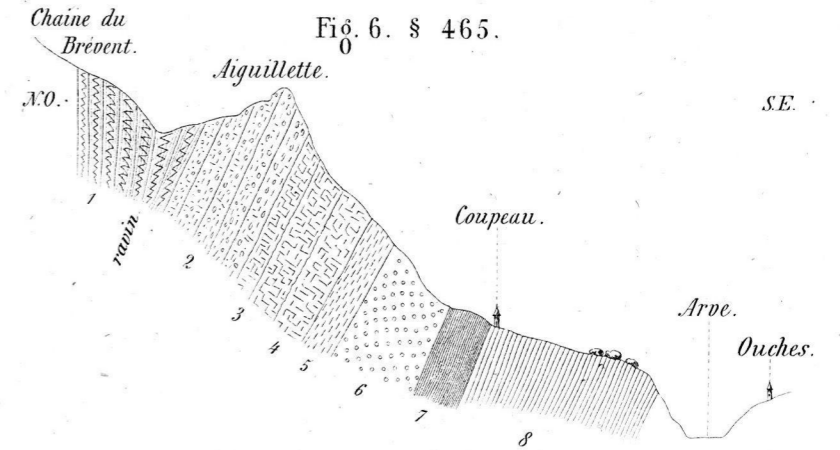


Fig. 6. § 465.

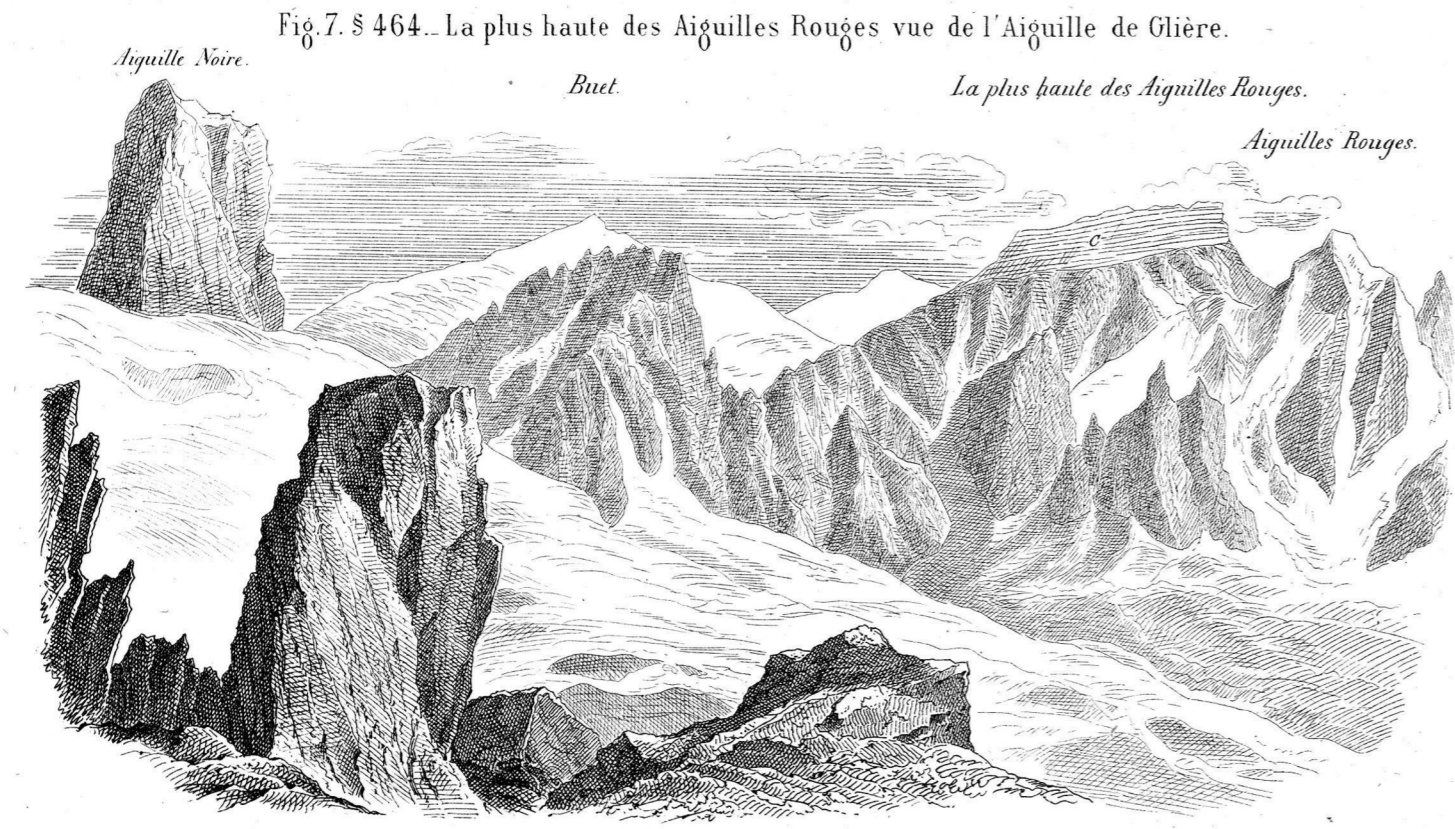


Fig. 7. § 464. La plus haute des Aiguilles Rouges vue de l'Aiguille de Glière.

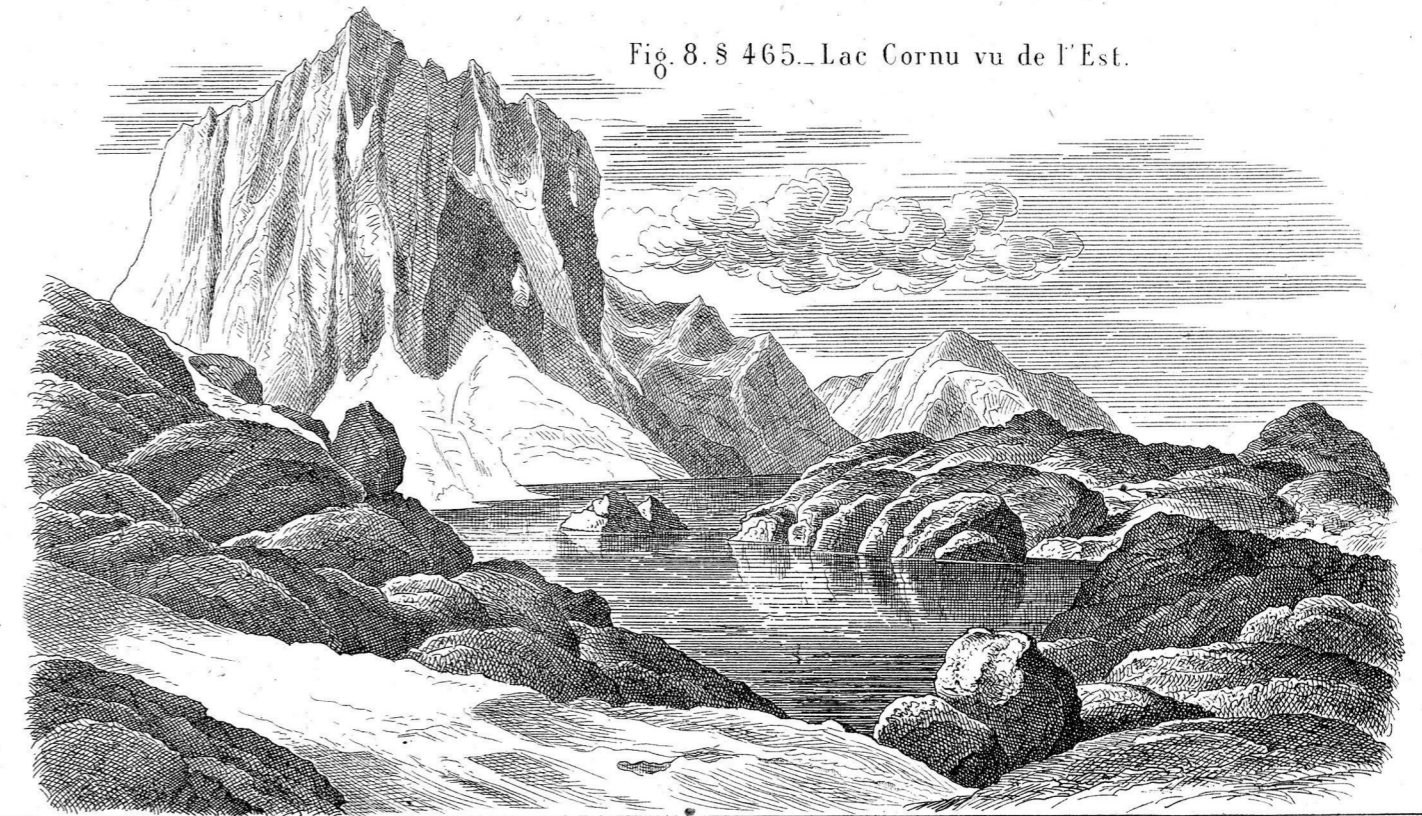


Fig. 8. § 465. Lac Cornu vu de l'Est.

Fig. 1. § 466. — La plus haute des Aiguilles Rouges vue du lac Blanc.

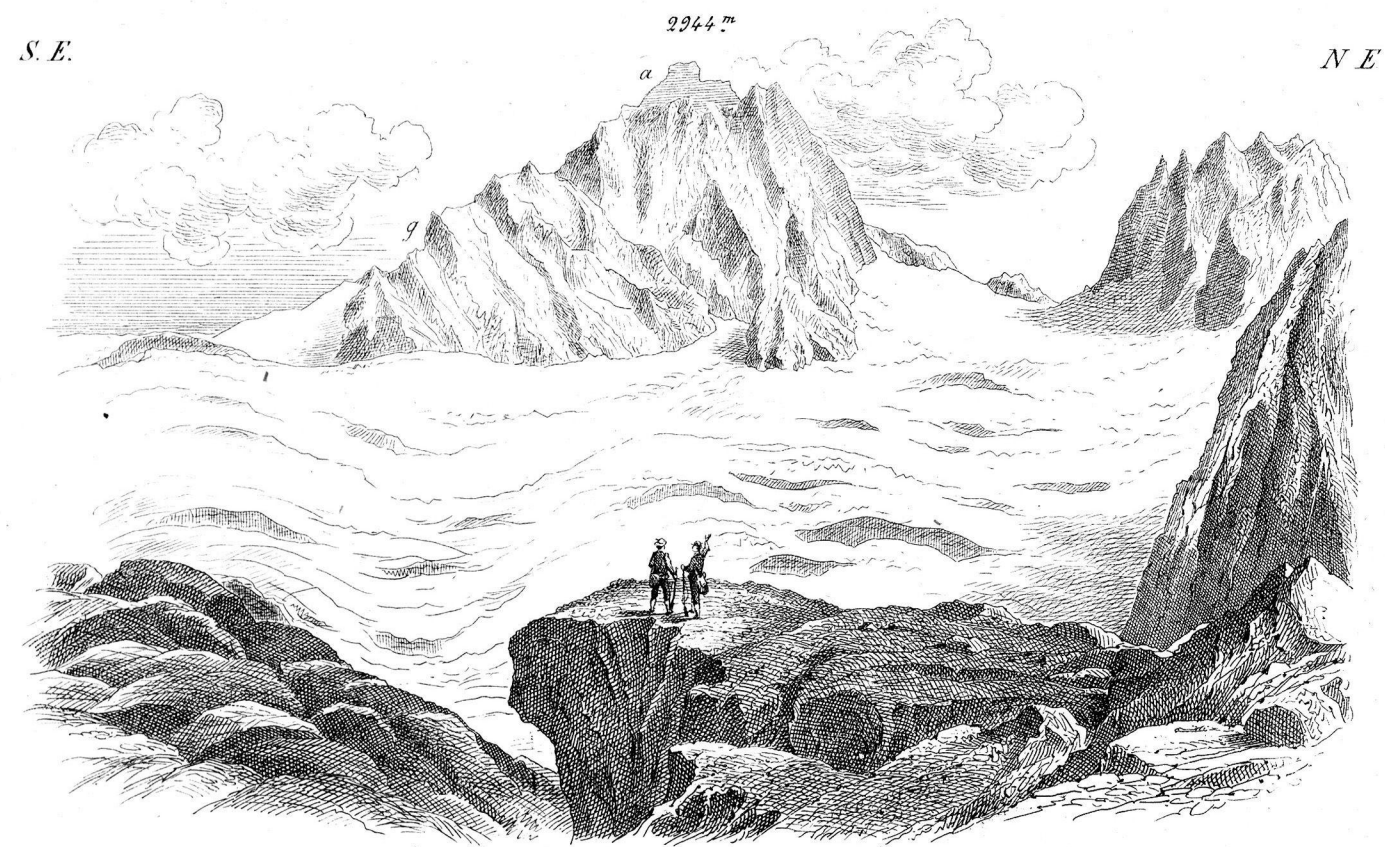


Fig. 2. § 446.
Un des pics des Aiguilles Rouges.



Fig. 3. § 467.
Sommet de la plus haute des Aiguilles Rouges.

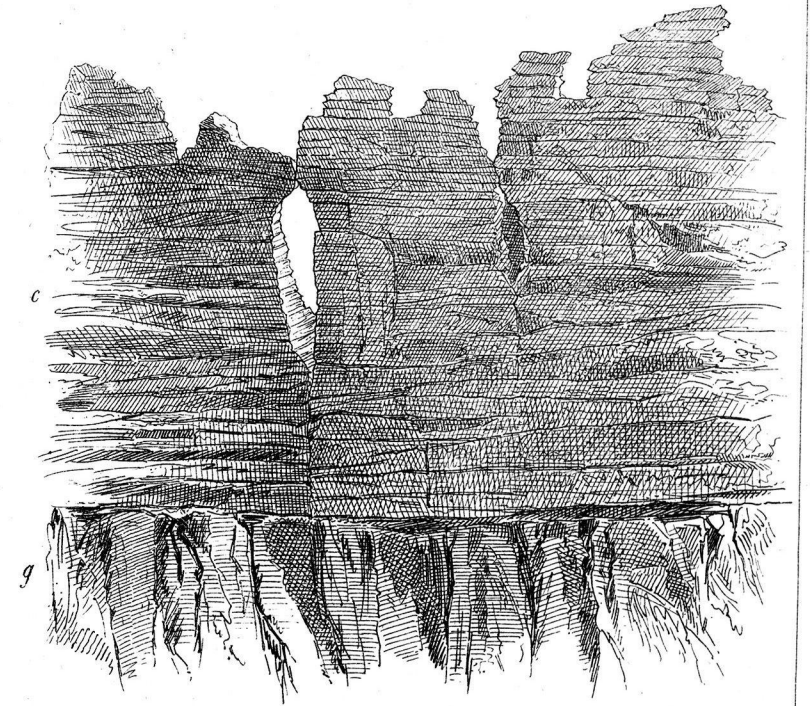


Fig. 4. § 468.
La plus haute des Aiguilles Rouges.

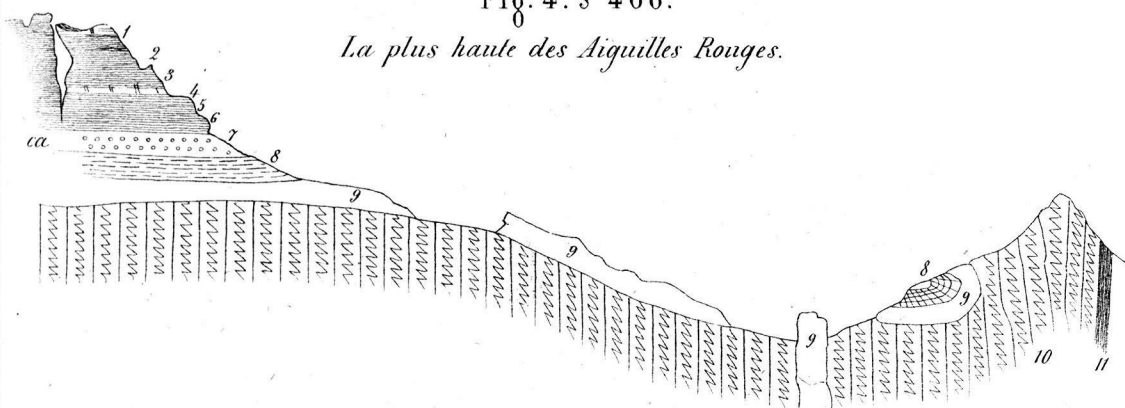


Fig. 5. § 465.

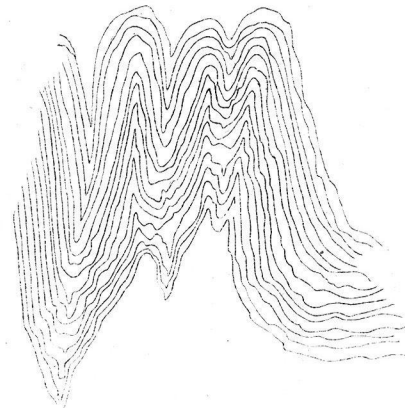


Fig. 6. § 471.
Diagramme général des phénomènes accompagnant une masse granitique.

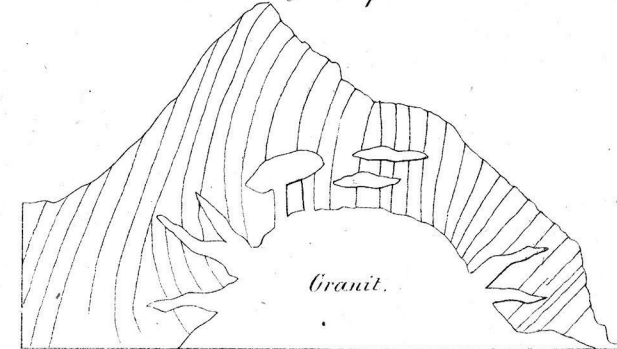


Fig. 7. § 471. — Ravin des Rupes
Granit en filons dans la Gneiss.

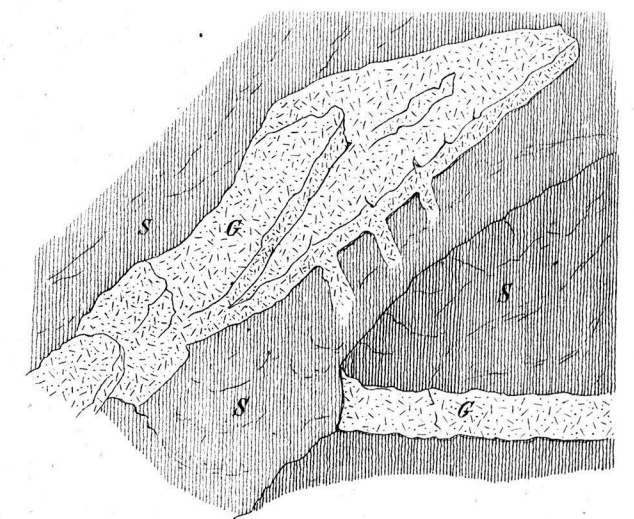


Fig. 1. § 472. Coupe de Sixt à Chamonix.

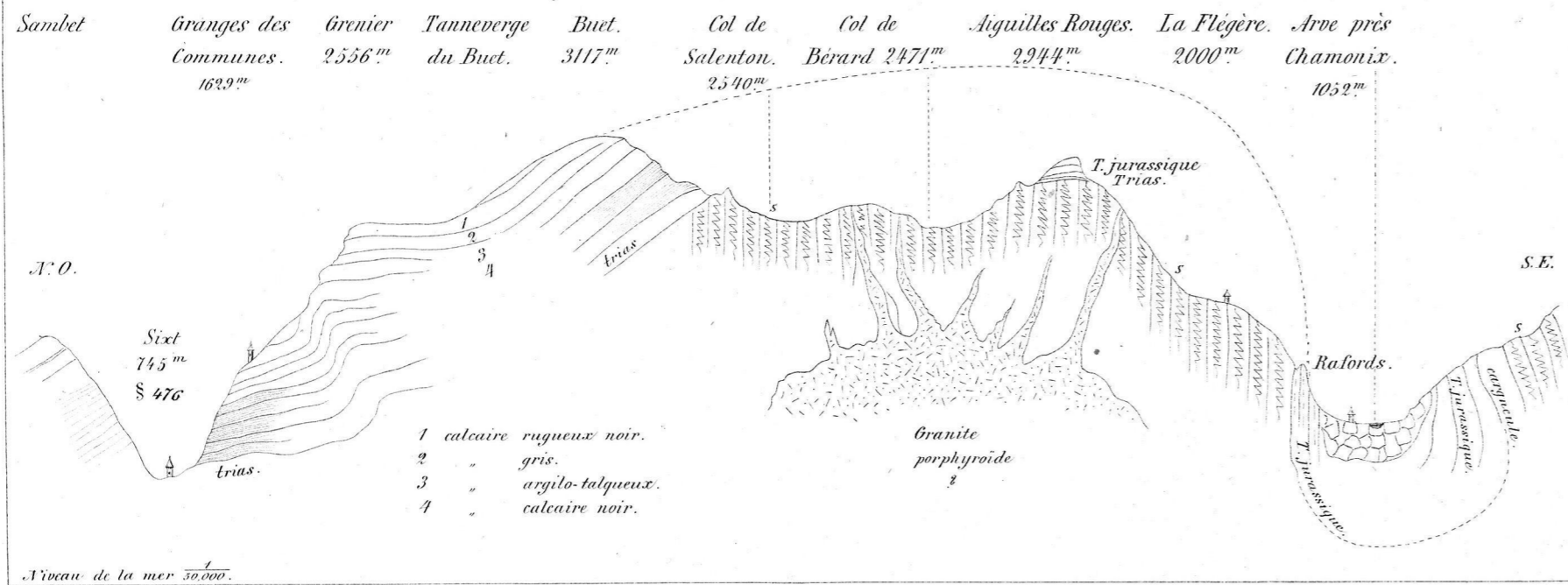


Fig. 2 § 475. Col de Salenton.

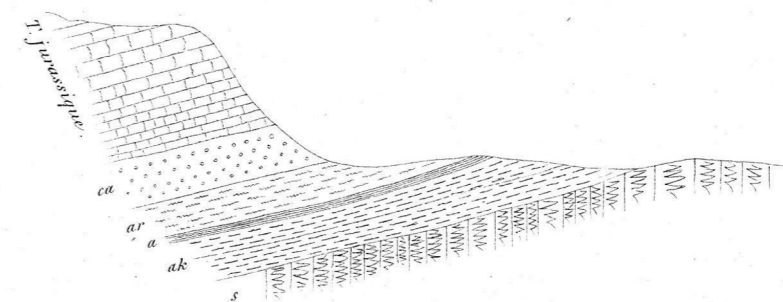


Fig. 5. § 476. Vallée d'Entraières près Valorsine.

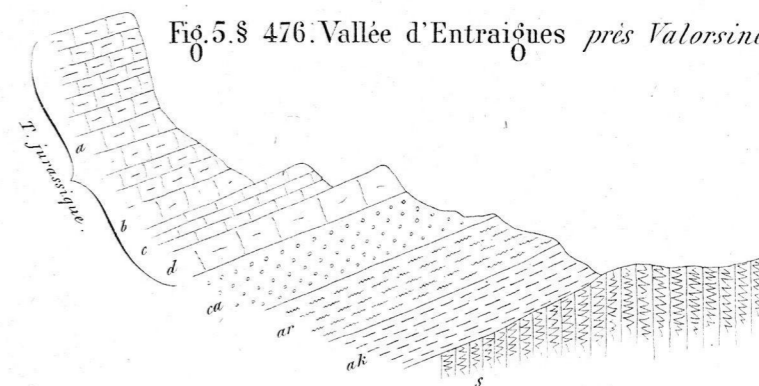


Fig. 4. § 473. Buet.

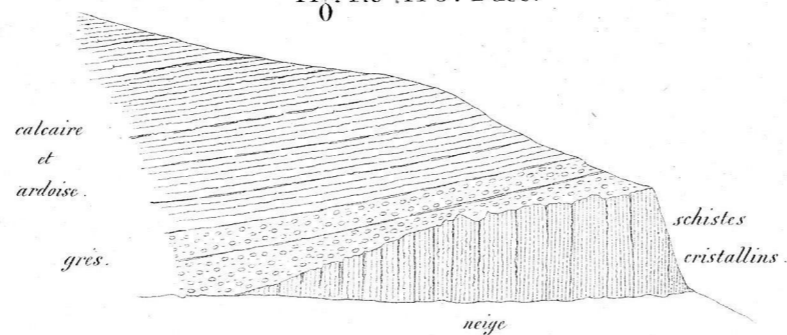


Fig. 3. § 483, 484.

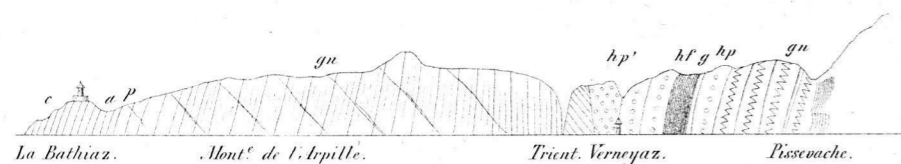


Fig. 6. § 478. Col de Salanfe.

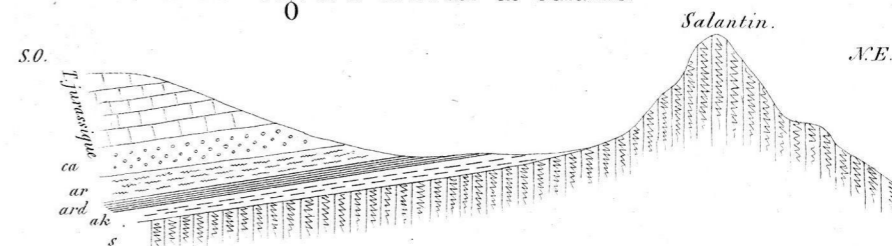


Fig. 9. § 483.

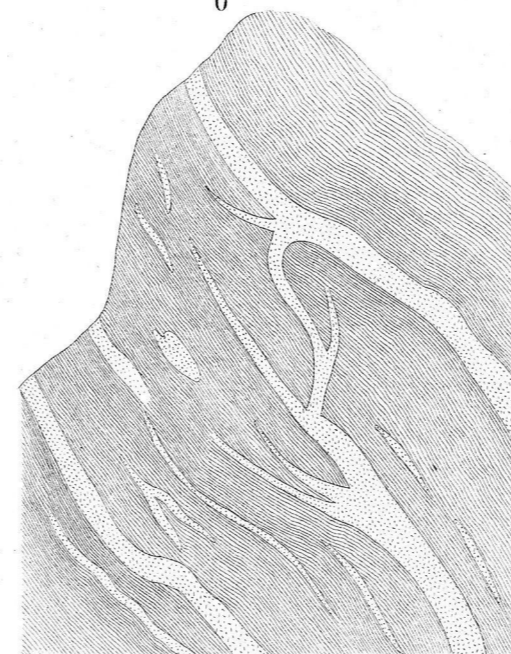


Fig. 8. § 483.

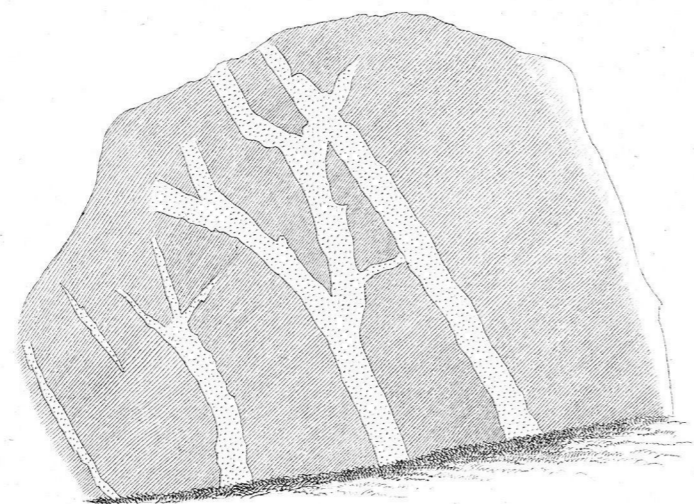


Fig. 7. § 483.

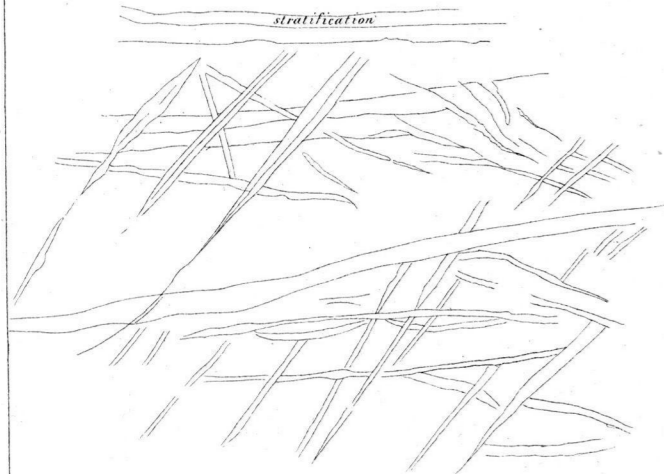
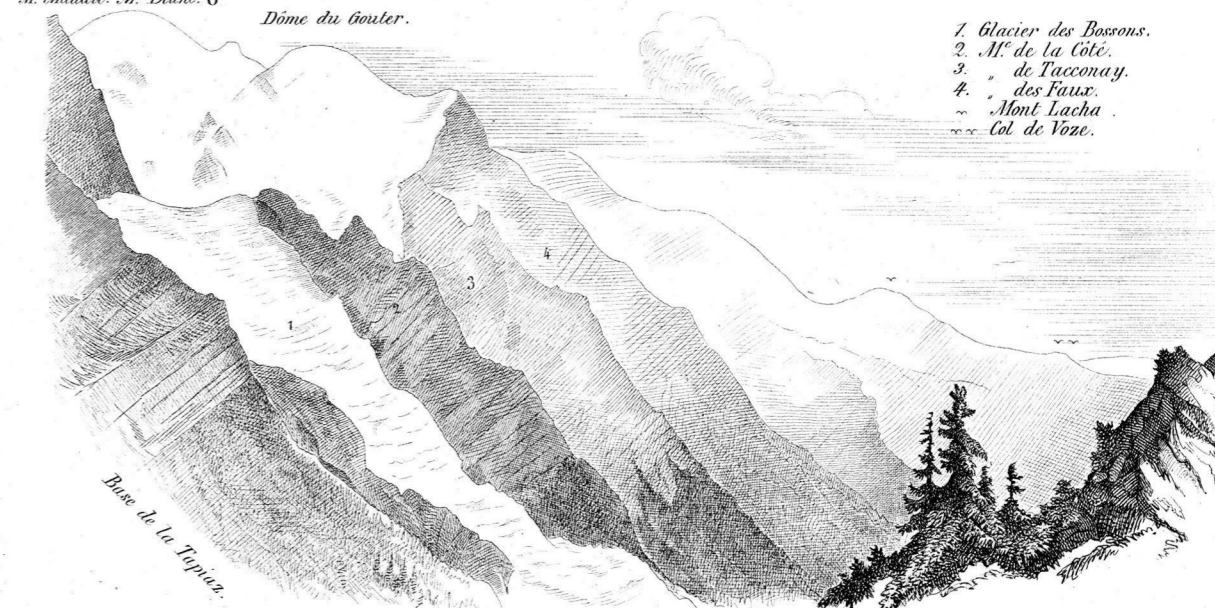
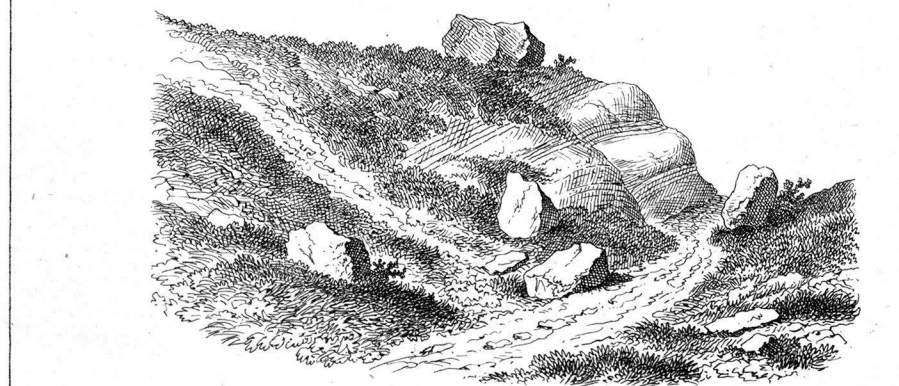
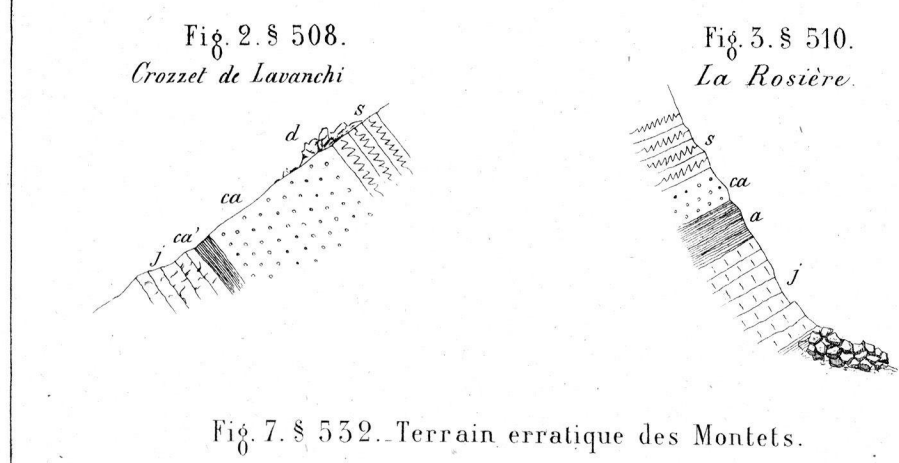
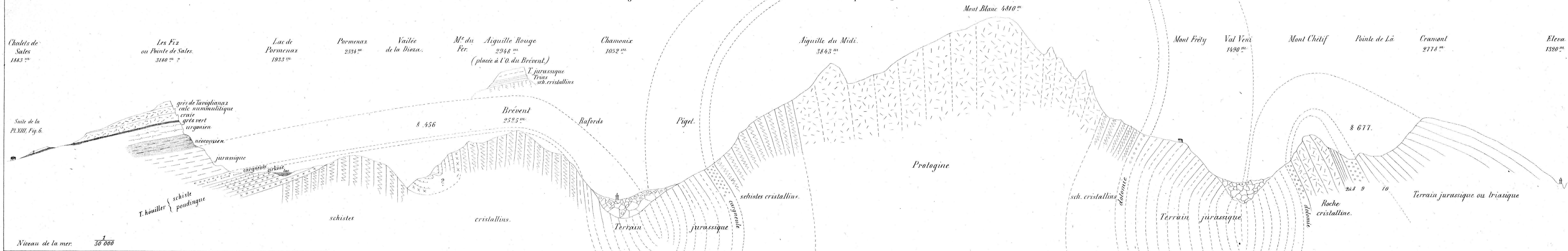


Fig. 10. § 500. Vue du versant septentrional de la chaîne du M^t Blanc.



RECHERCHES GÉOLOGIQUES.

Fig. 1. § 595, 607, 675. — Coupe du Crémont aux Fiz passant par le Mont Blanc.



Lith. Pillet & Cagnard, Genève.

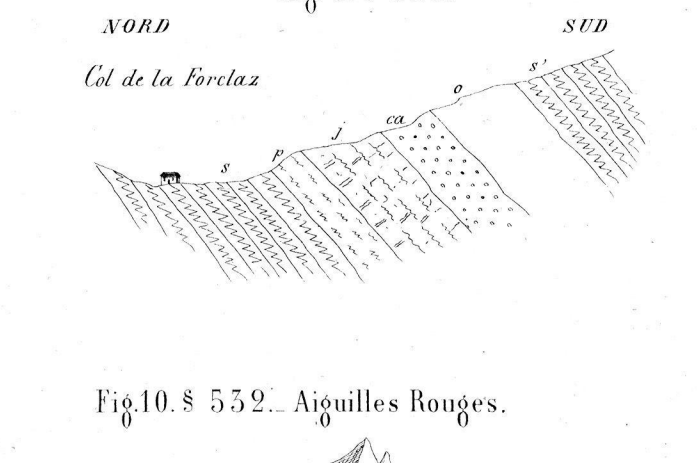
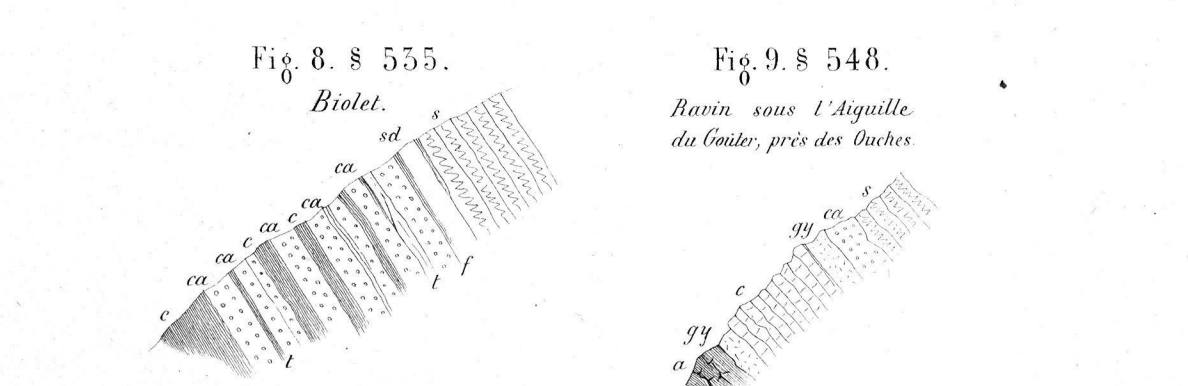
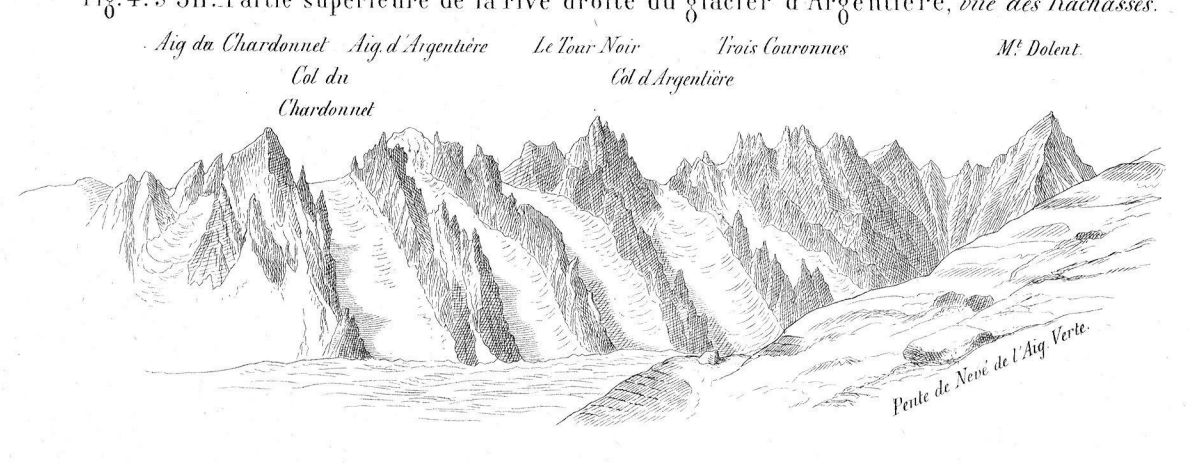


Fig. 2. § 548 à 552. — Coupe du Mont-Blanc aux bains de S^t Gervais.

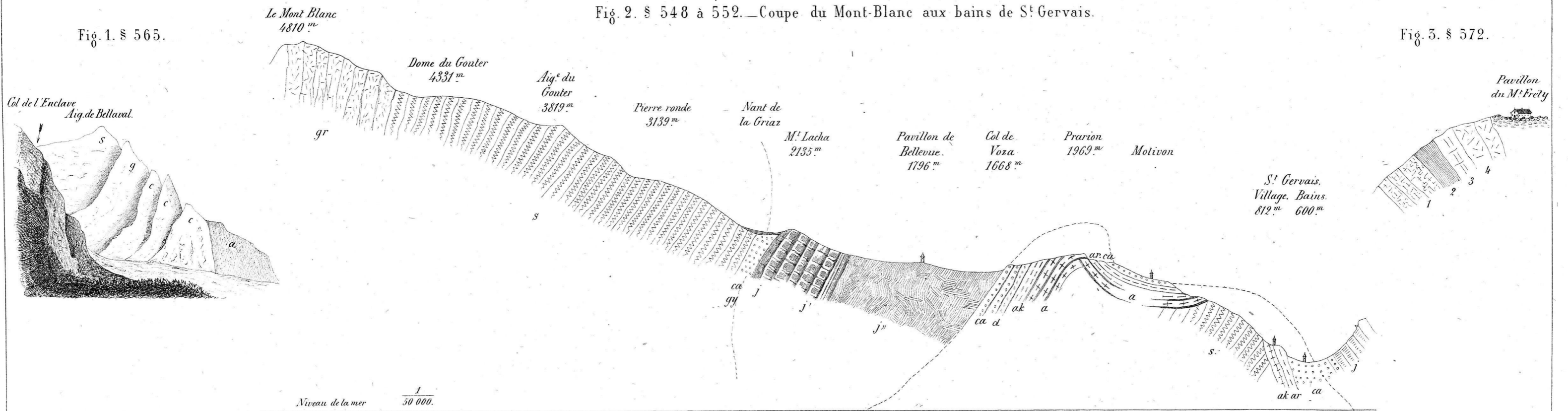


Fig. 4. § 560. — Rosselette.

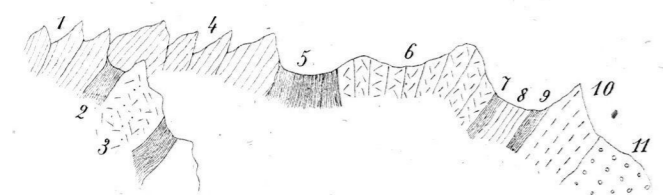


Fig. 5. § 566. — Col de la Seigne.

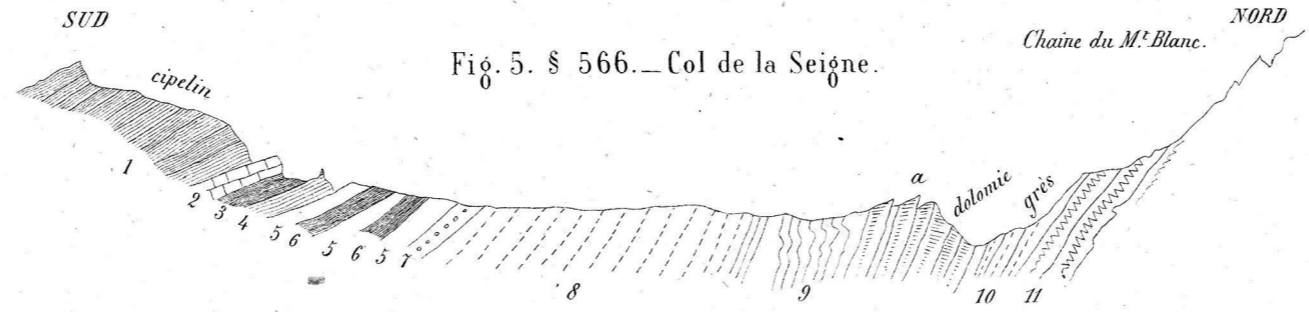


Fig. 6. § 563.

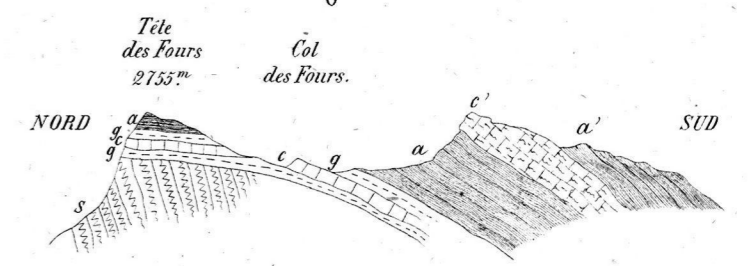


Fig. 8. § 557, 559.

Le Mont Blanc vu de l'Enclave de la Rosselette



Fig. 7. § 559.

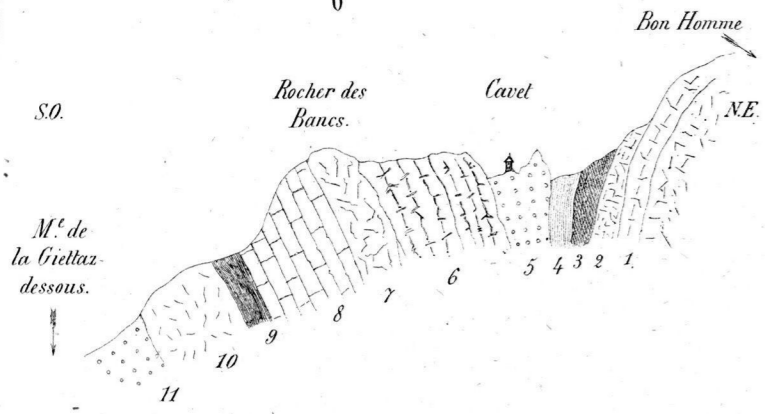
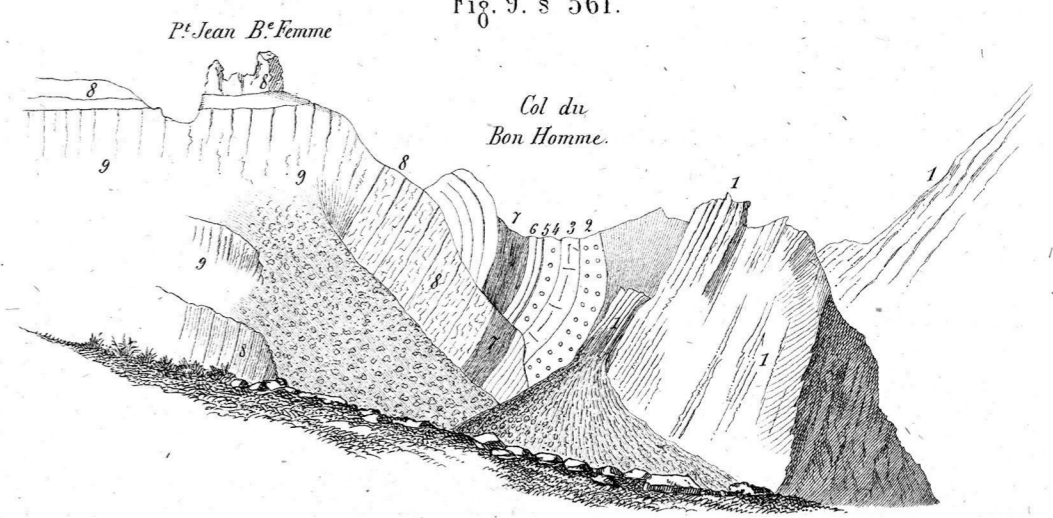


Fig. 9. § 561.



Lith. Fiset & Cagniard, Genève.

Fig. 1. § 559. Vue prise entre Contamines & Nant Boran.

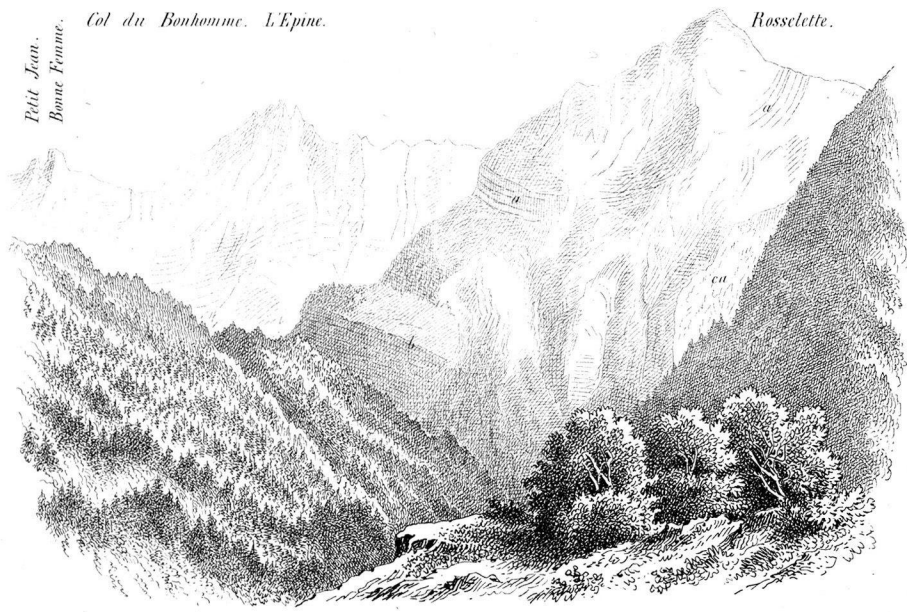


Fig. 2. § 569. Le Mont Frety ou des chalets de Veni



Fig. § 576. Le Mont Chétif.

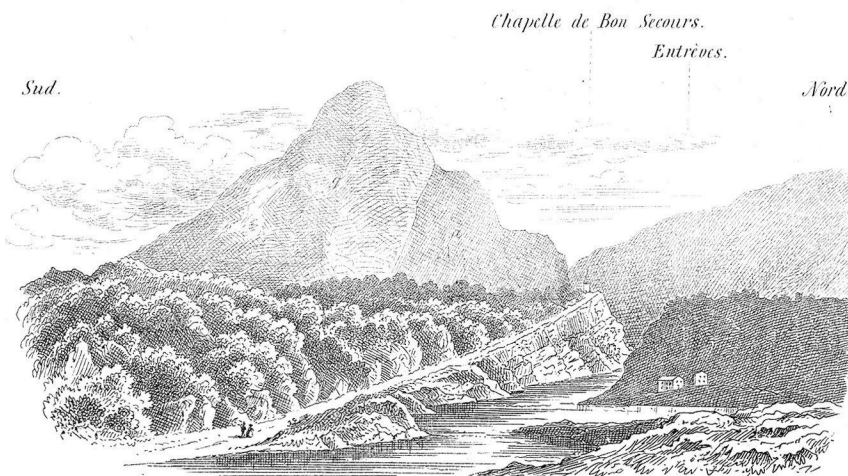


Fig. 4. § 565. Lac du Mont Jovet.

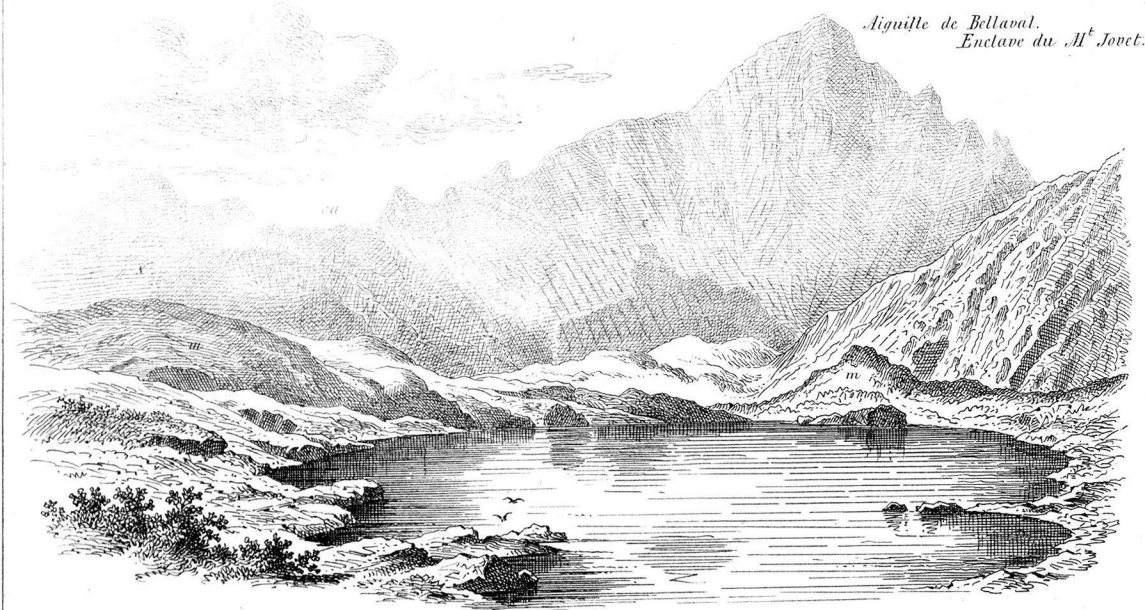
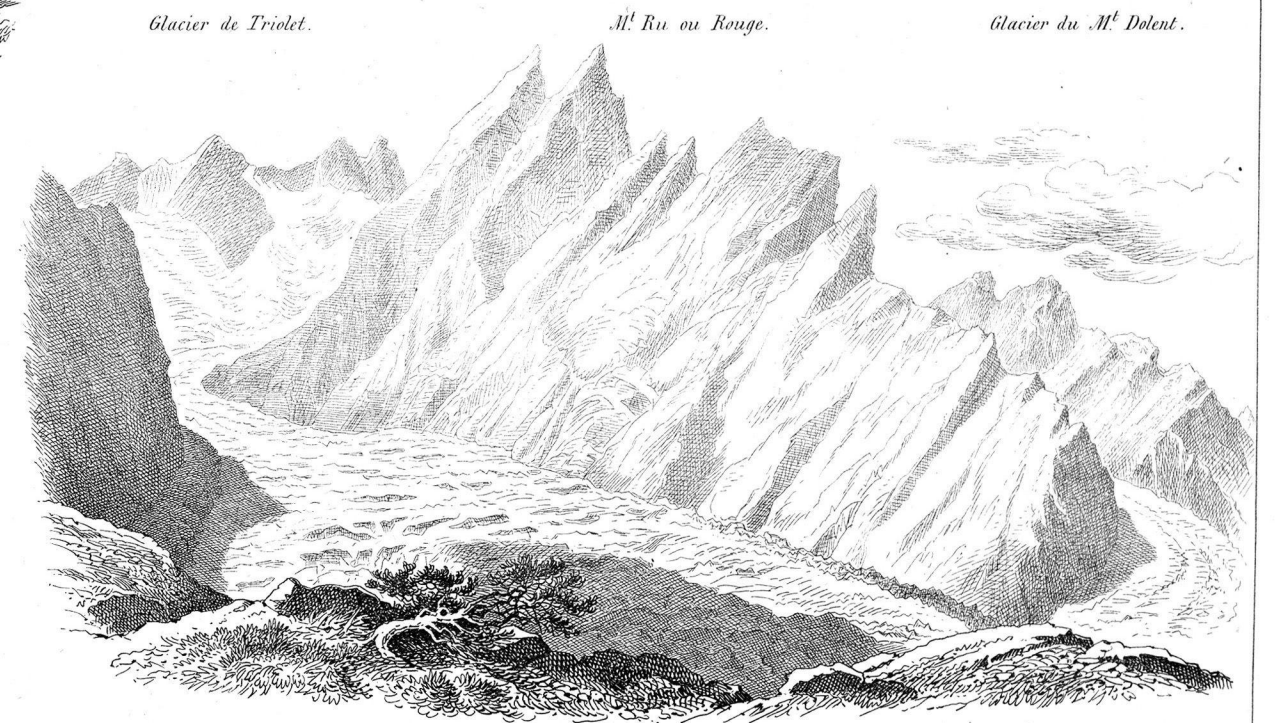


Fig. 5. § 579. Vue du bas du glacier de Triolet.



RECHERCHES GÉOLOGIQUES.

Fig. 1. § 579. Glacier du Mont Dolent ou de Pré de Bar.

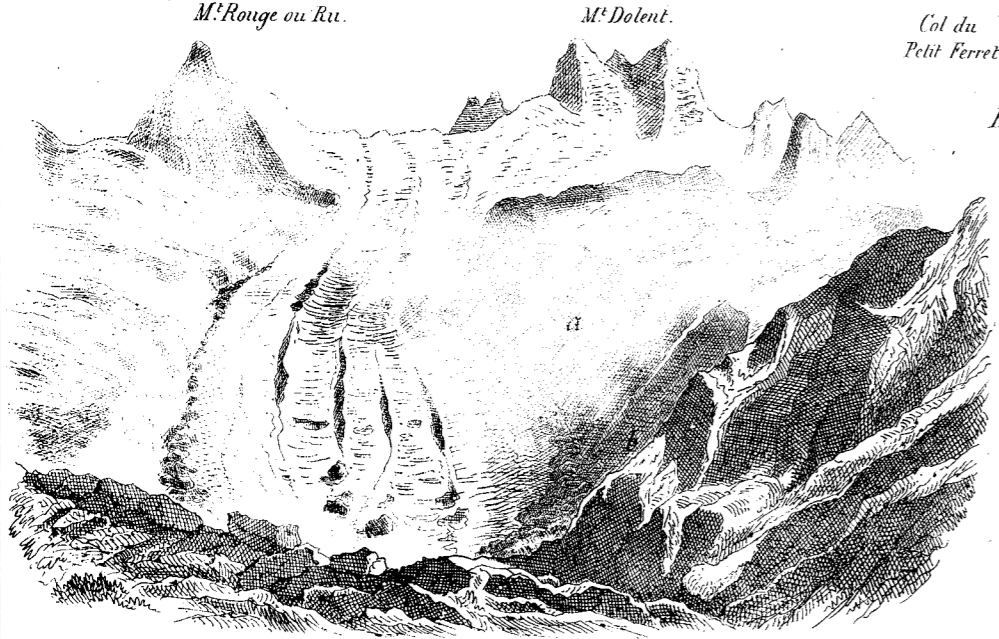


Fig. 2. § 580. Coupe de la chaîne du M. Blanc au Grand S. Bernard.

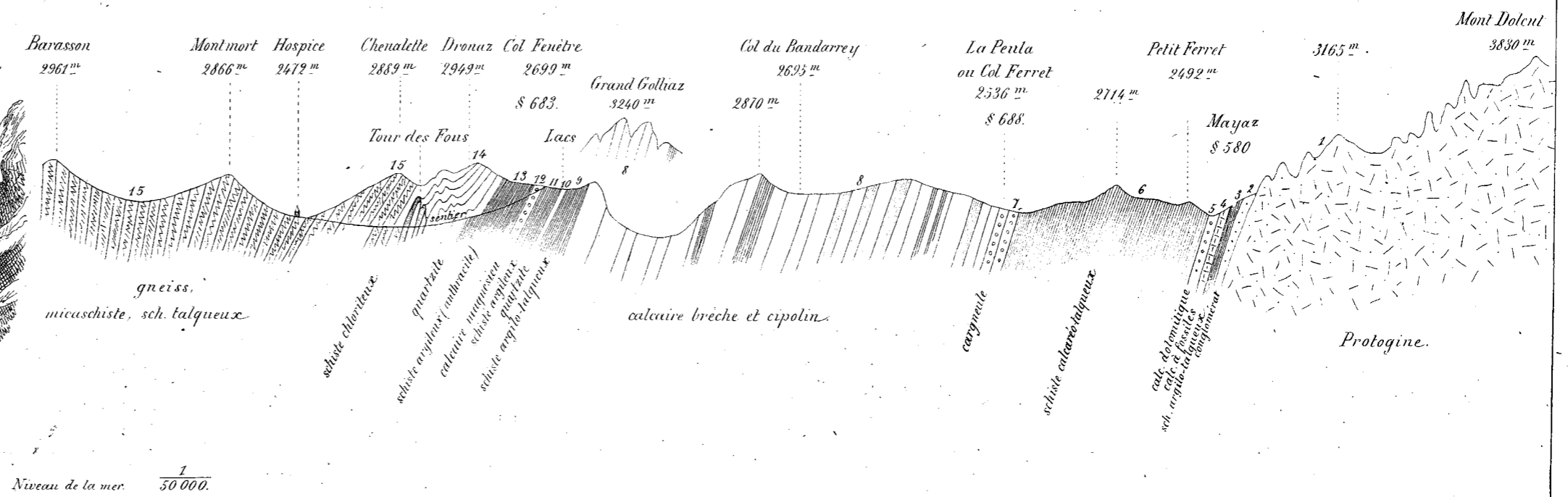


Fig. 3. § 587.

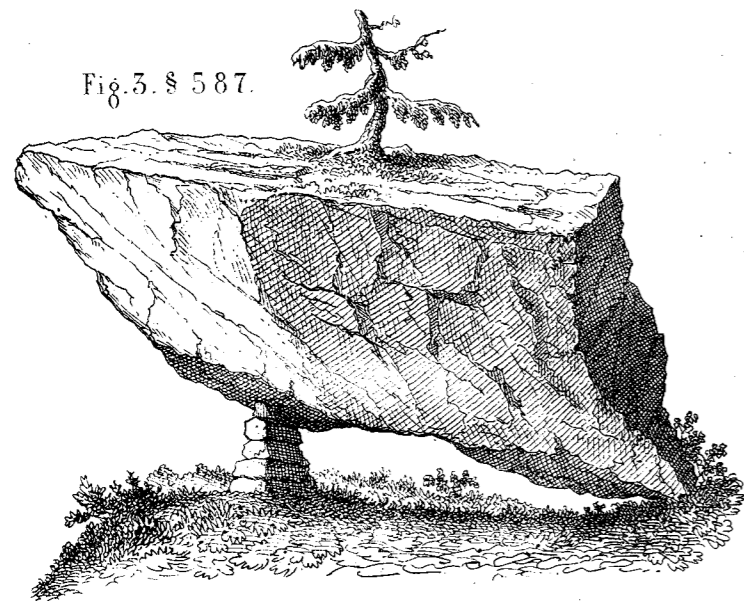


Fig. 4. § 577. Montagne de la Saxe.

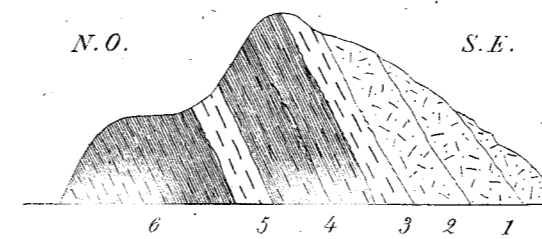
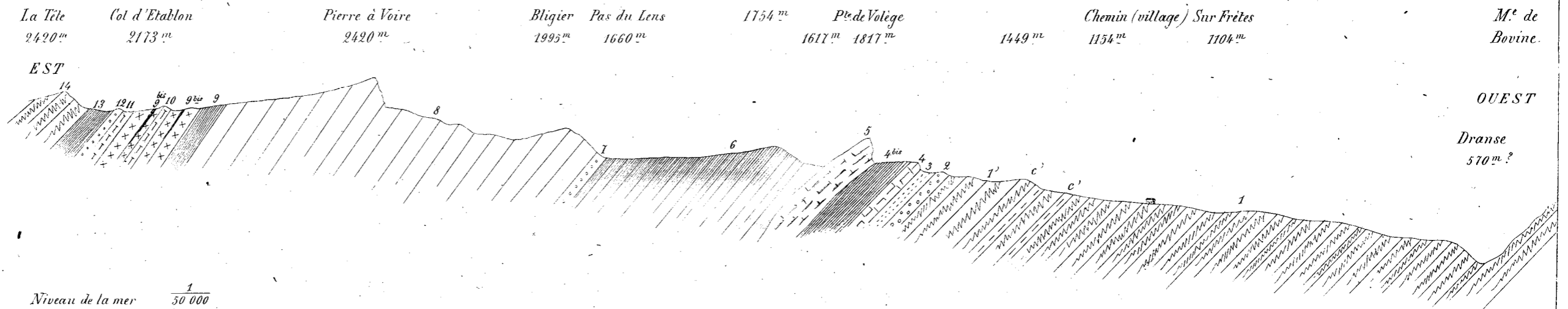


Fig. 5. § 588, 589. Coupe prise du col d'Etablon à la Dranse près Martigny.



RECHERCHES GÉOLOGIQUES.

Fig. 1. § 590. - Coupe de la chaîne du Mont-Blanc au Jura, par Gimbernat (1806)

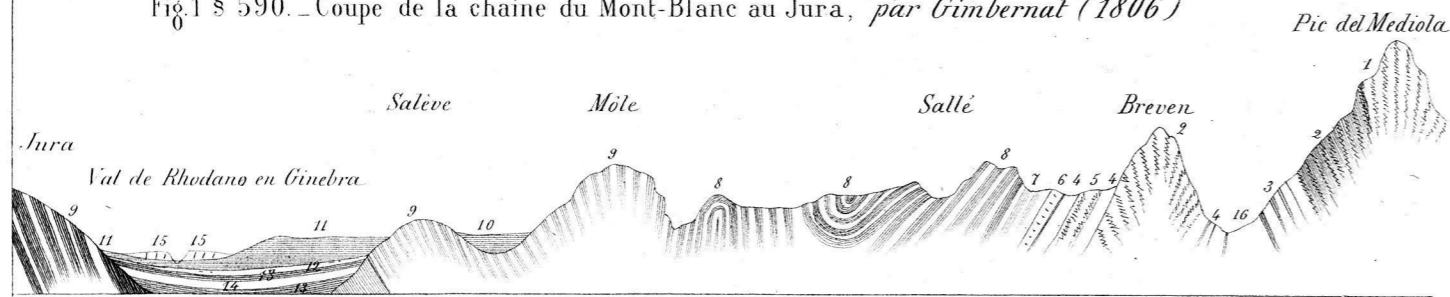


Fig. 2. § 591. - Chaîne du M^t Blanc d'après Necker (1828)

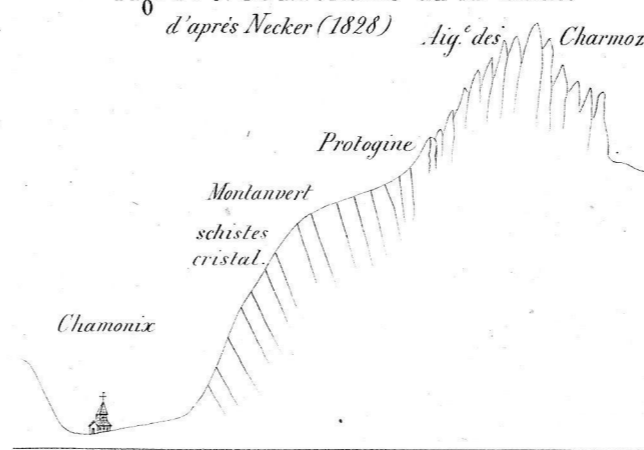


Fig. 3. § 591. - Coupe du M^t Blanc par M^r Forbes (1843)

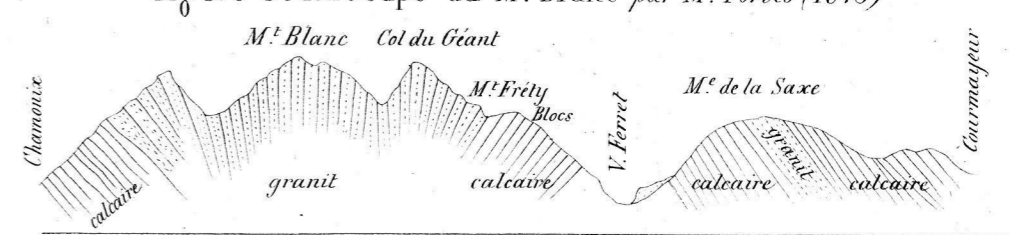


Fig. 5. § 591. - Coupe du Mont-Blanc, d'après M^r Favre (1859)

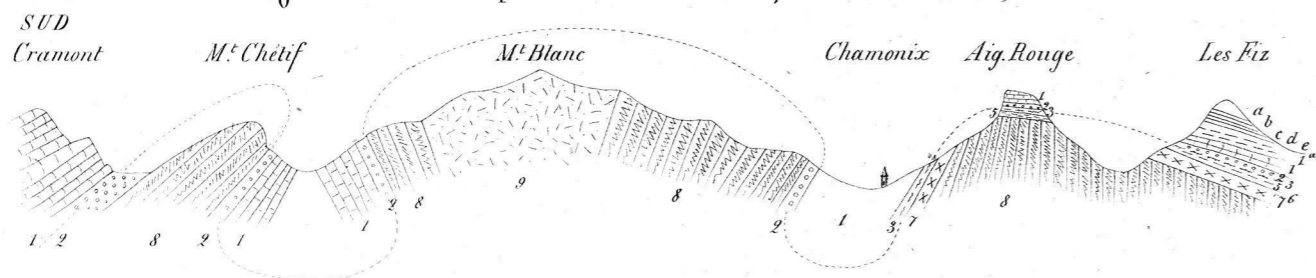


Fig. 6. § 592. - Across the Summit of Mont-Blanc par M^r Sharpe (1854)

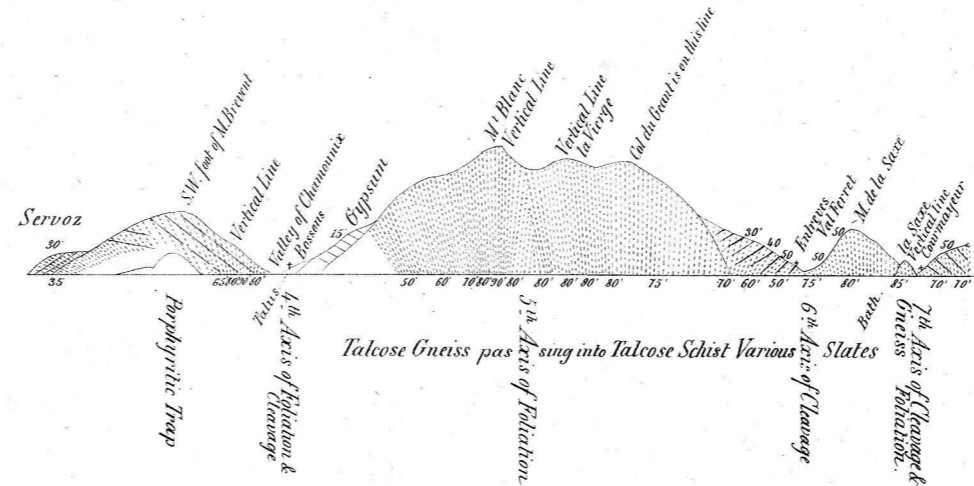


Fig. 4. § 591. - Chaîne du M^t Blanc d'après M^r Studer (1851)

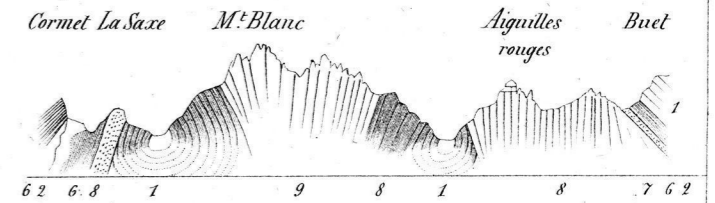


Fig. 7. § 596.

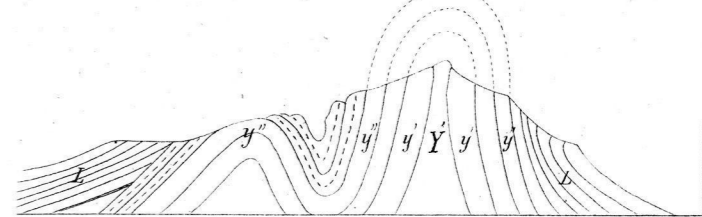


Fig. 8. § 595. - Generalised Section of the Alps, displaying the Dipping of the Folds of the Strata on both Sides in towards the Igneous Axis, (par M^r H.D. Rogers, 1858)

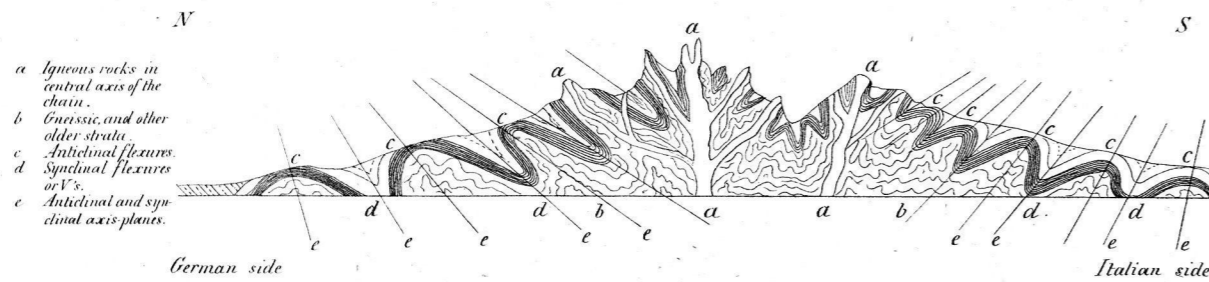


Fig. 9. § 598.

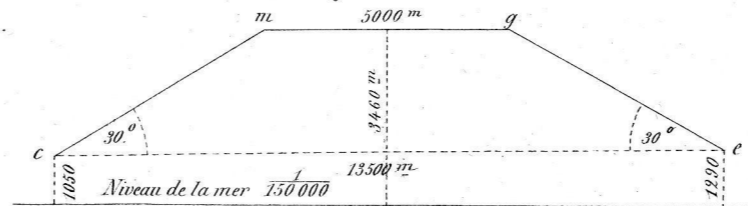


Fig. 10. § 596.

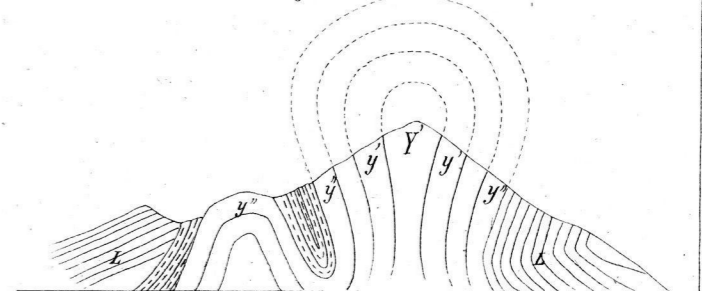


Fig. 14. § 596. - Coupe de la première chaîne du Jura au N.O. de Genève, près du passage de la Faucille.

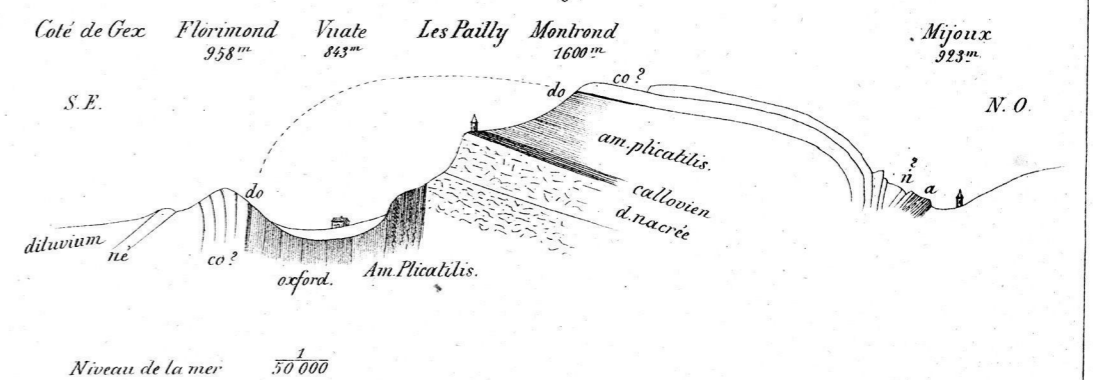


Fig. 11. § 597.

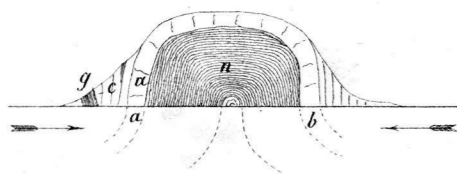


Fig. 12. § 597.

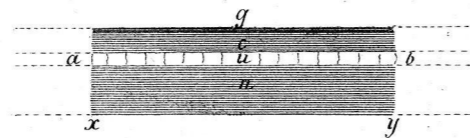
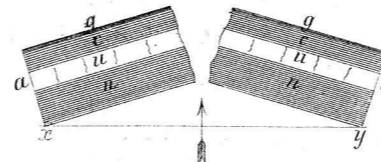


Fig. 13. § 597.



RECHERCHES GÉOLOGIQUES.

Fig. 1. § 610, 612. — Coupe prise entre S^t Nicolas de Vérocce et la chaîne de la Pointe Percée.

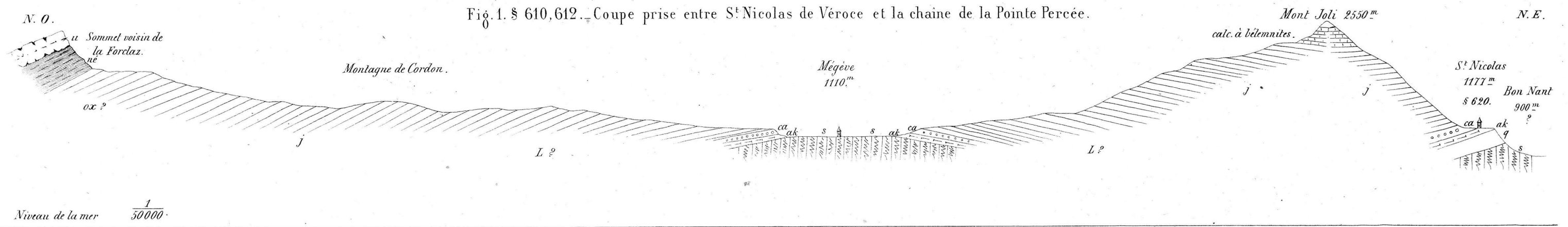


Fig. 2. § 613.

Fig. 3. § 613.

Fig. 4. § 616.

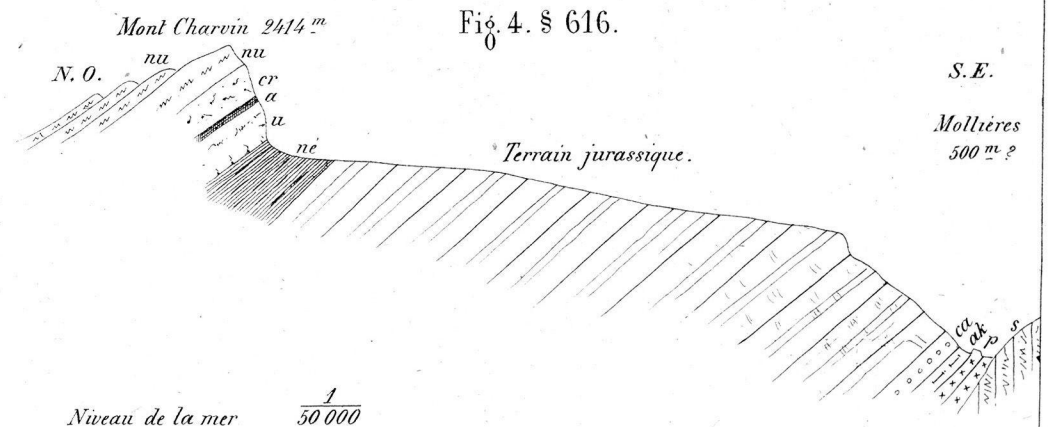
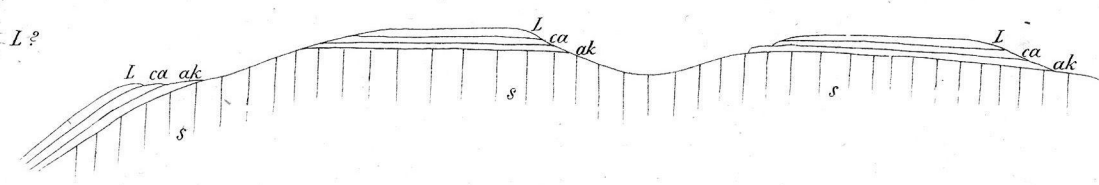
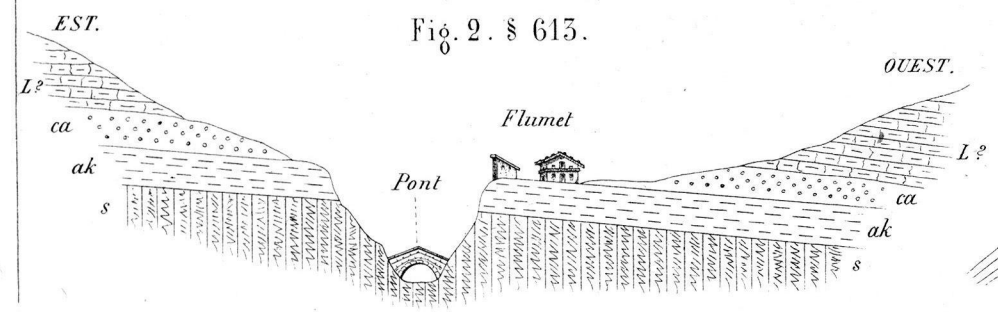


Fig. 6. § 622. — Coupe prise à Colombe

Fig. 5 § 619 (d'après M. Delaharpe)

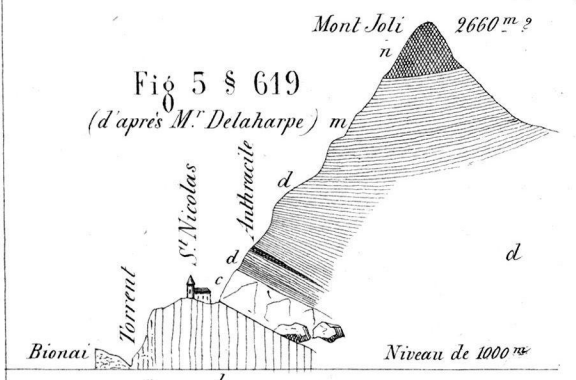
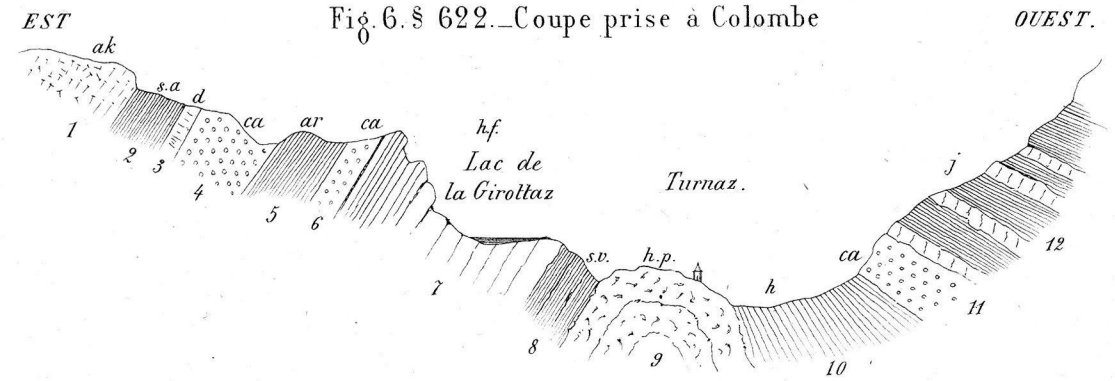


Fig. 7. § 559, 621. — Col Joli.

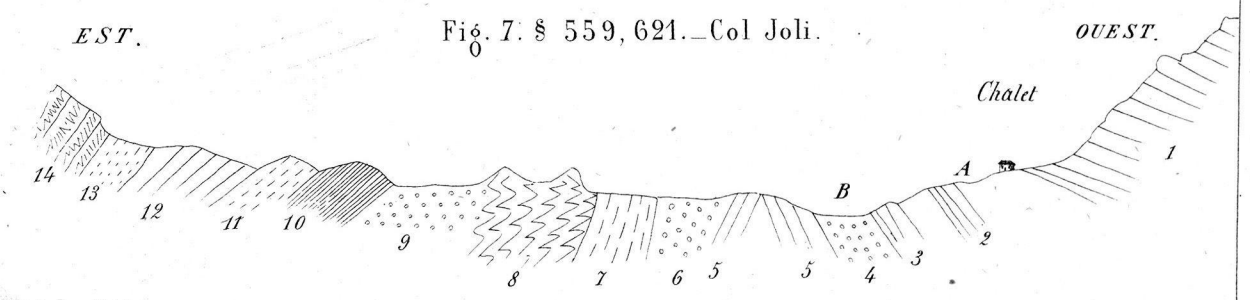


Fig. 8. § 616, 617.

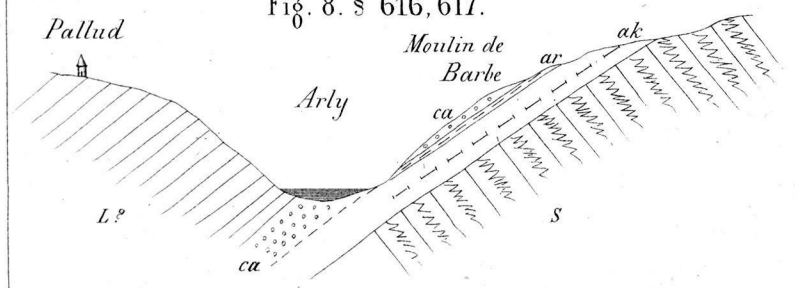


Fig. 10. § 628. — De Beaufort à la Giétaz.

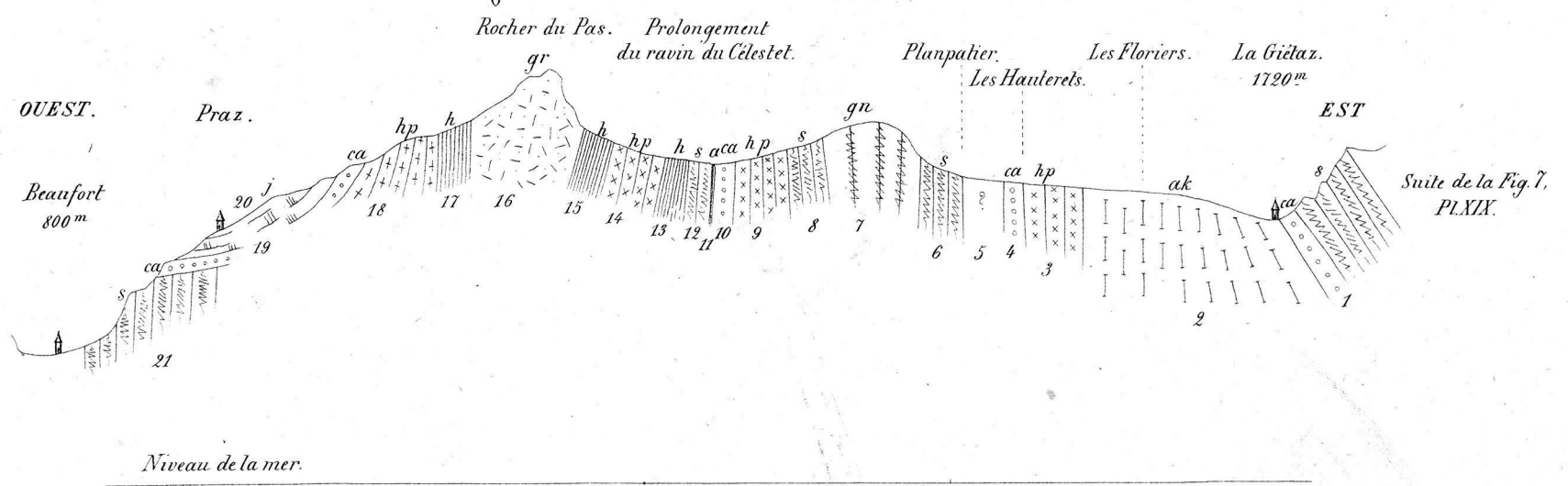
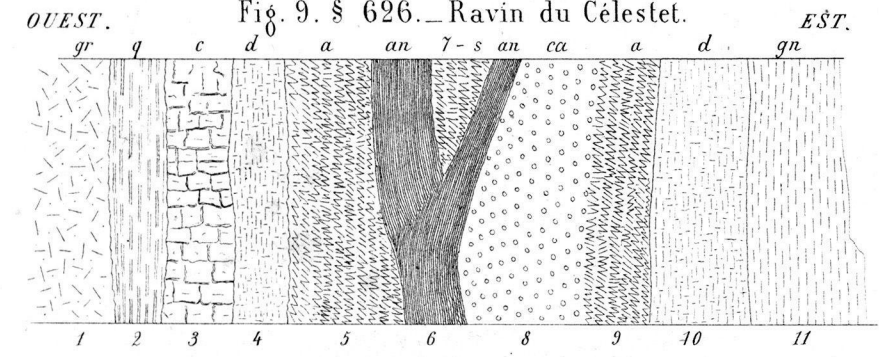
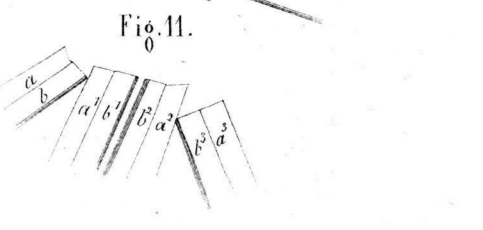
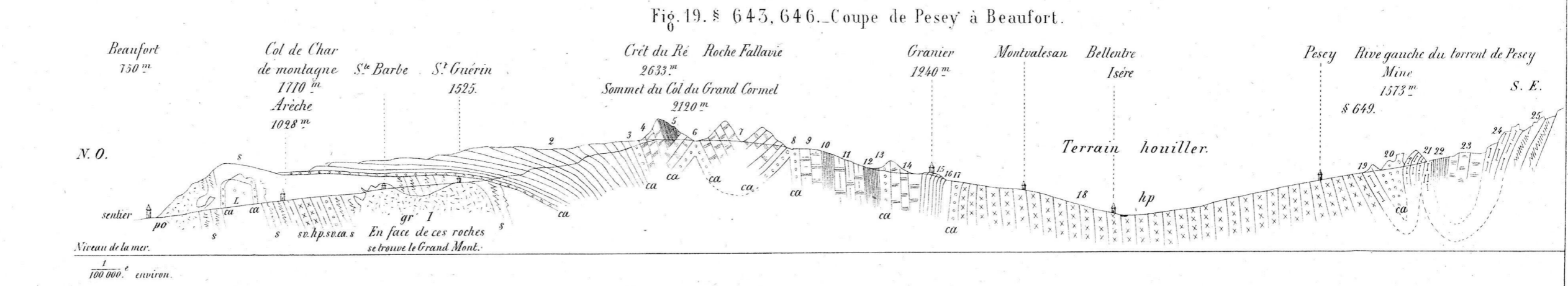
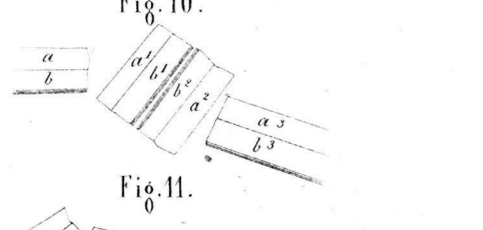
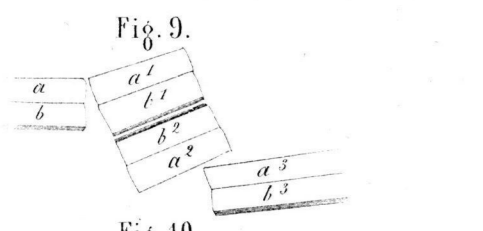
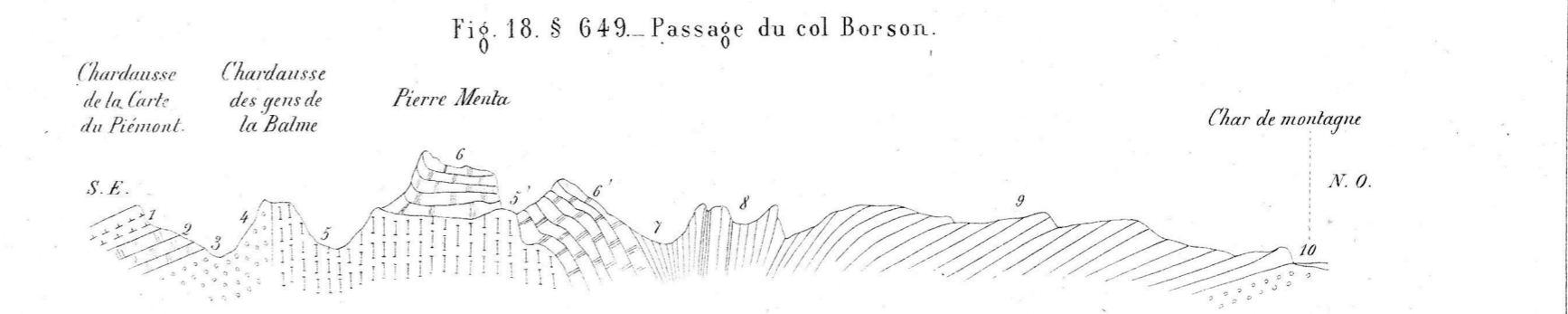
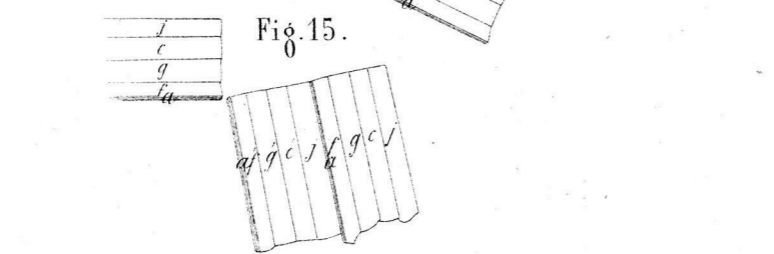
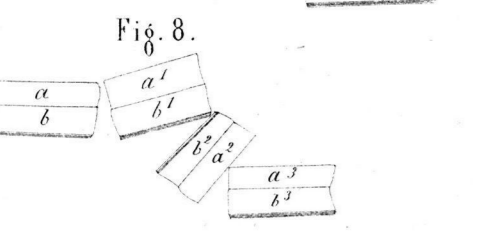
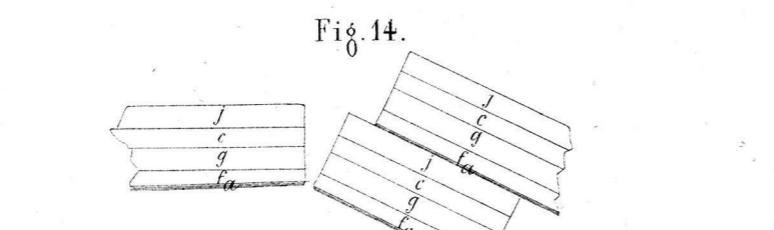
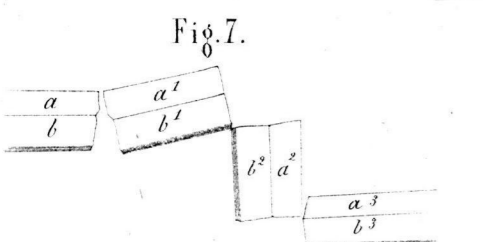
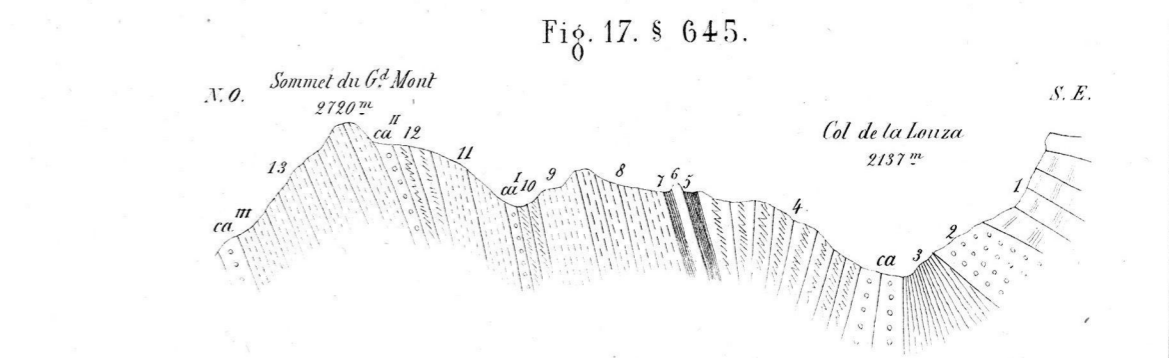
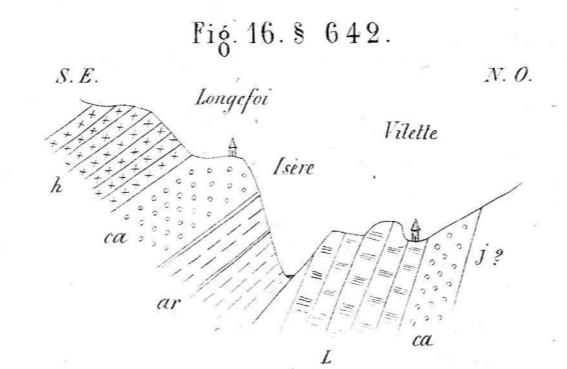
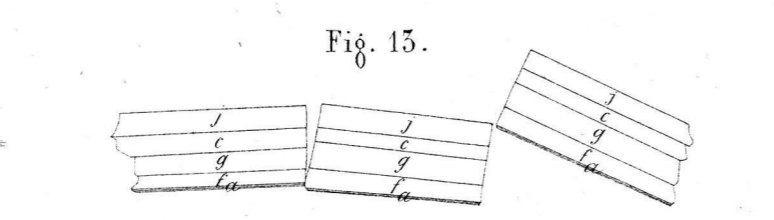
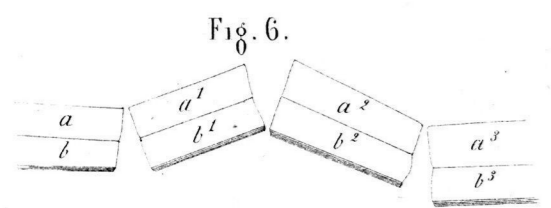
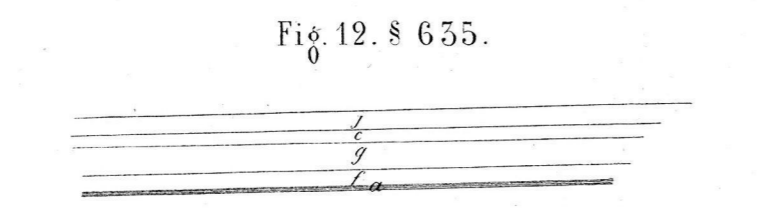
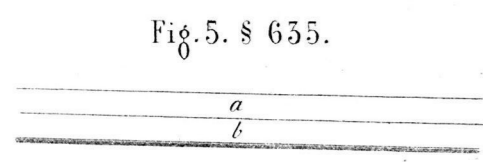
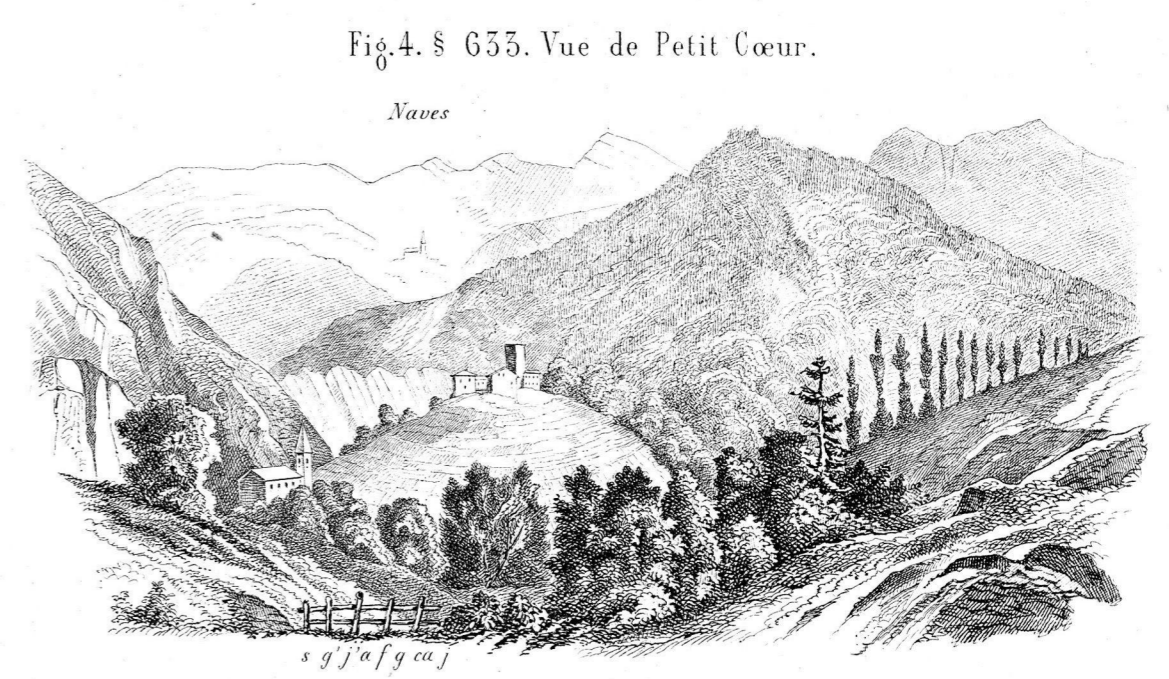
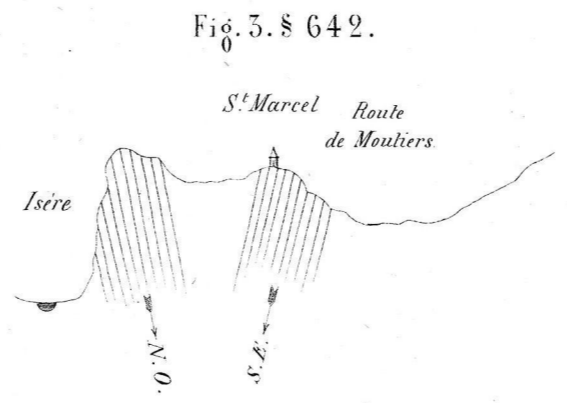
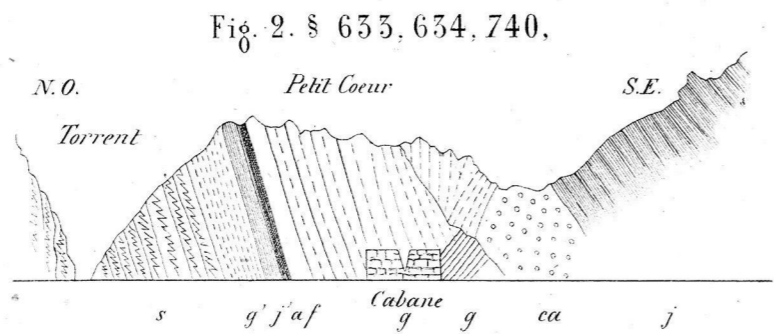
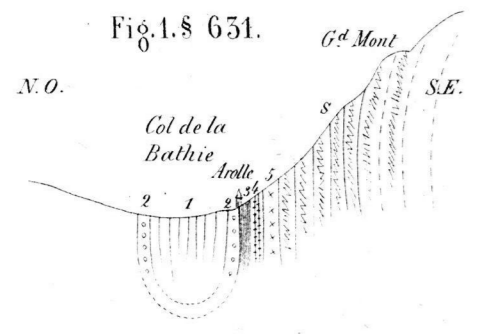


Fig. 9. § 626. — Ravin du Célestet.

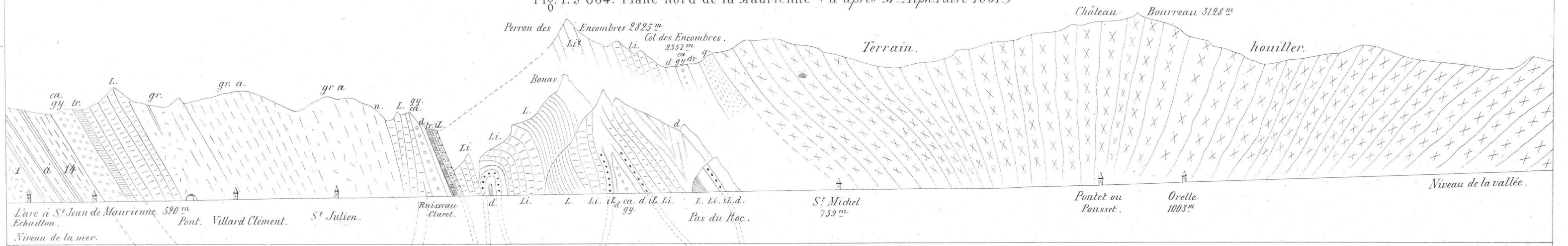


Lith. Pilet & Cougnard. Genève.



Lith. Pilet & Coignard, Genève.

Fig. 1. § 664. Flanc nord de la Maurienne (d'après M. Alph. Favre 1861.)



Suite de la Fig. 1.

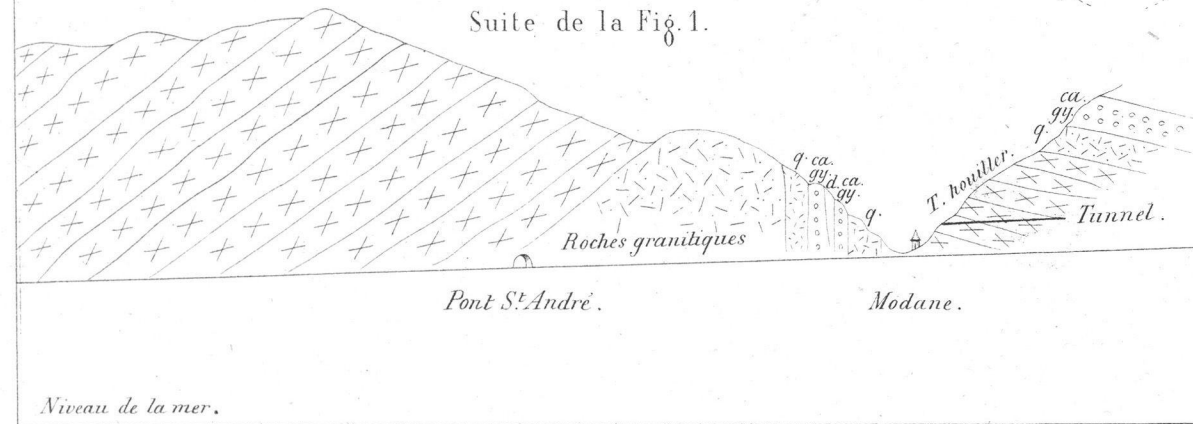


Fig. 2. § 658. Col des Encombres à la hauteur de la Grosse Pierre.

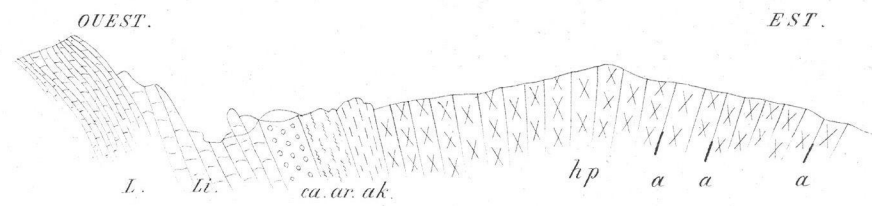


Fig. 3. § 665. 722. (d'après M. Sismonda 1855)

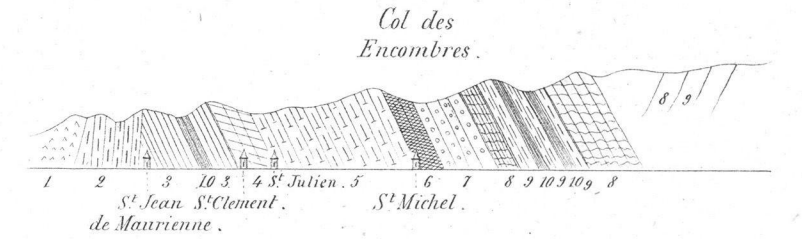


Fig. 4. § 664. Coupe du flanc nord de la Maurienne (de St-Jean de Maurienne à Modane d'après M. Lory 1861.)

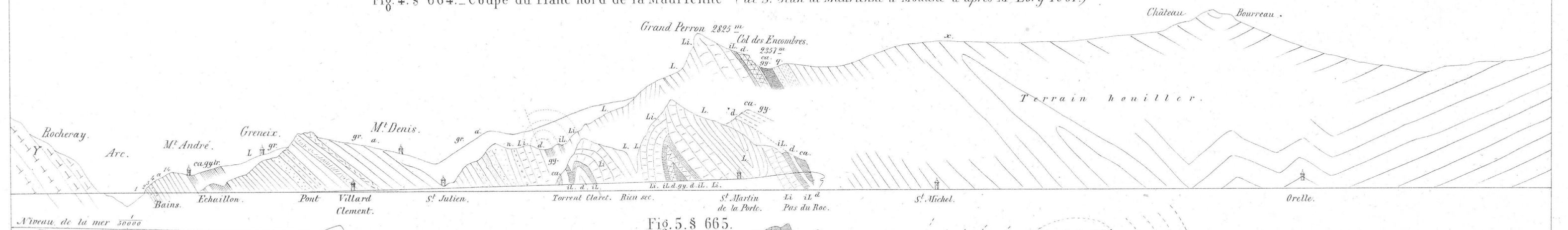


Fig. 5. § 665.

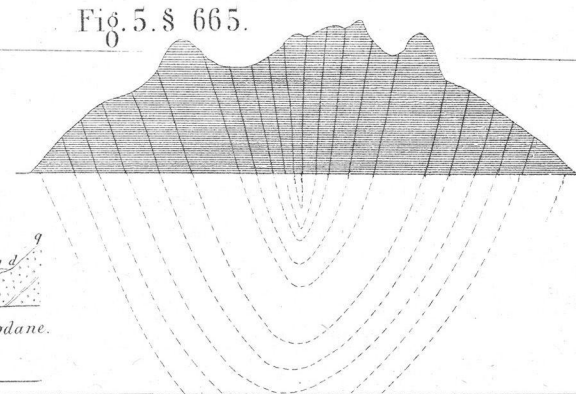


Fig. 6. § 665.

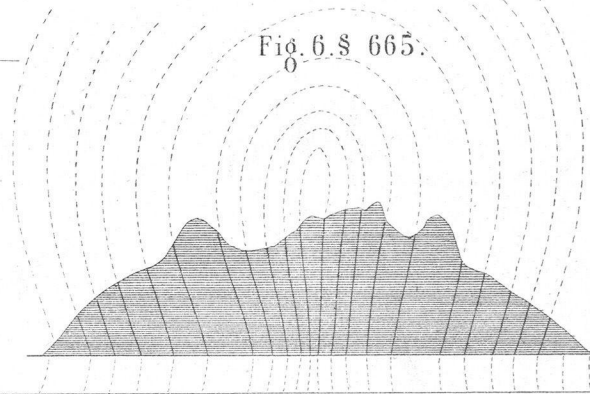
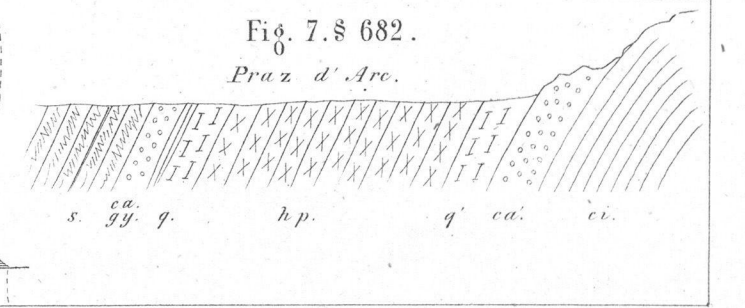


Fig. 7. § 682.

Praz d'Arc.



Suite de la Fig. 4.
500 mètres au dessus de la mer.

Éch. Piaz et Gagnard, Genève

Fig. 1. § 666. — Coupe de la rive droite de l'Arc entre Modane & Bramans.

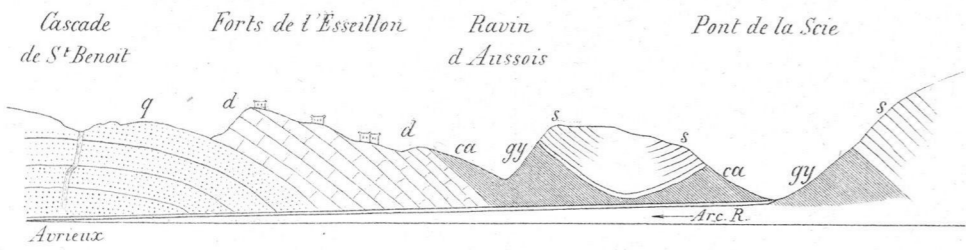


Fig. 2. § 666. — Ravin d'Aussois.

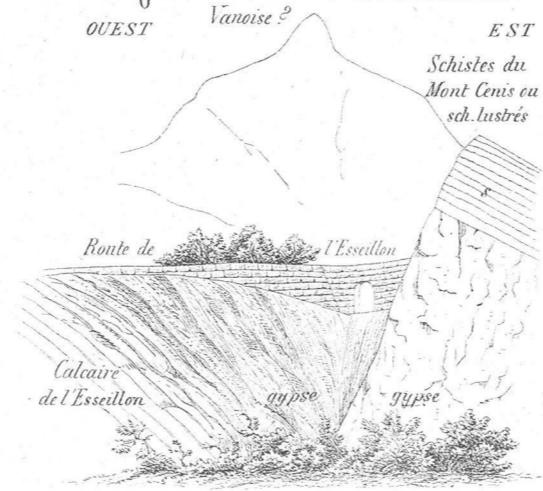


Fig. 3. § 672. — Vallée de Bruçlié.

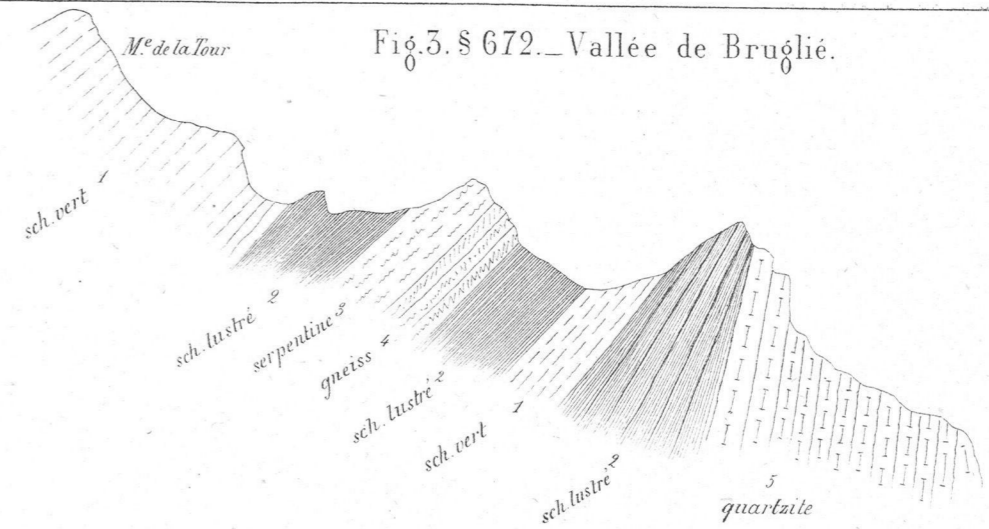


Fig. 4. § 688. Coupe de la chaîne du Mont-Blanc au Bourç St Pierre

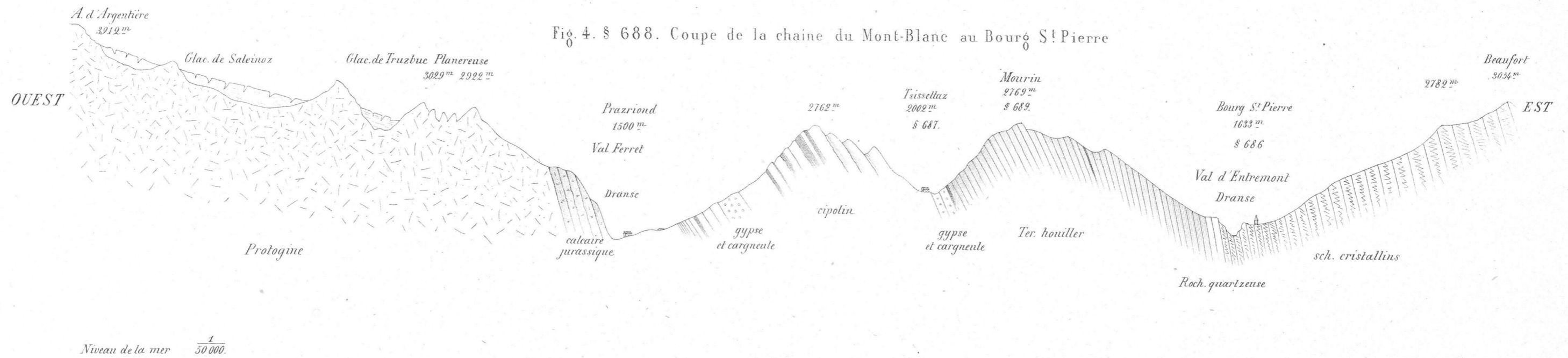


Fig. 5. § 674. Lac du Ruitor.



Fig. 6. § 671. — Mont Favre.



Fig. 1. § 710.

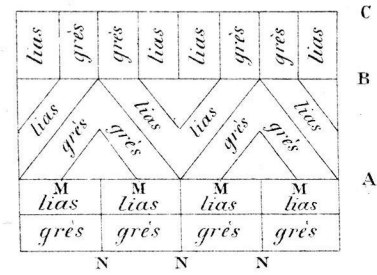


Fig. 2. § 712. (M^r Favre, 1841.)

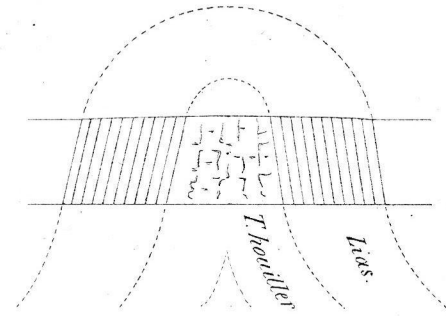


Fig. 3. § 712.

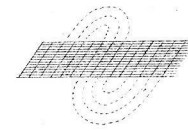


Fig. 4. § 712.



Fig. 5. § 716, 740, - Petit Cœur.
(Sir R.I. Murchison, 1848)

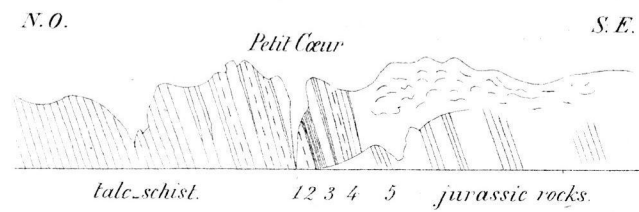


Fig. 6. § 647, 713, 740, (M^r Sismonda, 1841.)

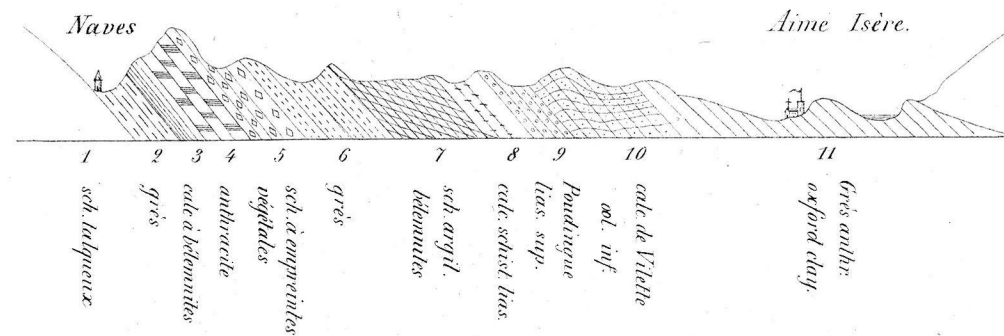


Fig. 7. § 723, 740, (M^r de Mortillet, 1855)

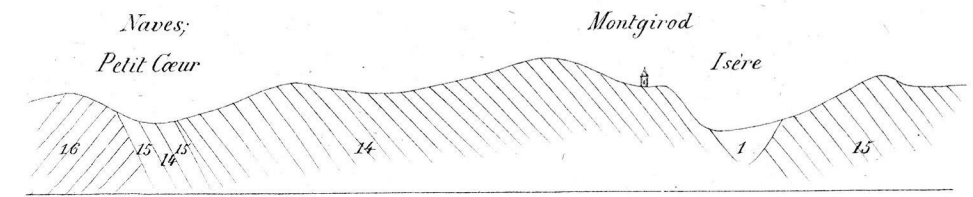


Fig. 9. § 634, 728, 740.
Petit Cœur. (M^r Favre, 1859)

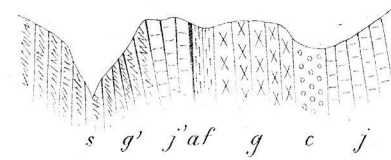


Fig. 10. § 634, 728.
Coupe théorique de Petit Cœur.

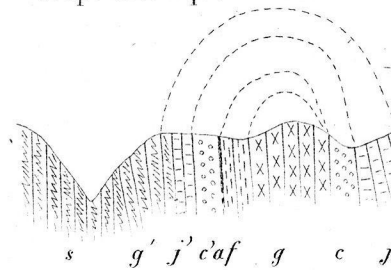


Fig. 8. § 716, 740. (M^r Fournet, 1848)

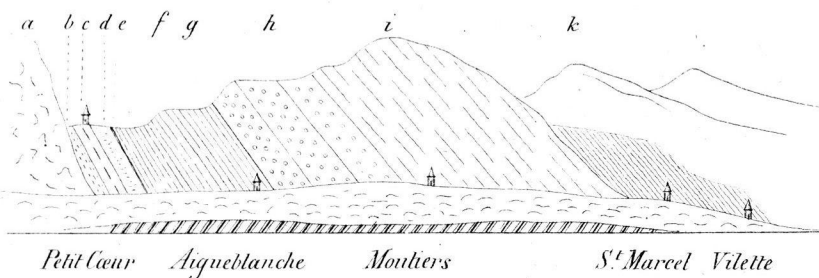
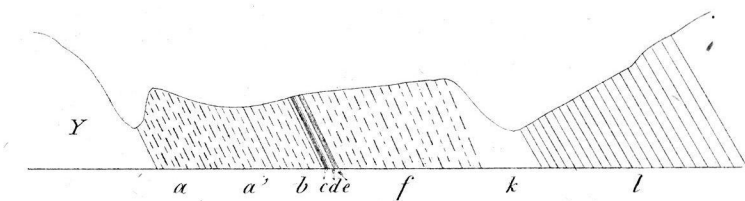


Fig. 11. § 729, 740. Petit Cœur. (M^r Lory, 1859.)



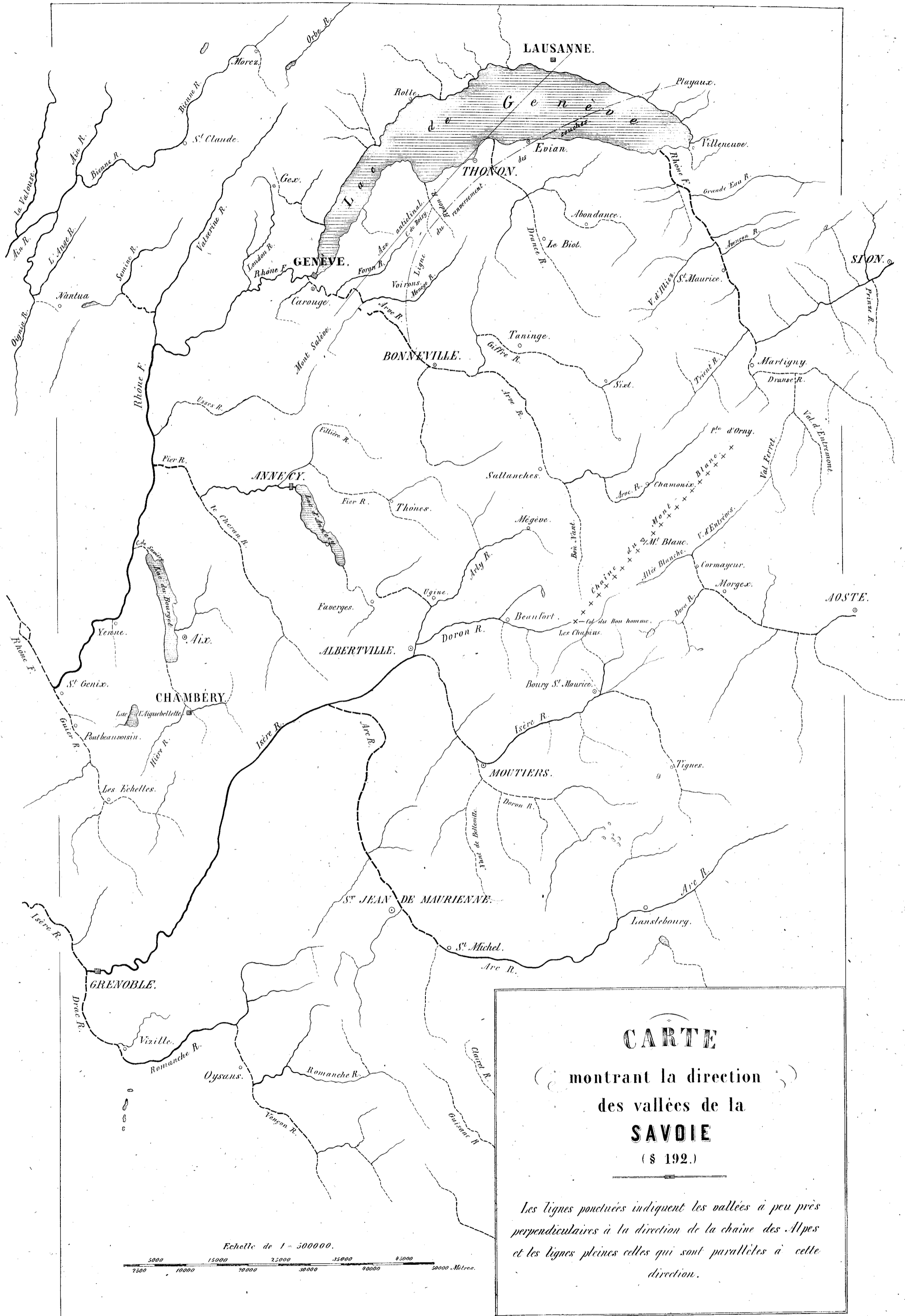


Fig. 1.

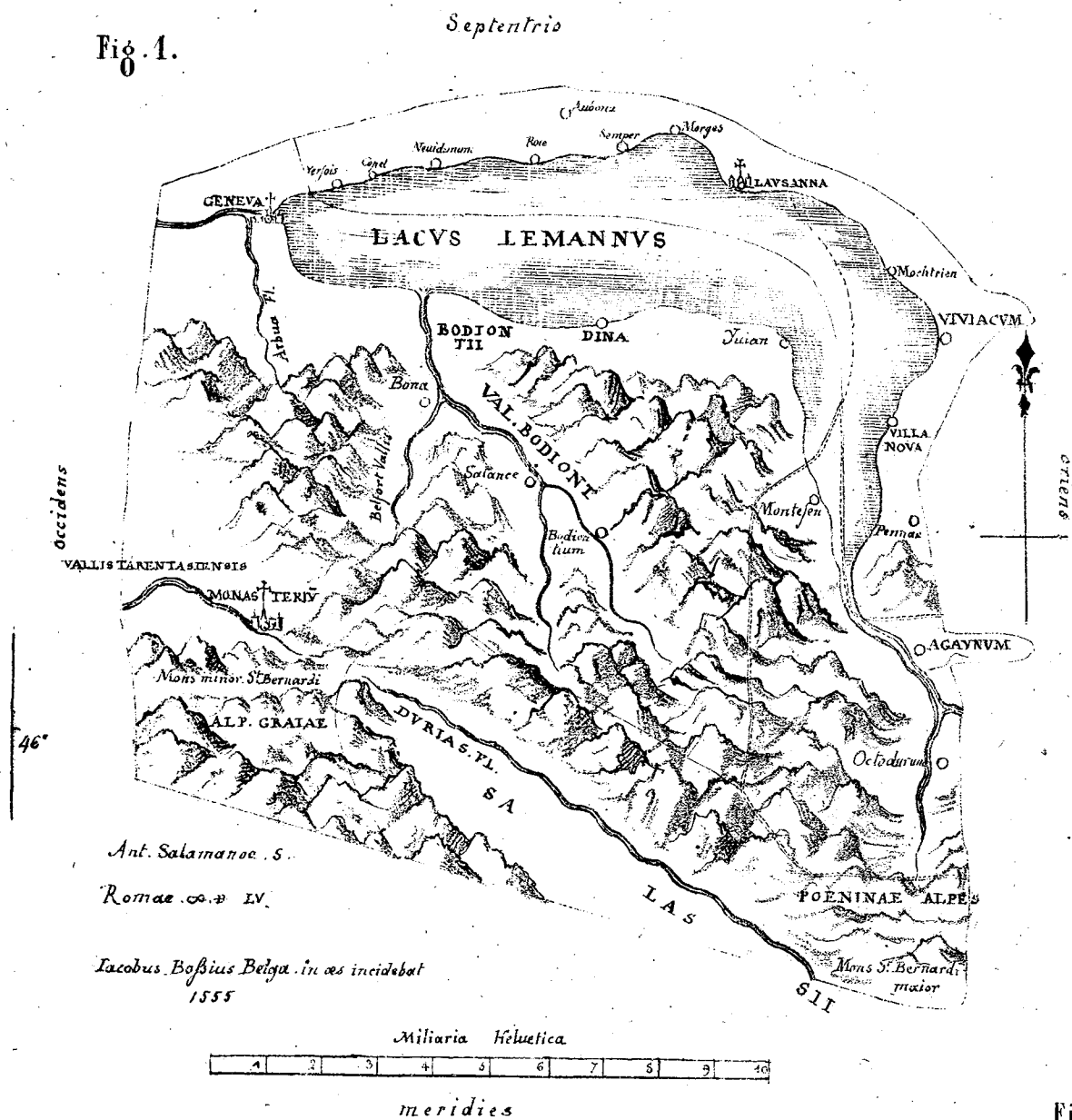
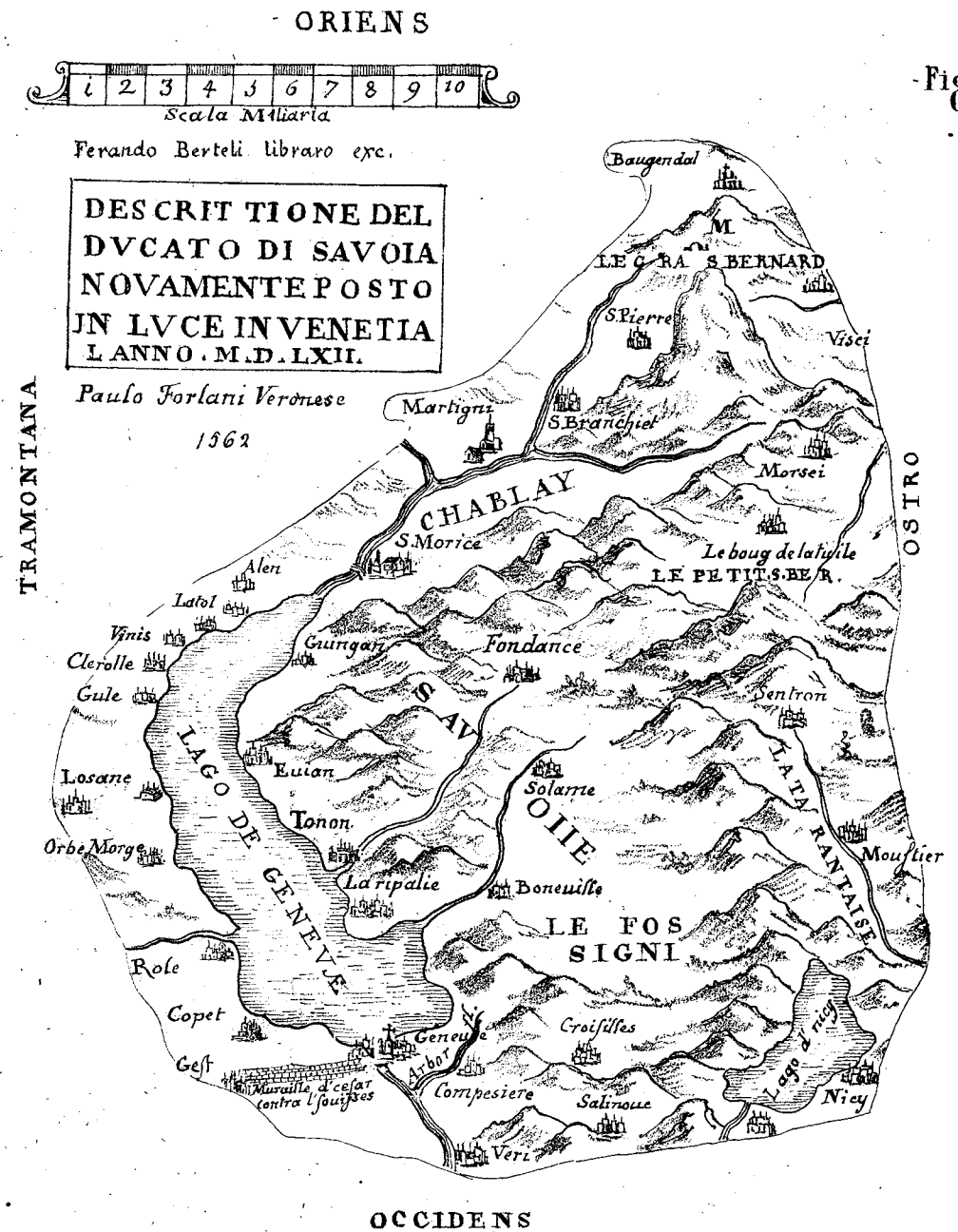


Fig. 2.



DOCUMENTS
relatifs aux anciennes
cartes des environs
DU
MONT-BLANC.

Fig. 3. Dressée par Martel en 1741.

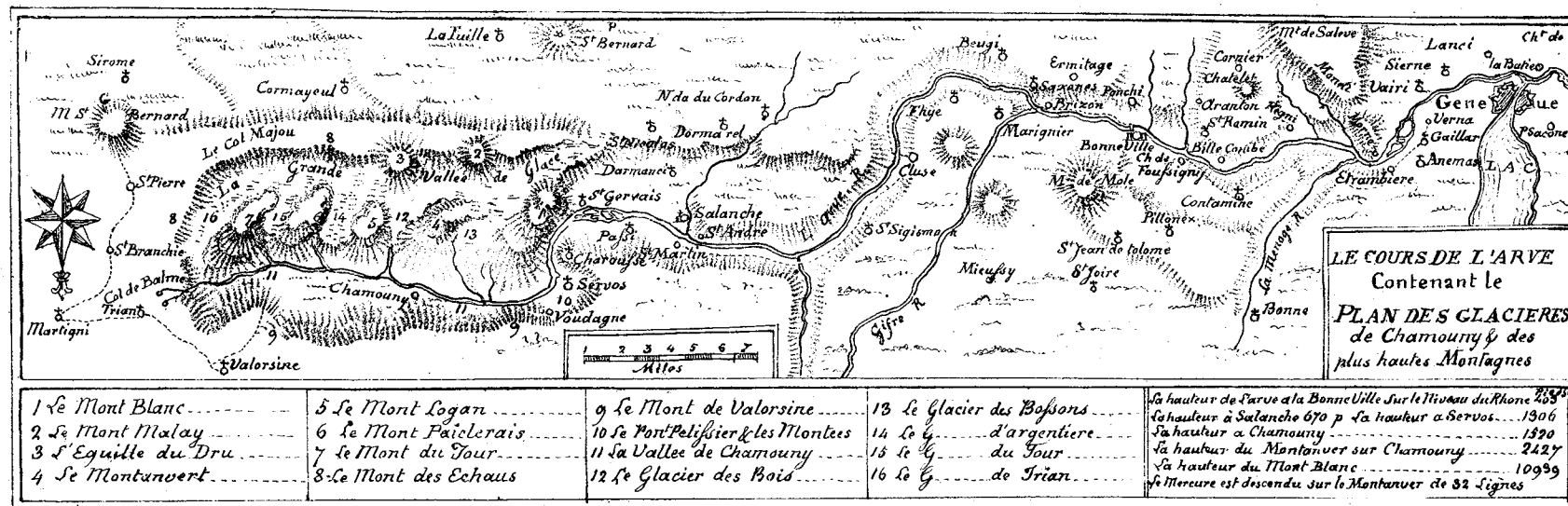


PLANCHE A

FOSSILES DE L'ŒOLITHE CORALLIENNE

FIGURES

1. *Nerinea dilatata*, d'Orb., t. I, p. 315. (Par erreur sous le nom de *N. depressa*, p. 316.)
2. Id.
3. *Itieria Renevieri*, de Lor., p. 318.
4. Id.
5. *Nerinea Salevensis*, de Lor., p. 317.
6. *Pseudomelania Clio*, (d'Orb.) Pictet, p. 319.
7. *Cerithium Salevense*, de Lor., p. 321.
8. — *nodoso-striatum*, Peters, p. 320.
9. — *Monetierense*, de Lor., p. 322.
10. *Neritopsis Mortilleti*, de Lor., p. 323.
11. *Patella Salevensis*, de Lor., p. 325.
12. *Cardita Studeriana*, de Lor., p. 327.
13. *Corbis Salevensis*, de Lor., p. 327.
14. *Diceras Escheri*, de Lor., p. 329.
15. Id.
16. Id.
17. Id.
18. *Lithodomus Luci*, de Lor., p. 328.
19. *Lima Comatula*, Buv., p. 332.
20. Id.
21. *Lima Salevensis*, de Lor., p. 333.
22. Id.

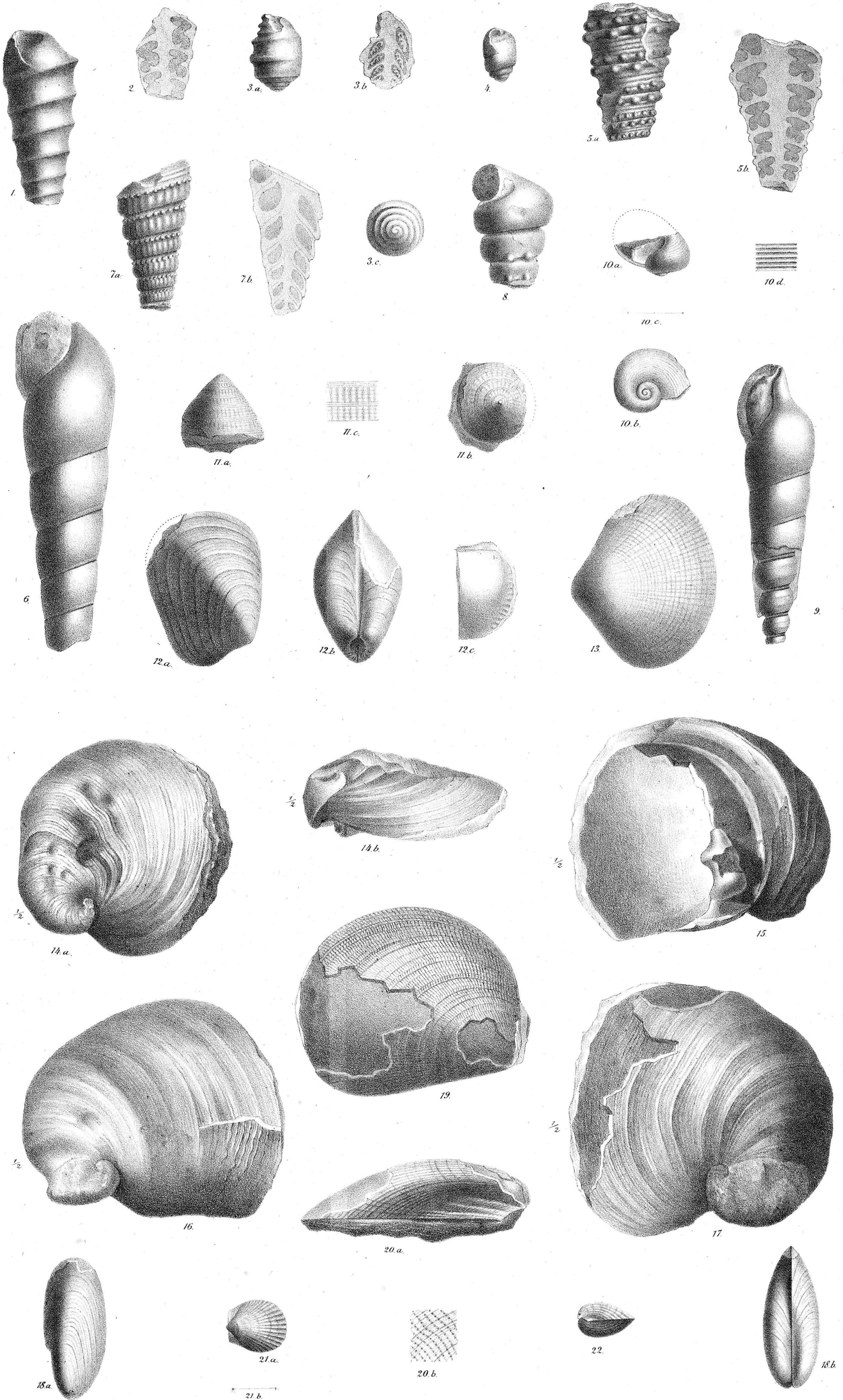


PLANCHE B

FOSSILES DE L'ŒOLITHE CORALLIENNE

FIGURES

- | | | |
|-----|----------------------------------|--------------------------------|
| 1. | <i>Pecten Rochati</i> , | de Lor., t. I, p. 336. |
| 2. | Id. | |
| 3. | <i>Pecten globosus</i> , | Quenst., p. 335. |
| 4. | <i>Placunopsis Pictetianus</i> , | de Lor., p. 337. |
| 5. | Id. | |
| 6. | <i>Terebratula Moravica</i> , | Glocker, p. 339. |
| 7. | — <i>Bieskidensis</i> , | Zeusch., p. 340. |
| 8. | — <i>formosa</i> , | Suess, p. 341. |
| 9. | <i>Rhynchonella Astieriana</i> , | d'Orb., p. 343. |
| 10. | Id. | |
| 11. | <i>Rhynchonella lacunosa</i> , | (Schloth.) d'Orb., p. 345. |
| 12. | <i>Cidaris carinifera</i> , | Ag., p. 348. |
| 13. | <i>Desorella Icaunensis</i> , | Cott., p. 347. |
| 14. | <i>Stylina hirta</i> , | E. de From., p. 352. |
| 15. | <i>Thamnastræa Genevensis</i> , | (Defr.) Edw. et Haime, p. 353. |
| 16. | <i>Calamophyllia Stockesi</i> , | Edw. et Haime, p. 350. |
-

FOSSILES DE L'ÉTAGE VALANGIEN

- | | | |
|-----|---------------------------------|-------------------------|
| 17. | <i>Nerinea Favrina</i> , | Pict. et Camp., p. 357. |
| 18. | Id. | |
| 19. | <i>Nerinea funifera</i> , | Pict. et Camp., p. 360. |
| 20. | Id. | |
| 21. | <i>Nerinea Marcousana</i> , | d'Orb., p. 358. |
| 22. | Id. | |
| 23. | Id. | |
| 24. | <i>Cerithium Brotianum</i> , | de Lor., p. 361. |
| 25. | <i>Aporrhais Valangiensis</i> , | Pict. et Camp., p. 365. |
| 26. | — <i>Saussureanus</i> , | de Lor., p. 364. |
| 27. | <i>Pterocera Desori</i> , | Pict. et Camp., p. 362. |
| 28. | Id. | |

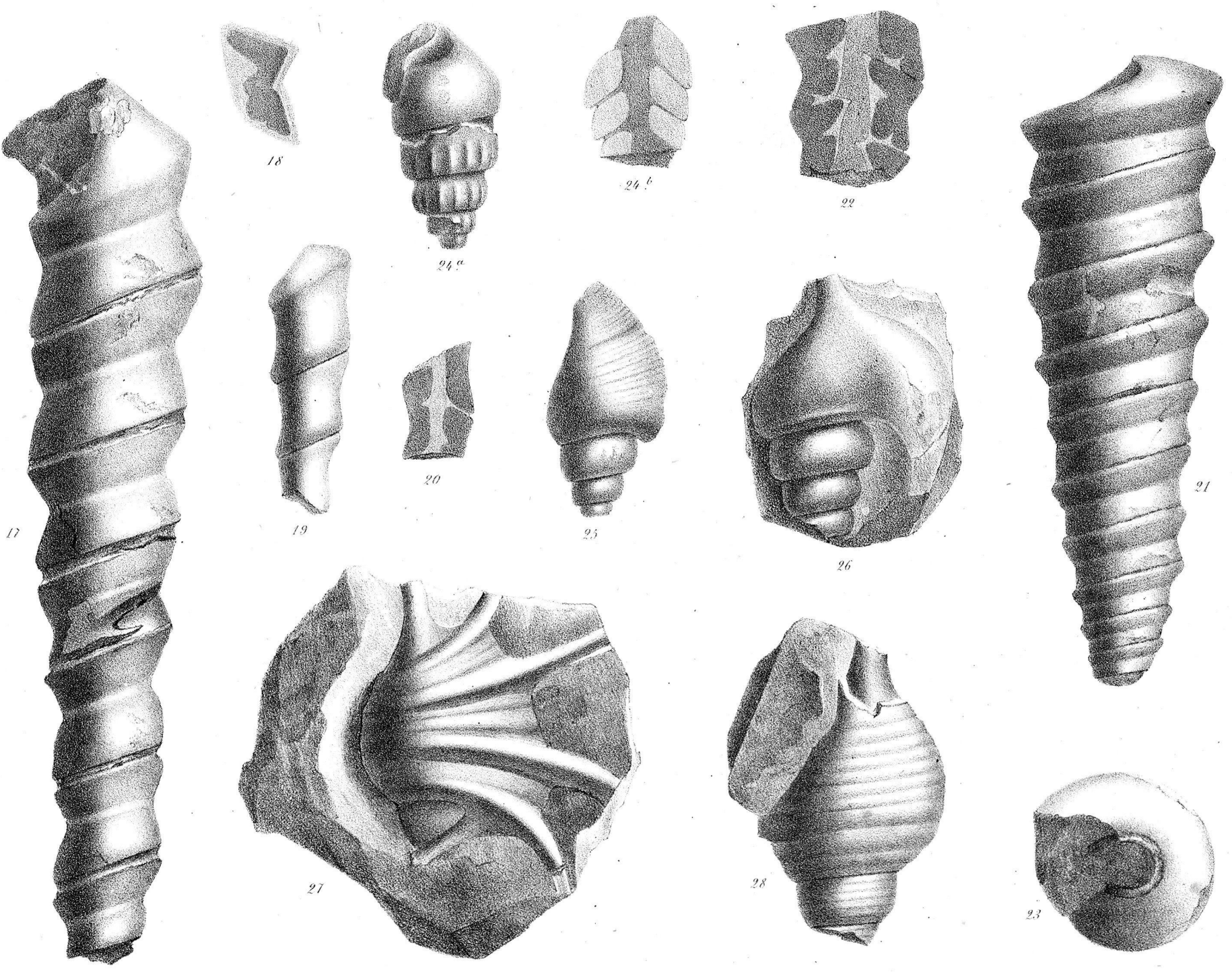
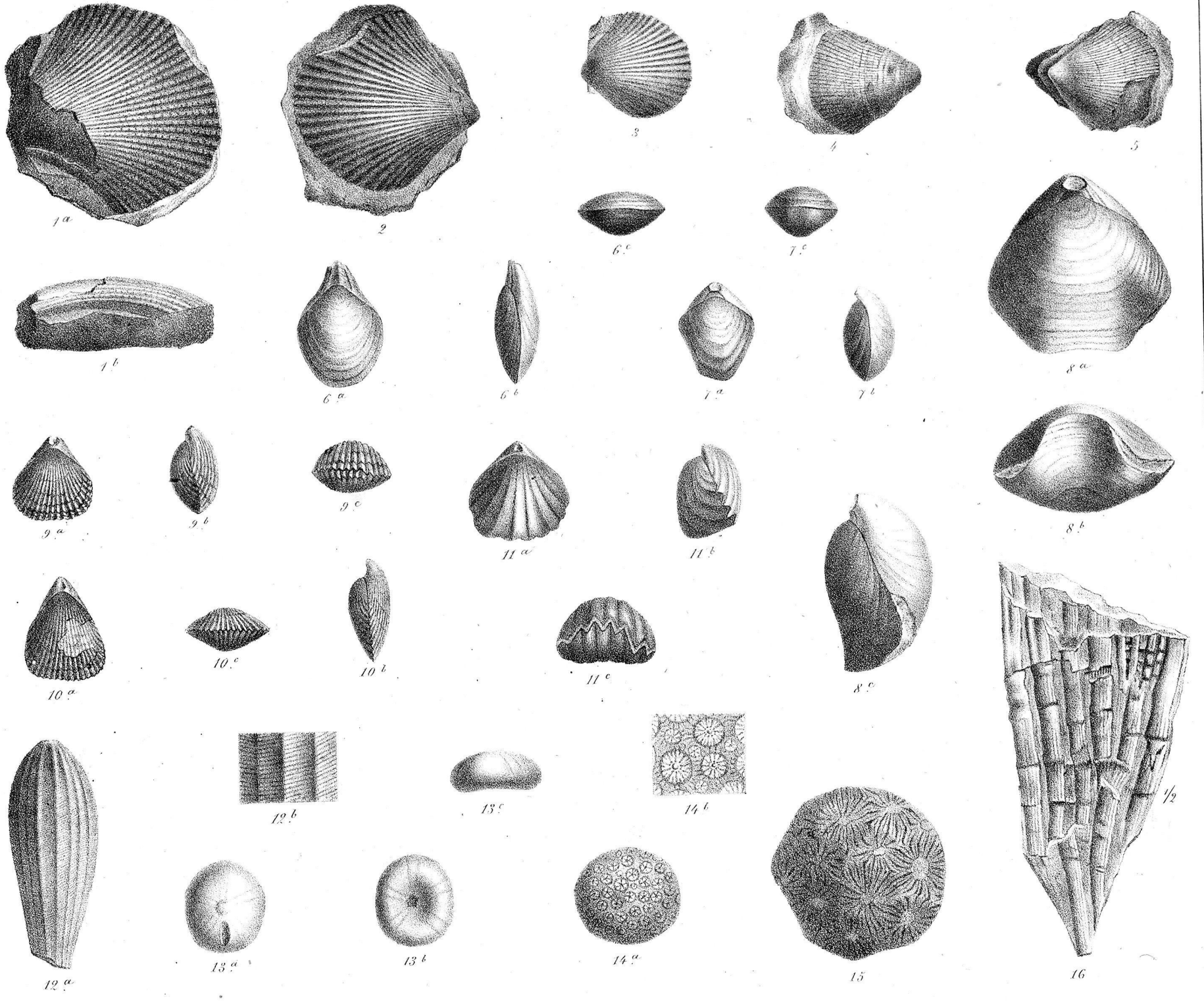


PLANCHE C

FOSSILES DE L'ÉTAGE URGONIEN

FIGURES

1. Tornatella Essertensis, de Lor., t. I, p. 369.
2. Pseudomelania exigua, de Lor., p. 370.
3. Cerithium Essertense, de Lor., p. 371.
4. Nerinea Essertensis, Pict. et Camp., p. 369.
5. Narica Stoppanii, de Lor., p. 372.
6. Nerita Pictetiana, de Lor., p. 372.
7. Pleurotomaria Gosseana, de Lor., p. 373.
8. Solarium Urgonense, de Lor., p. 375. (Le chiffre 8 *d* manque sur la planche.)
9. Turbo Crivelli, Pict. et Camp., p. 374.
10. Columbina Hebertina, de Lor., p. 376.
11. Astarte Essertensis, de Lor., p. 377.
12. Cardita Stabileana, de Lor., p. 378.
13. Lucina Urgonensis, de Lor., p. 377.
14. Trigonina ornata, d'Orb., p. 379.
15. Arca Cornueliana, d'Orb., p. 380.
16. — Humbertina, de Lor., p. 384.
17. — Essertensis, de Lor., p. 383.
18. Mytilus Desorianus, de Lor., p. 385.
19. Id.
20. Mytilus Salevensis, de Lor., p. 386.
21. Id.
22. Caprotina Lousdalii, d'Orb., p. 386.
23. Lima Essertensis, de Lor., p. 388.
24. — Orbignyana, Math., p. 387.
25. Pecten Urgonensis, de Lor., p. 389.
26. Id.
27. Janira Matheroniana, de Lor., p. 390. (Par erreur sous le nom de *J. Urgonensis*, p. 391.)
28. Terebratula Russillensis, de Lor., p. 393.
29. Id.
30. Id.
31. Id.
32. Rhynchonella depressa, Sow., p. 394.
33. Id.
34. Id.
35. Cidaris heteracantha, A. Gras., p. 400.
36. Id.
37. Id.
38. Id.
39. Psammechinus Salevensis, de Lor., p. 399.
40. Peltastes Cottaldinus, de Lor., p. 397.
41. Discoelia annulosa, de Lor., p. 402.
42. — Essertensis, de Lor., p. 403.
43. Cupulochonia Urgonensis, de Lor., p. 404.
44. Id.
45. Dischonia brevis, de Lor., p. 405.

